

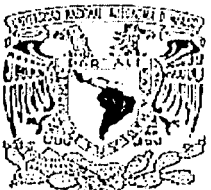
872715

7

UNIVERSIDAD "DON VASCO", A. C.

INCORPORACIÓN No. 8727-15 A LA

Universidad Nacional Autónoma de México



ESCUELA DE INGENIERÍA CIVIL

"Estudio Comparativo del Costo Directo en Acero y
Concreto Reforzado, para Un Edificio de Cinco Niveles"

TESIS PROFESIONAL

QUE PARA OBTENER EL TÍTULO DE:

INGENIERO CIVIL

P R E S E N T A:

Miguel Negrete Padilla

Uruapan Michoacán, México, 2002.

TESIS CON
FALLA DE ORIGEN



UNAM – Dirección General de Bibliotecas

Tesis Digitales
Restricciones de uso

DERECHOS RESERVADOS ©
PROHIBIDA SU REPRODUCCIÓN TOTAL O PARCIAL

Todo el material contenido en esta tesis está protegido por la Ley Federal del Derecho de Autor (LFDA) de los Estados Unidos Mexicanos (México).

El uso de imágenes, fragmentos de videos, y demás material que sea objeto de protección de los derechos de autor, será exclusivamente para fines educativos e informativos y deberá citar la fuente donde la obtuvo mencionando el autor o autores. Cualquier uso distinto como el lucro, reproducción, edición o modificación, será perseguido y sancionado por el respectivo titular de los Derechos de Autor.

A G R A D E C I M I E N T O S:

- ◎ A Dios por, darme cada día la oportunidad de vivir y de haber gozado de las condiciones para estudiar una carrera.
- ◎ A mis padres, por contribuir a la realización del precioso y preciado don de la vida.
- ◎ A mis hermanos, mis amigos incondicionales, cada uno con su chispa especial y distintiva, gracias por todo el apoyo.
- ◎ A mi familia, impulsores de un sueño.
- ◎ A mis compañeros de carrera, mis amigos y a todos aquellos que contribuyeron a la materialización de este trabajo.
- ◎ A mis maestros, siempre tenaces en la gran tarea de enseñarnos como resolver los casos complejos que nos hacen a todos la vida más fácil.
- ◎ Al M. en I. Guillermo Martínez Ruiz, por su valiosa asesoría en la elaboración de esta tesis.

**TESIS CON
FALLA DE ORIGEN**

A mi hermana Angélica, siempre amiga, compañera, consejera, cómplice, gracias
por todo el cariño invertido...

**TESIS CON
FALLA DE ORIGEN**

ÍNDICE

INTRODUCCIÓN.....	5
I. ANÁLISIS ESTRUCTURAL DE LOS MARCOS.....	8
1.1 Estimación de las cargas gravitacionales.....	10
1.2 Análisis de cargas unitarias, edificio de concreto.....	15
1.3 Análisis de cargas unitarias, edificio de acero.....	20
1.4 Canalización de cargas a los marcos.....	22
1.4.1 Canalización de cargas a los marcos, edificio de concreto.....	25
1.4.2 Canalización de cargas a los marcos, edificio de acero.....	28
II. ANÁLISIS SÍSMICO	
2.1 Concentración de pesos edificio de concreto.....	31
2.2 Concentración de pesos edificio de acero.....	32
2.3 Análisis sísmico estático edificio de concreto.....	34
2.4 Análisis sísmico estático edificio de acero.....	35
2.5 Análisis sísmico modal espectral, edificio de concreto.....	36
2.6 Análisis sísmico modal espectral, edificio de acero.....	46
2.7 Revisión de desplazamientos laterales.....	56
2.8 Efectos de torsión, edificio de concreto.....	58
2.9 Efectos de torsión, edificio de acero.....	66
2.10 Canalización de fuerzas de sismo y torsión a los marcos, edificio de concreto.....	74
2.11 Canalización de fuerzas de sismo y torsión a los marcos, edificio de acero.....	76
III. DISEÑO DE MIEMBROS	
3.1 Efectos de segundo orden para columnas de concreto.....	79
3.2 Envoltorios de diseño, edificio de concreto.....	89
3.3 Envoltorios de diseño, edificio de acero.....	100
3.4 Diseño a flexocompresión de columnas de concreto.....	111
3.5 Diseño por fuerza cortante de columnas de concreto.....	114
3.6 Diseño por flexión de vigas de concreto.....	116
3.7 Diseño por cortante de trabes de concreto.....	118

TESIS CON
FALLA DE ORIGEN

3.8 Diseño de losa de entrepiso, edificio de concreto.....	121
3.9 Diseño de losa de azotea, edificio de concreto.....	123
3.10 Revisión de columnas de acero.....	125
3.11 Revisión como viga "T", elemento en colaboración.....	129
3.12 Diseño por flexión de trabes de acero.....	130
3.13 Diseño de un entrepiso metálico.....	133
IV. PRESUPUESTOS	
4.1 Costos de insumos.....	136
4.2 Conceptos de obra.....	140
4.3 Presupuestos.....	141
V. CONCLUSIONES.....	142
Bibliografía.....	144
ANEXOS.....	145

Numeración de nudos y barras, para análisis de marcos

Planos

**TESIS CON
FALLA DE ORIGEN**

INTRODUCCIÓN

El tema de la edificación es inagotable por tratarse de la morada humana. Inventada y recreada infinidad de veces, presenta múltiples facetas cuya esencia principal no ha sido alterada, ya que su función será siempre la misma: dar cobijo y protección al ser humano satisfaciendo sus necesidades primarias.

Atendiendo a las recreaciones que ha sufrido la edificación, en el presente capítulo se presenta una reseña sobre el panorama de la construcción de edificaciones con estructura de acero en la ciudad de Uruapan, así como de los posibles estudios comparativos previos, referentes al costo de una edificación con estructura de acero y con estructura de concreto reforzado, además de establecer lineamientos de este estudio.

PANORAMA GENERAL DE LA EDIFICACIÓN EN LA CIUDAD DE URUAPAN

La ciudad de Uruapan presenta en su edificación, una fisonomía bien definida, en la cuál se aprecia una dominante tendencia hacia las construcciones con estructura de concreto reforzado, esto debido, posiblemente, al tradicionalismo de nuestros procesos constructivos, a la falta de personal especializado para el montaje y soldadura de calidad de los elementos de acero, la costumbre, o en último caso, al requerimiento de los clientes que sienten cierta aversión y desconfianza ante métodos poco usados en la región.

Se puede decir que en la ciudad, la cantidad de edificios con estructura de acero se limita a unos cuántos solamente; el edificio de Teléfonos de México, ubicado en la calle Morelos en la zona centro, el inmueble de Banca Promex, S. A. De C. V., localizado en el Paseo Gral. Lázaro Cárdenas, en el que se apreció un corto tiempo de ejecución, por mencionar algunos.

**TESIS CON
FALLA DE ORIGEN**

Por lo anterior se pretende demostrar que en edificaciones de alrededor de cinco niveles es conveniente la estructuración en acero, su ejecución es más rápida, existe mejor control de calidad y excelente comportamiento ante las diferentes condiciones de carga. Se estudiará solo el costo directo, ya que los indirectos dependen de otros factores que varían de compañía en compañía, tales como gastos de oficina, de representación, administrativos, entre otros.

ESTUDIOS PREVIOS SOBRE EL TEMA

Se realizó una búsqueda de posibles estudios previos sobre el tema de este trabajo, comenzando por el Colegio de Ingenieros Civiles de Uruapan, donde se afirmó que dentro de ésta organización no existe ningún estudio realizado con ésta temática por parte de sus miembros.

Se revisó dentro de las publicaciones técnicas afines a la Ingeniería Civil y la Arquitectura, tales como la revista *Construcción y Tecnología, Obras; Panorama de la Construcción, Guia de Costos e Instalaciones, Enlace en la Industria de la Construcción*, los temas tratados en éstas revistas son preponderantemente de construcción pesada, y no se remiten a obras medianas tales como lo sería un edificio de cinco niveles, que se considera que es construible en la ciudad de Uruapan, económicamente hablando, además se supone que es el número apropiado de niveles, ante el cuál no se tengan mayores complicaciones de cimentación, o necesidad de utilización de plumas demasiado altas para la colocación de elementos, que encarecería los costos y dificultaría los procesos.

LINEAMIENTOS

Para el análisis y diseño se utilizará el Reglamento de Construcciones para el Distrito Federal en su edición de 1997, excepto para el caso de acero en el que

se usará el Reglamento de Construcciones para el Estado de Michoacán. También será tomado de éste último el espectro de diseño sísmico, así como la clasificación para la zona y el tipo de terreno que se usará, que para este caso se propone en terreno de transición o tipo II, que es el preponderante en la ciudad de Uruapan.

El método utilizado para el diseño del edificio de concreto será el de resistencia última, también llamado "plástico", siendo en los últimos años el de mayor uso en el medio. En lo que respecta al edificio de acero, se utilizará el diseño por esfuerzos permisibles, también conocido como método "elástico", nombrado de esta manera porque en él se utilizan esfuerzos de trabajo y deformaciones que se generan en el rango elástico del material, despreciando la resistencia que existe en la zona plástica. Único método de diseño de acero estudiado en el plan de licenciatura.

Además de sólo ser estudio de costo directo, se referirá *exclusivamente* a la estructura, sin considerar instalaciones, acabados, etcétera, porque estos no varían con un tipo u otro de estructura, ni costos indirectos que varían de una compañía constructora a otra.

Para fin de realizar este trabajo se hará uso de hojas de cálculo de EXCEL, el programa PAEM para el análisis de los marcos planos, AUTOCAD para el dibujo de planos, programas realizados en FORTRAN 90 para el cálculo de elementos aislados, y finalmente el programa MAP-GC (Marcos, armaduras y parrillas de Gerardo Corona) para realizar las envolventes de los diferentes estados de carga, así como programas y rutinas realizadas en calculadora programable.

CAPÍTULO I: ANÁLISIS ESTRUCTURAL DE LOS MARCOS

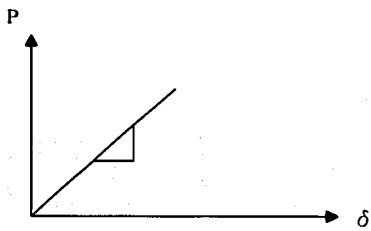
En este apartado se explican los principios básicos del método de las rigideces o desplazamientos, ya que es el que se utilizará en el análisis de los marcos planos. Este método se desarrolló para enfatizar como se utiliza cada uno de los principios fundamentales de equilibrio, compatibilidad y fuerza - desplazamiento para plantear una estrategia general de solución, y consiste en restringir los desplazamientos de la estructura de tal manera que cada elemento de ésta pueda analizarse en forma individual. Este análisis constituye la solución primaria. La restricción de los desplazamientos viola el equilibrio, el cual debe ser restablecido por la solución complementaria. La solución complementaria determina la magnitud de los desplazamientos necesarios para restablecer el equilibrio. En este método los desplazamientos restringidos son las incógnitas en el sistema de ecuaciones, por lo cual el método de solución utilizando este principio es también llamado método de los desplazamientos o método de las rigideces.

El método de las rigideces proporciona una forma alternativa para plantear un método eficaz, que puede ampliarse fácilmente para desarrollar programas de análisis estructural con propósitos generales. (Rojas)

Un concepto básico del procedimiento es el de rigidez, que se define como la fuerza que se necesita aplicar en un punto para producir un desplazamiento unitario en el mismo (MC Cormac), es decir:

$$K = P \quad \text{si } \delta = 1$$

Por ser un análisis de tipo elástico, se puede suponer por compatibilidad, que las cargas son proporcionales a los desplazamientos, es decir:



La pendiente de la recta será la rigidez:

$$K = P/\delta \quad \text{De donde:}$$

$$P = K \delta$$

1.1 ESTIMACIÓN DE CARGAS GRAVITACIONALES

En el presente capítulo, se presentan los lineamientos que se siguieron para el predimensionamiento de los elementos estructurales, es decir, la propuesta inicial de secciones transversales, de modo que seamos capaces de calcular su peso propio y magnitud de las fuerzas que actúan sobre cada uno de ellos.

Estas secciones deben ser revisadas y diseñadas una vez que se han obtenido los elementos mecánicos para cada miembro.

- **ESPESOR DE LOSAS:**

Las losas serán aligeradas con casetón de poliestireno, de dimensiones 40 X 40 X 25, con una capa de compresión de 5 cm. Las nervaduras tendrán un ancho de 10 cm.

Tomando el tablero mayor AB-12;

$$H = \frac{\text{perímetro}}{180} + 2\text{cm} = \frac{(725 + 600) * 2}{180} + 2\text{cm} = 16.72\text{cm}$$

Proponiendo $H = 25\text{ cm.}$

- **TRABES:**

Se estimará el peralte como el cociente que resulte de dividir la longitud del claro entre un rango de 10 a 12, mientras que el ancho se calculará dividiendo dicho cociente entre 2 a 4, escogiendo un valor entre estos dos para presentar una propuesta.

TRABES EJE LONGITUDINAL:

$$\text{Peralte } \frac{L}{10} \geq H \geq \frac{L}{12}$$

Longitud= 725 cm.

$$\frac{725}{10} \geq H \geq \frac{725}{12} \quad 72.5 \geq H \geq 60.42$$

Tomar $H_{\text{long}} = 60$ cm.

$$\text{Ancho } \frac{H}{4} \leq b \leq \frac{H}{2}$$

$H = 60$ cm.

$$\frac{60}{4} \leq b \leq \frac{60}{2} \quad 15 \leq b \leq 30$$

Tomar $b_{\text{long}} = 30$ cm.

TRABES EJE TRANSVERSAL:

$$\text{Peralte } \frac{L}{10} \geq H \geq \frac{L}{12}$$

Longitud= 600 cm.

$$\frac{600}{10} \geq H \geq \frac{600}{12} \quad 60 \geq H \geq 50$$

Tomar $H_{\text{transv}} = 50$ cm.



$$\text{Ancho } \frac{H}{4} \leq b \leq \frac{H}{2}$$

H= 50 cm.

$$\frac{50}{4} \leq b \leq \frac{50}{2} \quad 12.50 \leq H \leq 25$$

Tomar btransv= 25 cm.

- COLUMNAS:

Se estimará, como mínimo, un ancho de columna de aproximadamente un 15% de la altura libre de entrepiso.

Lado $0.15h$

Altura libre= 320 cm.

$$L = 0.15(320)$$

$$L = 48 \text{ cm. (mínimo)}$$

Tomar L= 60 cm. (Columnas cuadradas)

PREDIMENSIONAMIENTO EDIFICIO DE ACERO

- LOSAS:

Serán hechas con lámina Galvadeck 25 calibre 24, mismas que serán revisadas para las solicitudes de diseño así como para los estados límite de servicio, a fin de aprobar o bien, cambiar el calibre de la lámina o el espesor de la capa de compresión, que de inicio se propone de 5 cm.

- TRABES:

Se estimará el peralte como el cociente que resulte de dividir la longitud del claro entre un rango de 30 a 40.

TRABES EJE LONGITUDINAL:

$$\text{Peralte } \frac{L}{40} \geq H \geq \frac{L}{30}$$

Longitud= 725 cm.

$$\frac{725}{40} \geq H \geq \frac{725}{30} \quad 18.10 \geq H \geq 24.17$$

Tomar $H_{\text{long}} = 25 \text{ cm, aprox. } 10"$

**TESIS CON
FALLA DE ORIGEN**

TRABES EJE TRANSVERSAL:

Las trabes del eje transversal se tomarán de la misma dimensión que las del eje longitudinal como una primera aproximación.

- **COLUMNAS:**

Se estimará, como mínimo, un ancho de columna de aproximadamente un 10% de la altura libre de entrepiso.

Lado $0.10/h$

Altura libre= 320 cm.

$$L = 0.10(320)$$

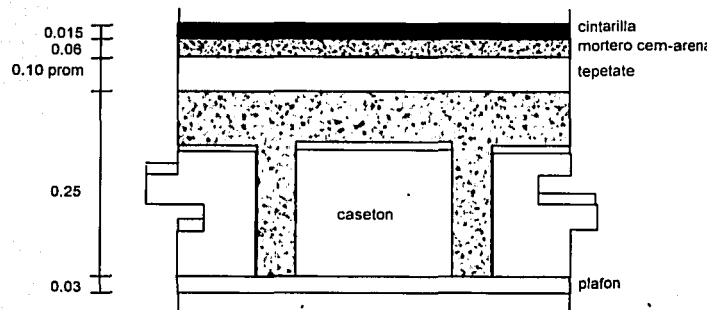
L=32 cm. (mínimo)

Tomar L= 30 cm, aprox. 12"

1.2 ANÁLISIS DE CARGAS UNITARIAS EDIFICIO DE CONCRETO

Se tomarán en consideración las cargas vivas y muertas para este apartado, sin tomar ningún factor de carga, lo que se hará posteriormente. Las cargas vivas se toman de lo establecido en el Reglamento de Construcciones del Departamento del Distrito Federal.

LOSA DE AZOTEA



$$\text{Cintilla} = (0.015\text{m})(1\text{m})(1\text{m})(2.20 \text{ T/m}^3) = 0.033 \text{ T/m}^2$$

$$\text{Mortero} = (0.06\text{m})(1\text{m})(1\text{m})(2.10 \text{ T/m}^3) = 0.126 \text{ T/m}^2$$

$$\text{Tepetate} = (0.10\text{m})(1\text{m})(1\text{m})(1.95 \text{ T/m}^3) = 0.195 \text{ T/m}^2$$

$$\text{Losa} = ((0.25\text{m})(1\text{m})(1\text{m}) - (0.40\text{m})(0.40\text{m})(0.20\text{m})(4 \text{ pzas.})) (2.40 \text{ T/m}^3) = 0.293 \text{ T/m}^2$$

$$\text{Plafón de mortero} = (0.03\text{m})(1\text{m})(1\text{m})(2.10 \text{ T/m}^3) = 0.063 \text{ T/m}^2$$

$$\text{Carga adicional por losa} = 0.020 \text{ T/m}^2$$

$$\text{Carga adicional por mortero} = 0.020 \text{ T/m}^2$$

$$W_{muerta} = 0.750 \text{ T/m}^2$$

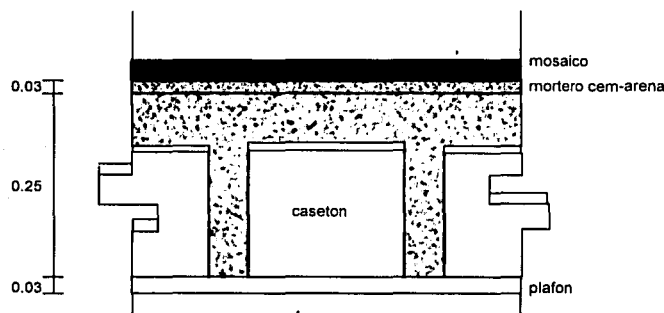
+

$$W_{viva} = 100 \text{ kg/m}^2 \text{ para azoteas con } s < 5\% \text{ según el RCEM} \quad W_{viva} = 0.100 \text{ T/m}^2$$

$$W_{total} = 0.850 \text{ T/m}^2$$

TESIS CON
FALLA DE ORIGEN

LOSA DE ENTREPISO



Mosaico=

0.035 T/m²

Mortero= (0.03m)(1m)(1m)(2.10 T/m³)=

0.063 T/m²

Losa= ((0.25m)(1m)(1m)-(0.40m)(0.40m)(0.20m)(4 pzas.))(2.40 T/m³)=

0.293 T/m²

Plafon de mortero= (0.03m)(1m)(1m)(2.10 T/m³)=

0.063 T/m²

Carga adicional por instalaciones=

0.020 T/m²

Carga adicional por mortero=

0.020 T/m²

Carga adicional por losa=

0.020 T/m²

$$W_{muerta} = 0.514 \text{ T/m}^2$$

+

Wviva= 250 kg/m² para oficinas según el RCEM

$$W_{viva} = 0.250 \text{ T/m}^2$$

$$W_{total} = 0.764 \text{ T/m}^2$$

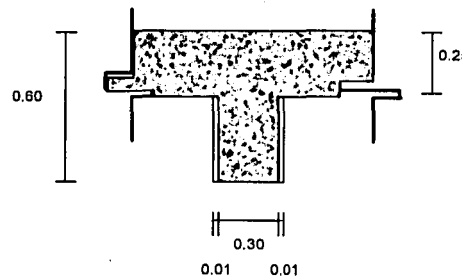
Wviva= 350 kg/m² para pasillos y escaleras según el RCEM

$$W_{viva} = 0.350 \text{ T/m}^2$$

$$W_{total} = 0.864 \text{ T/m}^2$$

TESIS CON
FALLA DE ORIGEN

TRABES EJE LONGITUDINAL



$$W_1 = (0.30m)(0.35m)(1m)(2.40 \text{ T/m}^3) =$$

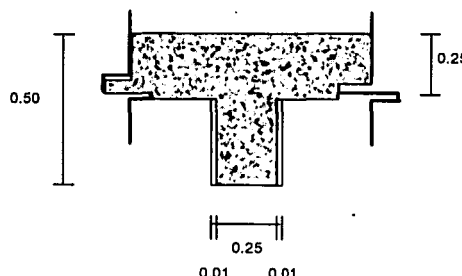
$$0.252 \text{ T/m}^2$$

$$W_2 = (0.35m)(0.02m)(1m)(2.10 \text{ T/m}^3) =$$

$$0.015 \text{ T/m}^2$$

$$W_m = \boxed{0.267 \text{ T/m}^2}$$

TRABES EJE TRANSVERSAL



**TESIS CON
FALLA DE ORIGEN**

$$W_1 = (0.25m)(0.25m)(1m)(2.40 \text{ T/m}^3) =$$

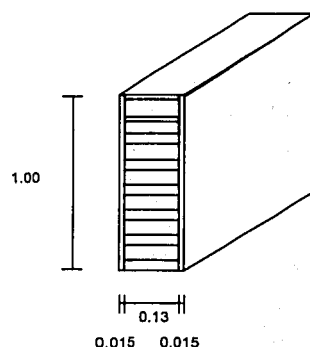
$$0.150 \text{ T/m}^2$$

$$W_2 = (0.02m)(0.25m)(1m)(2.10 \text{ T/m}^3) =$$

$$0.011 \text{ T/m}^2$$

$$W_m = \boxed{0.161 \text{ T/m}^2}$$

M U R O D E T A B I Q U E



$$\text{Tabique} = (0.13m)(1m)(1m)(1.6 \text{ T/m}^3) =$$

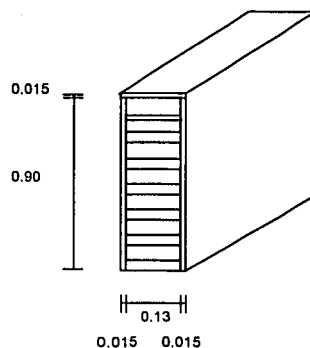
$$\text{Aplanados} = (0.03m)(1m)(1m)(2.10 \text{ T/m}^3) =$$

$$0.208 \text{ T/m}^2$$

$$0.063 \text{ T/m}^2$$

$$W_{\text{muro}} = 0.271 \text{ T/m}^2$$

P R E T I L



$$\text{Tabique} = (0.13m)(0.90m)(1m)(1.6 \text{ T/m}^3) =$$

$$\text{Aplanados} = (0.03m)(0.885m)(1m)(2.10 \text{ T/m}^3) =$$

$$+ (0.015m)(0.16m)(1m)(2.10 \text{ T/m}^3) =$$

$$0.187 \text{ T/m}^2$$

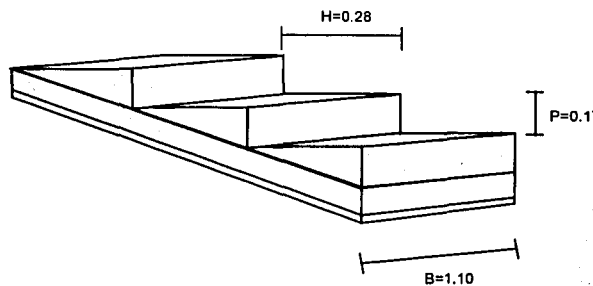
$$0.056 \text{ T/m}^2$$

$$0.005 \text{ T/m}^2$$

$$W_{\text{pretil}} = 0.248 \text{ T/m}^2$$

TESIS CON
FALLA DE ORIGEN

ESCALERAS



Rampa= (0.10m)(1m)(1m)(2.40 T/m³)=	0.240 T/m²
Peldaños= $P/2 \cdot W_{tabique} = 0.17m/2(1.60 T/m^3) =$	0.136 T/m²
Aplanado= (0.20m)(1m)(1m)(2.10 T/m³)=	0.042 T/m²
Carga adicional por losa=	0.020 T/m²
Carga adicional por mortero=	0.020 T/m²

$$W_{muerta} = 0.458 \text{ T/m}^2$$

+

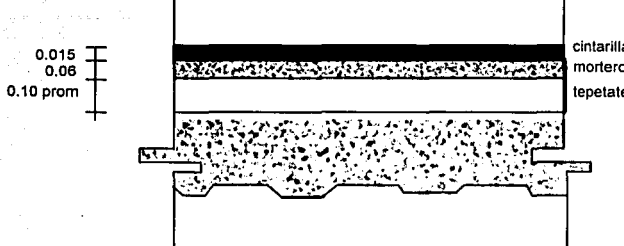
$$\text{Según el RCEM: } W_{viva} = 0.350 \text{ T/m}^2$$

$$W_{total} = \boxed{0.808 \text{ T/m}^2}$$

**TESIS CON
FALLA DE ORIGEN**

1.3 ANÁLISIS DE CARGAS UNITARIAS EDIFICIO DE ACERO

LOSA DE AZOTEA



Cintarilla= $(0.015m)(1m)(1m)(2.20 \text{ T/m}^3)$ =	<u>0.033 T/m²</u>
Mortero= $(0.06m)(1m)(1m)(2.10 \text{ T/m}^3)$ =	<u>0.126 T/m²</u>
Tepetate= $(0.10m)(1m)(1m)(1.95 \text{ T/m}^3)$ =	<u>0.195 T/m²</u>
Lámina Galvadeck 25, cal 24, + 5cm de concreto=	<u>0.195 T/m²</u>
Plafon=	<u>0.030 T/m²</u>
Carga adicional por instalaciones=	<u>0.020 T/m²</u>
Carga adicional por losa y mortero=	<u>0.040 T/m²</u>

$$W_{muerta} = 0.639 \text{ T/m}^2$$

+

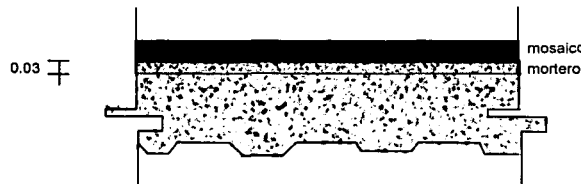
$$W_{viva} = 100 \text{ kg/m}^2 \text{ para azoteas con } s < 5\% \text{ según el RCEM}$$

$$W_{viva} = 0.100 \text{ T/m}^2$$

$$W_{total} = 0.739 \text{ T/m}^2$$

TESIS CON
FALLA DE ORIGEN

LOSA DE ENTREPISO



Mosaico=	0.035 T/m ²
Mortero= $(0.03m)(1m)(1m)(2.10 \text{ T/m}^3)$ =	0.063 T/m ²
Lámina Galvadeck 25, cal 24 + 5cm concreto=	0.195 T/m ²
Plafon=	0.050 T/m ²
Carga adicional por instalaciones=	0.020 T/m ²
Carga adicional por losa y mortero=	<u>0.040 T/m²</u>

$$W_{muerta} = 0.403 \text{ T/m}^2$$

+

$$W_{viva} = 250 \text{ kg/m}^2 \text{ para oficinas según el RCEM} \quad W_{viva} = 0.250 \text{ T/m}^2$$

$$W_{total} = 0.653 \text{ T/m}^2$$

$$W_{viva} = 350 \text{ kg/m}^2 \text{ para pasillos y escaleras según el RCEM} \quad W_{viva} = 0.350 \text{ T/m}^2$$

$$W_{total} = 0.753 \text{ T/m}^2$$

Sobrecarga real sobre lámina= Wtotal - peso lámina y concreto= 0.558 T/m²

TESIS CON
FALLA DE ORIGEN

1.4 CANALIZACIÓN DE CARGAS A LOS MARCOS

Para efectos de análisis de los marcos planos que forman el edificio, se considera el criterio de las áreas tributarias en la canalización de las cargas a cada viga. A continuación se presenta la forma de hacerlo para el marco del eje "A", del edificio con estructura de concreto; se siguió el mismo procedimiento para los demás marcos.

- Nivel 5

Tramo 4-3 = Tramo 2-1

Trabe = 0.1605 t/m

Losa = (9.0 m² Área tributaria) (0.850 t/m²) / 6.0 m = 1.275 t/m

Pretil = 0.248 t/m

Wt = 1.68 t/m

Tramo 3-2

Trabe = 0.311 t/m

Losa = (6.25 m² Área tributaria) (0.850 t/m²) / 5.0 m = 1.062 t/m

Pretil = 0.248 t/m

Wt = 1.62 t/m

- Niveles 4,3,2,1

Tramo 4-3 = Tramo 2-1

Trabe = 0.1605 t/m

Losa = (9.0 m² Área tributaria) (0.764 t/m²) / 6.0 m = 1.146 t/m

Muro tabique = (3.20 m altura libre) (1m) (0.271 t/m²) = 0.8672 t/m

$$W_t = 2.17 \text{ t/m}$$

Tramo 3-2

$$\text{Trabe} = 0.311 \text{ t/m}$$

$$\text{Losa} = (6.25 \text{ m}^2 \text{ Área tributaria}) (0.764 \text{ t/m}^2) / 5.0 \text{ m} = 0.955 \text{ t/m}$$

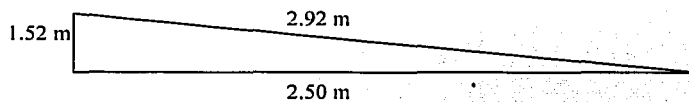
$$\text{Muro tabique} = (3.20 \text{ m altura libre}) (1\text{m}) (0.271 \text{ t/m}^2) = 0.8672 \text{ t/m}$$

$$W_t = 1.98 \text{ t/m}$$

- Cargas debidas a escaleras:

Tenemos hasta la altura del descanso, que es igual a la mitad del claro libre:

$$H_1 = 3.20 \text{ m} - 0.17 \text{ m (descanso)} / 2 = 1.52 \text{ m}$$



Concentrando la carga al centro:

$$P = (0.808 \text{ t/m}) (2.92 \text{ m}) = 2.36 \text{ ton}$$

Convirtiendo para la componente vertical:

$$R_1 + R_2 = (2.50 \text{ m} / 2.92 \text{ m}) (2.36 \text{ ton}) = 2.01 \text{ ton}$$

$$R_1 = R_2 = 1.00 \text{ ton}$$

TESIS CON
FALLA DE ORIGEN

Transformando a carga uniforme:

$$R1=R2 = 1.00 / 1.10 \text{ m (ancho de escalera)} = 0.909 \text{ t/m}$$

- Para el cálculo de la reacción que induce en las vigas centrales de los ejes "C", "D" y "E", la viga auxiliar se procedió de la siguiente manera:

- Se canalizó las cargas a la viga:

Azotea:

Tramo 1-2 = Tramo 2-3

$$\text{Trabe} = 0.1605 \text{ t/m}$$

$$\text{Losa} = (4.065 \text{ m}^2 \text{ Área tributaria}) (0.850 \text{ t/m}^2) / 7.25 \text{ m} = 0.4766 \text{ t/m}$$

$$Wt = 0.637 \text{ t/m}$$

Entrepisos:

**TESIS CON
FALLA DE ORIGEN**

Tramo único

$$\text{Trabe} = 0.1605 \text{ t/m}$$

$$\text{Losa} = (4.065 \text{ m}^2 \text{ Área tributaria}) (0.864 \text{ t/m}^2) / 7.25 \text{ m} = 0.484 \text{ t/m}$$

(pasillos)

$$Wt = 0.645 \text{ t/m}$$

- Y por medio de un análisis con el método de las rigideces, se obtuvieron las siguientes reacciones:

Azotea:

$$\text{Extremos} = 1.732 \text{ ton}$$

Central = 5.773 ton

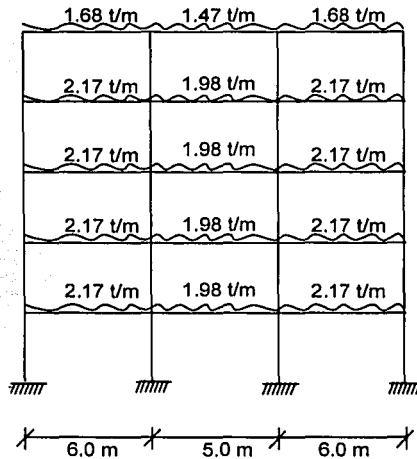
Entrepisos:

Ambos apoyos = 2.34 ton

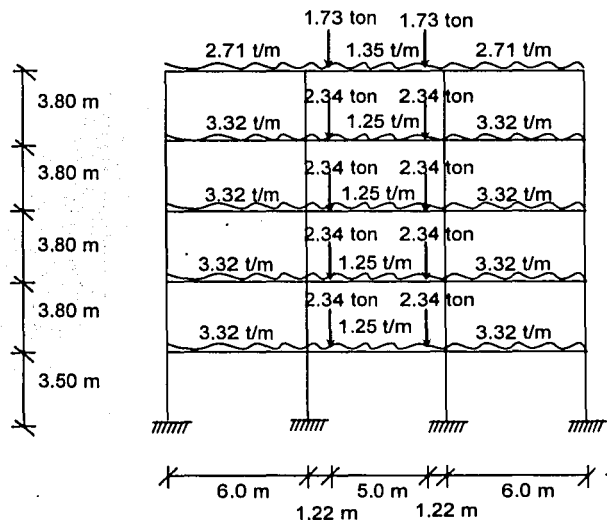
- Se procede de igual manera en los marcos de acero para calcular las cargas puntuales que aparecen canalizadas en ellos.

1.4.1 CANALIZACIÓN A LOS MARCOS EDIFICIO DE CONCRETO:

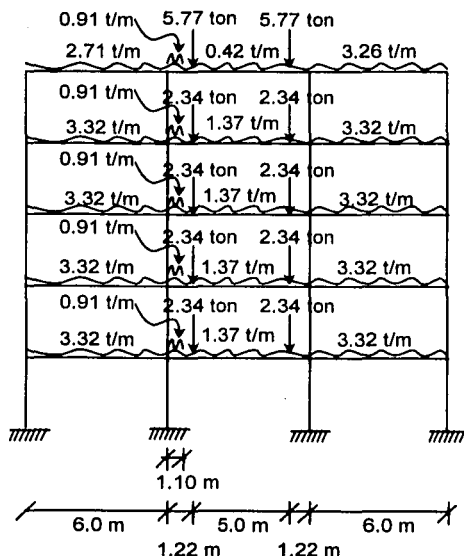
MARCO EJE "A"



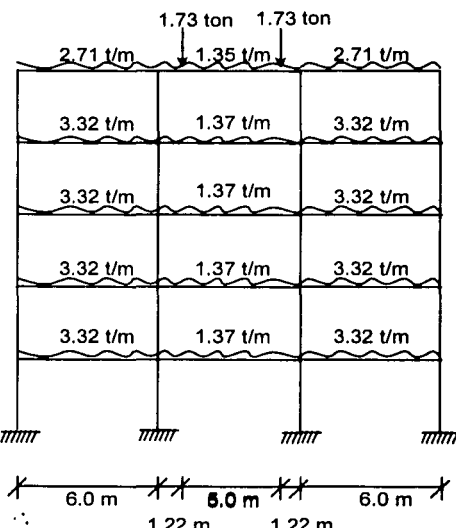
MARCO EJE "C"



MARCO EJE "D"

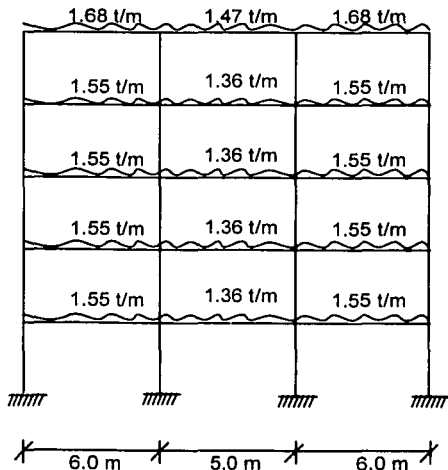


MARCO EJE "E"

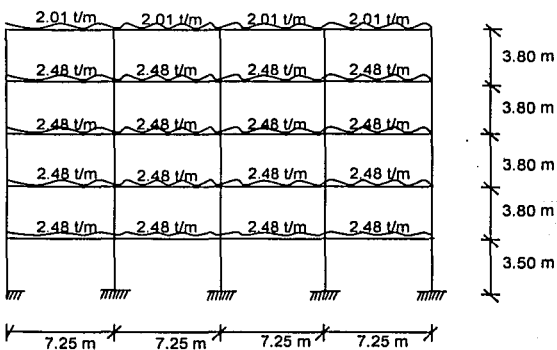


MARCO EJE "G"

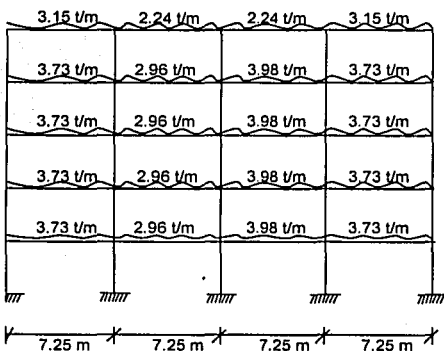
**TESIS CON
FALLA DE ORIGEN**



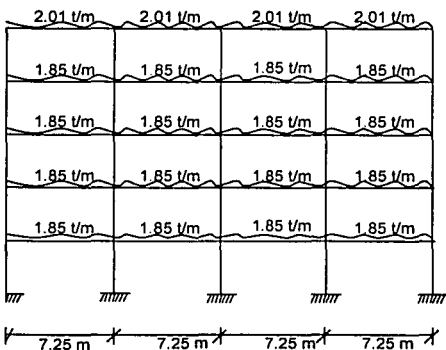
MARCO EJE "1"



MARCO EJE "2 y 3"

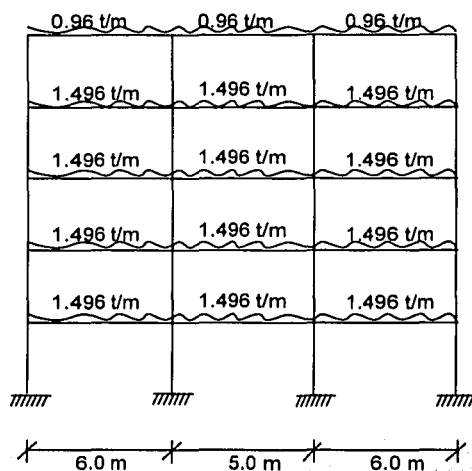


MARCO EJE "4"

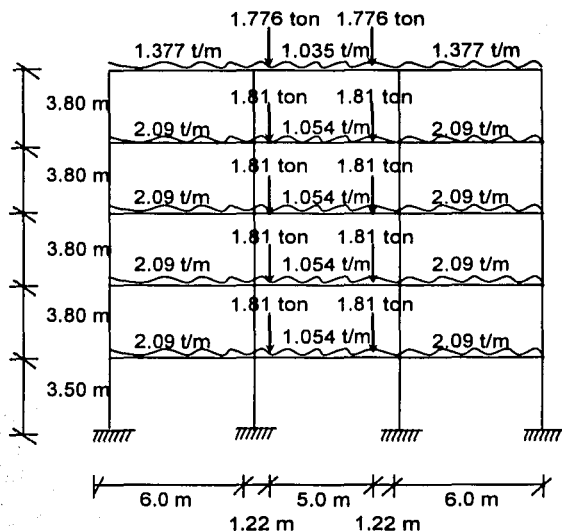


1.4.2 CANALIZACIÓN A LOS MARCOS, EDIFICIO DE ACERO

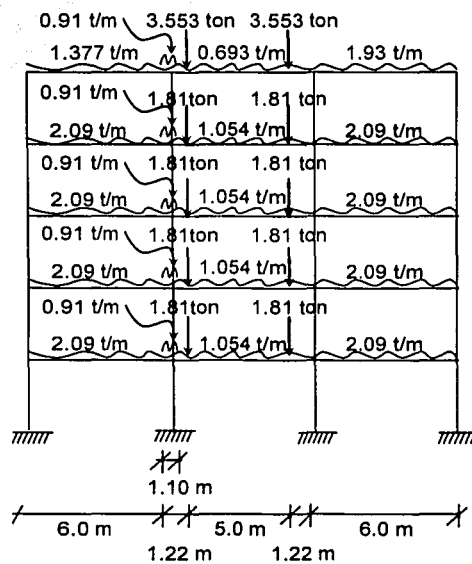
MARCO EJE "A"



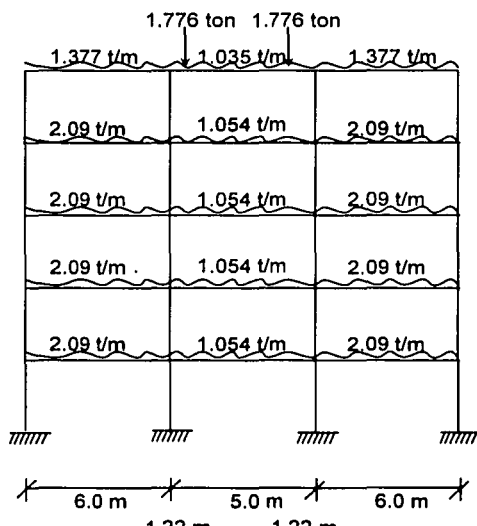
MARCO EJE "C"



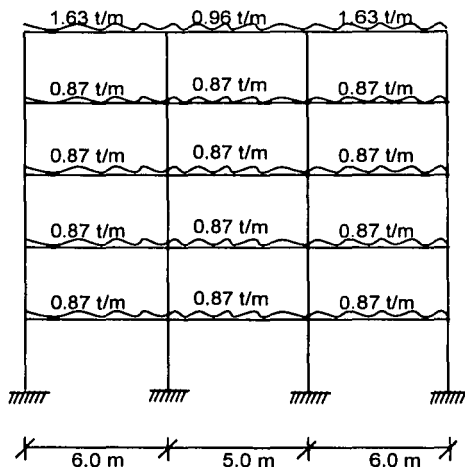
MARCO EJE "D"



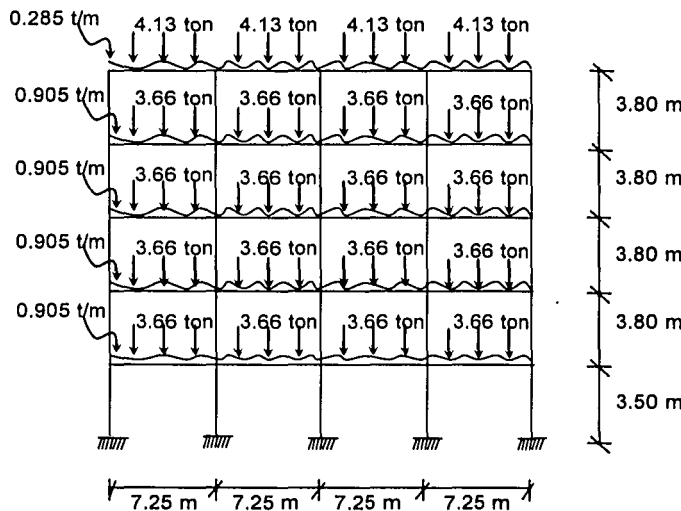
MARCO EJE "E"



M A R C O E J E " G "

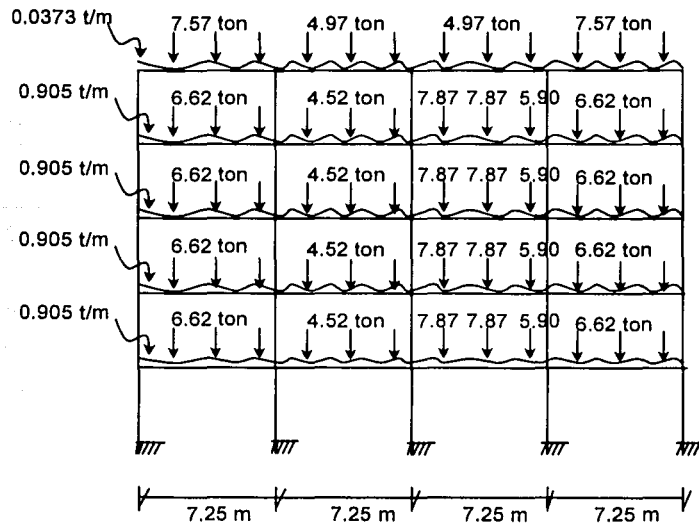


M A R C O E J E " 1 "

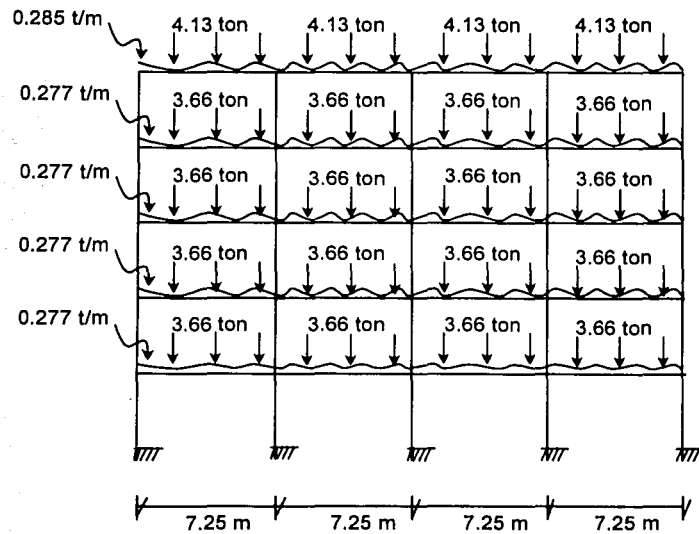


**TESIS CON
FALLA DE ORIGEN**

M A R C O E J E " 2 y 3 "



M A R C O E J E " 4 "



TESIS CON
FALLA DE ORIGEN

CAPÍTULO II. ANÁLISIS SÍSMICO

2.1 CONCENTRACIÓN DE PESOS EDIFICIO DE CONCRETO

Se considera para este efecto, la carga muerta más carga viva *instantánea*, de acuerdo al RCDDF-97:

- Nivel 5

$$\text{Losa} = (456.02 \text{ m}^2) (0.750 \text{ t/m}^2 + 0.070 \text{ t/m}^2) = 373.84 \text{ ton}$$

$$\text{Trabes eje longitudinal} = (116 \text{ m}) (0.2671 \text{ t/m}) = 30.97 \text{ ton}$$

$$\text{Trabes eje transversal} = (114 \text{ m}) (0.1605 \text{ t/m}) = 18.29 \text{ ton}$$

$$\text{Muros de tabique} = (46 \text{ m}) (1.60 \text{ m}) (0.271 \text{ t/m}^2) = 19.95 \text{ ton}$$

$$\text{Cancelería} = (46 \text{ m}) (1.60 \text{ m}) (0.075 \text{ t/m}^2) = 5.52 \text{ ton}$$

$$\text{Muros intermedios} = 6 \text{ pzas.} (6 \text{ m}) (1.60 \text{ m}) (0.271 \text{ t/m}^2) = 15.61 \text{ ton}$$

$$2 \text{ pzas.} (5 \text{ m}) (1.60 \text{ m}) (0.271 \text{ t/m}^2) = 4.34 \text{ ton}$$

$$\text{Escaleras} = 0.759 \text{ ton} \quad (\text{Un apoyo de escaleras, } W_a + W_m)$$

$$\text{Columnas} = 1.60 \text{ m} (20 \text{ pzas}) (0.864 \text{ t/m}) = 27.65 \text{ ton}$$

$$\text{Pretil} = 92 \text{ m} (0.248 \text{ t/m}) = 22.82 \text{ ton}$$

$$W_t = 519.75 \text{ ton}$$

- Niveles 4, 3, 2, 1

$$\text{Losa} = (469.67 \text{ m}^2) (0.5138 \text{ t/m}^2 + 0.180 \text{ t/m}^2) = 325.86 \text{ ton}$$

$$\text{Trabes eje longitudinal} = (116 \text{ m}) (0.2671 \text{ t/m}) = 30.97 \text{ ton}$$

$$\text{Trabes eje transversal} = (99.50 \text{ m}) (0.1605 \text{ t/m}) = 15.97 \text{ ton}$$

$$\text{Muros de tabique} = (46 \text{ m}) (3.20 \text{ m}) (0.271 \text{ t/m}^2) = 39.89 \text{ ton}$$

$$\text{Cancelería} = (46 \text{ m}) (3.20 \text{ m}) (0.075 \text{ t/m}^2) = 11.04 \text{ ton}$$

$$\text{Muros intermedios} = 6 \text{ pzas.} (6 \text{ m}) (3.20 \text{ m}) (0.271 \text{ t/m}^2) = 31.22 \text{ ton}$$

$$+ 2 \text{ pzas.} (5 \text{ m}) (3.20 \text{ m}) (0.271 \text{ t/m}^2) = 8.67 \text{ ton}$$

Escaleras = 0.759 ton (Un apoyo de escaleras, Wa + Wm)

Columnas = 3.20 m (20 pzas) (0.864 t/m) = 55.29 ton

Wt= 519.67 ton

2.2 CONCENTRACIÓN DE PESOS EDIFICIO DE ACERO

De igual manera se considera la carga muerta más carga viva *instantánea*, de acuerdo al RCDDF-97:

- Nivel 5

$$\text{Losa} = (456.02 \text{ m}^2) (0.639 \text{ t/m}^2 + 0.070 \text{ t/m}^2) = 323.32 \text{ ton}$$

$$\text{Trabes eje longitudinal} = 116 \text{ m} (0.0373 \text{ t/m}) = 4.33 \text{ ton}$$

$$\text{Trabes eje transversal} = 85 \text{ m} (0.0373 \text{ t/m}) = 3.17 \text{ ton}$$

$$\text{Trabes secundarias} = 188.70 \text{ m} (0.0373 \text{ t/m}) = 7.04 \text{ ton}$$

$$\text{Arriostramientos} = 72.5 \text{ m} (0.0373 \text{ t/m}) = 2.70 \text{ ton}$$

$$\text{Muros de tabique} = (46 \text{ m}) (1.60 \text{ m}) (0.271 \text{ t/m}^2) = 19.95 \text{ ton}$$

$$\text{Cancelería} = (46 \text{ m}) (1.60 \text{ m}) (0.075 \text{ t/m}^2) = 5.52 \text{ ton}$$

$$\text{Muros intermedios} = 6 \text{ pzas.} (6 \text{ m}) (1.60 \text{ m}) (0.271 \text{ t/m}^2) = 15.61 \text{ ton}$$

$$2 \text{ pzas.} (5 \text{ m}) (1.60 \text{ m}) (0.271 \text{ t/m}^2) = 4.34 \text{ ton}$$

$$\text{Escaleras} = 0.759 \text{ ton} (\text{Un apoyo de escaleras, Wa + Wm})$$

$$\text{Columnas} = 1.60 \text{ m} (20 \text{ pzas}) (0.236 \text{ t/m}) = 7.568 \text{ ton}$$

$$\text{Pretil} = 92 \text{ m} (0.248 \text{ t/m}) = 22.82 \text{ ton}$$

Wt= 417.202 ton

- Niveles 4, 3, 2, 1

Losa = $(469.67 \text{ m}^2) (0.403 \text{ t/m}^2 + 0.180 \text{ t/m}^2) = 273.82 \text{ ton}$

Trabes eje longitudinal = 4.33 ton

Trabes eje transversal = 3.17 ton

Trabes secundarias = $196.35 \text{ m} (0.0373 \text{ t/m}) = 7.323 \text{ ton}$

Arriostramientos = $87 \text{ m} (0.0373 \text{ t/m}) = 3.25 \text{ ton}$

Muros de tabique = $(46 \text{ m}) (3.20 \text{ m}) (0.271 \text{ t/m}^2) = 39.89 \text{ ton}$

Ccancelería = $(46 \text{ m}) (3.20 \text{ m}) (0.075 \text{ t/m}^2) = 11.04 \text{ ton}$

Muros intermedios = 6 pzas. (6 m) (3.20 m) (0.271 t/m²) = 31.22 ton

2 pzas. (5 m) (3.20 m) (0.271 t/m²) = 8.67 ton

Escaleras = 0.759 ton (Un apoyo de escaleras, Wa + Wm)

Columnas = 3.20 m (20 pzas) (0.236 t/m) = 15.136 ton

Wt= 398.61 ton

2.3 ANALISIS SISMICO ESTATICO EDIFICIO DE CONCRETO

Estructura grupo "B" (oficinas)

Ubicación, Uruapan Mich.

Coeficiente sísmico zona B, según RCEM:

Suelo tipo II c= 0.2
 Factor de ductilidad, Q= 2

$$F_i = (c/Q) \times (W_{ih}W_t)/\sum W_{ih}$$

NIVEL	Wi (ton)	hi (m)	Wihi	Fi (ton)	80% Fi (ton)	Vi (ton)	80% Vi (ton)
5	519.75	18.70	9719.325	87.56	70.05	87.56	70.05
4	519.67	14.90	7743.083	69.76	55.80	157.32	125.85
3	519.67	11.10	5768.337	51.97	41.57	209.28	167.43
2	519.67	7.30	3793.591	34.18	27.34	243.46	194.77
1	519.67	3.50	1818.845	16.39	13.11	259.84	207.87
SUMAS:	2598.43		28843.181				

Wi (ton)

		519.75
E-5		519.67
E-4		519.67
E-3		519.67
E-2		519.67
E-1		

F (ton)

Vi (ton)

87.56
69.76
51.97
34.18
16.39

→	87.56	
→	157.32	
→	209.28	
→	243.46	
→	259.84	

2.4 ANALISIS SISMICO ESTATICO EDIFICIO DE ACERO

Estructura grupo "B" (oficinas)

Ubicación, Uruapan Mich.

Coefficiente sísmico zona B, según RCEM:

Suelo tipo II $c = 0.2$
Factor de ductilidad, $Q = 2$

$$F_i = (c/Q) \times (W_{hi}W_t)/\sum W_{hi}$$

NIVEL	Wi (ton)	hi (m)	W _{hi}	F _i (ton)	80% F _i (ton)	V _i (ton)	80% V _i (ton)
5	417.26	17.152	7156.878	69.46	55.57	69.46	55.57
4	398.61	13.696	5459.363	52.98	42.39	122.44	97.95
3	398.61	10.240	4081.766	39.61	31.69	162.05	129.64
2	398.61	6.784	2704.170	26.24	20.99	188.30	150.64
1	398.61	3.328	1326.574	12.87	10.30	201.17	160.94
SUMAS:	2011.702		20728.751				

Wi (ton)

417.262

E-5	398.61
E-4	398.61
E-3	398.61
E-2	398.61
E-1	

F (ton)

Vi (ton)

69.46	69.46
52.98	122.44
39.61	162.05
26.24	188.30
12.87	201.17

2.5 ANÁLISIS SÍSMICO MODAL ESPECTRAL EDIFICIO DE CONCRETO

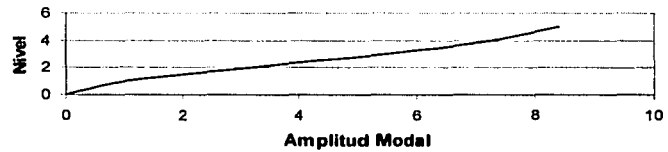
PRIMER MODO DE VIBRACION

SENTIDO TRANSVERSAL

k_i (ton - cm)	222.475	98.02	82.62	76.78	62.97
m_i (ton-s ² /cm)	0.52973496	0.52973496	0.52973496	0.52973496	0.52981651
x_i	1	2	3	4	5
F_i / w^2	0.52973496	1.05946993	1.58920489	2.11893986	2.64908257
V_i / w^2	7.946432212	7.41669725	6.35722732	4.76802243	2.64908257
Dx_i / w^2	0.035718315	0.07566514	0.07694538	0.0620998	0.04206896
x_i / w^2	0.03571832	0.11138346	0.18832884	0.25042864	0.2924976
w^2	27.9968411	17.9595877	15.9295838	15.9726143	17.0941575
k_i (ton - cm)	222.475	98.02	82.62	76.78	62.97
m_i (ton-s ² /cm)	0.52973496	0.52973496	0.52973496	0.52973496	0.52981651
x_i	1	2	3	4	5
F_i / w^2	0.52973496	3.11838497	5.27261255	7.01121071	8.18900876
V_i / w^2	13.02749526	12.4977603	12.79308722	3.71408345	4.33867207
Dx_i / w^2	0.05855712	0.12750215	0.13127382	0.1048809	0.06890062
x_i / w^2	0.05855712	0.18605927	0.31733308	0.42221398	0.4911146
w^2	17.0773426	16.7601703	16.6103888	16.6058231	16.6743337
k_i (ton - cm)	222.475	98.02	82.62	76.78	62.97
m_i (ton-s ² /cm)	0.52973496	0.52973496	0.52973496	0.52973496	0.52981651
x_i	1	2	3	4	5
F_i / w^2	0.52973496	3.17739782	5.41920577	7.21029284	8.38693234
V_i / w^2	13.34673593	12.817001	12.8074277	3.81954422	4.44353525
Dx_i / w^2	0.059992071	0.13075904	0.13475941	0.10762021	0.07056591
x_i / w^2	0.05999207	0.19075111	0.32551052	0.43313072	0.50369663
w^2	16.6688695	16.6572967	16.6483277	16.6469208	16.6507612
k_i (ton - cm)	222.475	98.02	82.62	76.78	62.97
m_i (ton-s ² /cm)	0.52973496	0.52973496	0.52973496	0.52973496	0.52981651
x_i	1	2	3	4	5
F_i / w^2	0.52973496	3.17960536	5.42589234	7.21979952	8.39605344
V_i / w^2	13.36131599	12.831581	12.87428488	3.82458024	4.44836777
Dx_i / w^2	0.060057606	0.13090778	0.13492172	0.10774874	0.07064265
x_i / w^2	0.06005761	0.19096539	0.32588712	0.43363585	0.5042785
w^2	16.6506802	16.6501655	16.6496068	16.6494525	16.6496358
k_i (ton - cm)	222.475	98.02	82.62	76.78	62.97
m_i (ton-s ² /cm)	0.52973496	0.52973496	0.52973496	0.52973496	0.52981651
x_i	1	2	3	4	5
F_i / w^2	0.52973496	3.17960536	5.42589234	7.21979952	8.39605344
V_i / w^2	13.36131599	12.831581	12.87428488	3.82458024	4.44836777
Dx_i / w^2	0.060057606	0.13090778	0.13492172	0.10774874	0.07064265
x_i / w^2	0.06005761	0.19096539	0.32588712	0.43363585	0.5042785
w^2	16.6506802	16.6501655	16.6496068	16.6494525	16.6496358

$W_1 = 16.650$
 $W_1 = 4.080 \text{ rad/seg}$
 $T_1 = 2\pi \cdot \omega_1 = 1.540 \text{ seg}$

Primer Modo de Vibración



TESIS CON
FALLA DE ORIGEN

SEGUNDO MODO DE VIBRACION

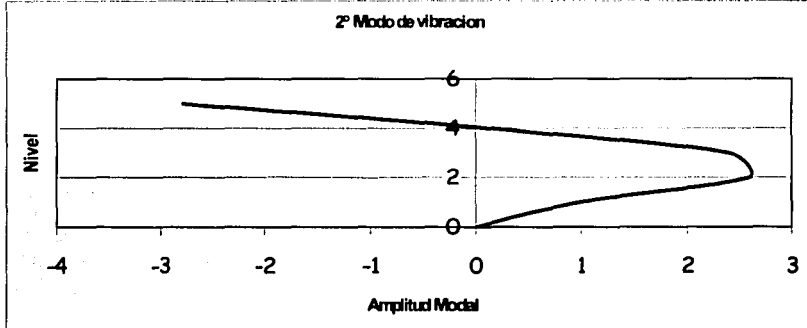
SENTIDO TRANSVERSAL

w ² supuesta	k _i (ton - cm)	m ₁	m ₂	m ₃	m ₄	m ₅	Residuo
	m _i (ton-s ² /cm)	0.52973496	0.52973496	0.52973496	0.52973496	0.52973496	
124.7669	x	1.000	2.595	2.412	0.138	-2.279	
	Dx	1.000	1.595	-0.183	-2.274	-2.917	
	V	222.475	156.382	-15.158	-174.571	-183.711	
	F	66.093	171.539	159.414	9.140	-183.712	
							0.000

$$W_1^2 = 124.767$$

$$W_1 = 11.170 \text{ rad/seg}$$

$$T_1 = 2\pi/\omega_1 = 0.562 \text{ seg}$$



**TESIS CON
FALLA DE ORIGEN**

TERCER MODO DE VIBRACION

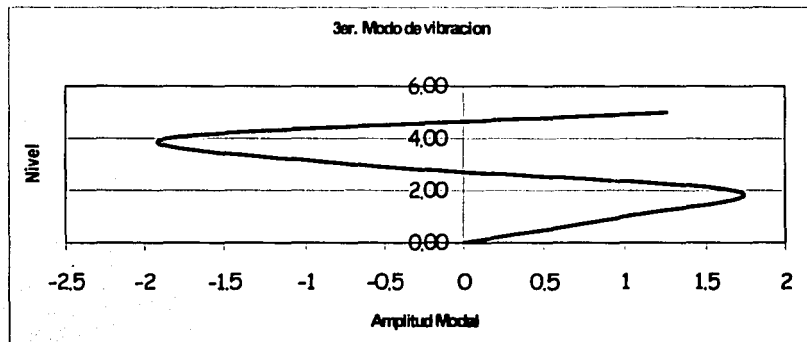
SENTIDO TRANSVERSAL

w ² supuesta	k _i (ton - cm)	m ₁	m ₂	m ₃	m ₄	m ₅	Residuo
	m _i (ton-s ² /cm)	0.52973496	0.52973496	0.52973496	0.52973496	0.52973496	
292.8793	x	1.000	1.687	-0.666	-1.852	1.265	
	Dx	1.000	0.687	-2.353	-1.186	3.117	
	V	222.475	67.327	-194.388	-91.070	196.272	
	F	155.148	261.715	-103.318	-287.342	196.272	
							0.000

$$W_2^2 = 292.879$$

$$W_2 = 17.114 \text{ rad/seg}$$

$$T_2 = 2\pi/\omega_2 = 0.367 \text{ seg}$$

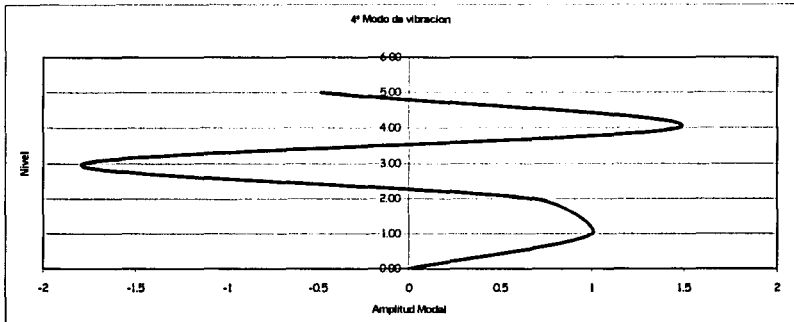


CUARTO MODO DE VIBRACION

SENIDO TRANSVERSAL

w^3 supuesto	ki (ton - cm)	222.475	m1	98.02	m2	82.62	m3	76.78	m4	62.97	m5	Residuo
	mi (ton-s ² /cm)	0.52973496		0.52973496		0.52973496		0.52973496		0.52981651		
479.301	x	1.000		0.679		-1.789		1.471		-0.485		-0.003
	Dx	1.000		-0.321		-2.468		3.260		-1.956		
	V	222.475		-31.427		-203.923		250.265		-123.144		
	F	253.902		172.495		-454.187		373.408		-123.140		

W1° = 479.301
 W1 = 21.893 rad/seg
 TI = $2\pi / \omega_1$ = 0.287 seg

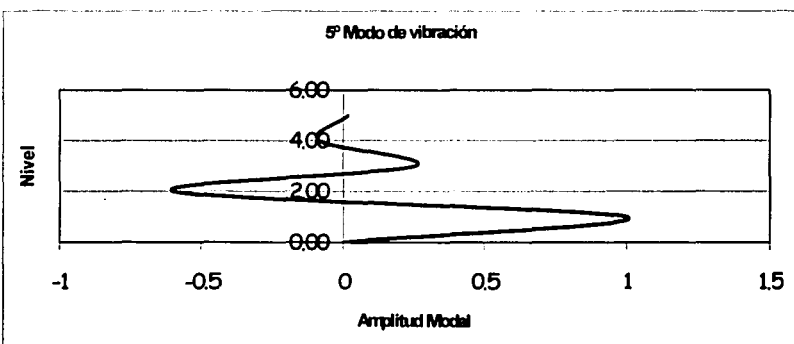


**TESIS CON
FALLA DE ORIGEN**

QUINTO MÓDULO DE VIBRACIÓN

SENTIDO TRANSVERSAL

$$\begin{aligned} W_1^2 &= 715.983 \\ W_1 &= 26.758 \text{ rad/sec} \\ \Pi = 2\pi / \omega_1 &= 0.235 \text{ sec} \end{aligned}$$



SENTIDO TRANSVERSAL

Terreno tipo II

Zona B

$$Q = 2$$

$$c = 0.2$$

$$\alpha_0 = 0.08$$

$$T_1 = 0.5$$

$$T_2 = 2$$

$$r = 2/3$$

1er modo

$$T = 1.540 \rightarrow T_1 = 0.5$$

$$Q' = Q = 2$$

2º modo

$$T = 0.562 \rightarrow T_1 = 0.5$$

$$Q' = Q = 2$$

3er modo

$$T = 0.367 \leftarrow T_1 = 0.5$$

$$Q' = 1 + (Q-1)T/T_1$$

$$Q' = 1.73427$$

4º modo

$$T = 0.287 \leftarrow T_1 = 0.5$$

$$Q' = 1 + (Q-1)T/T_1$$

$$Q' = 1.57398$$

5º modo

$$T = 0.235 \leftarrow T_1 = 0.5$$

$$Q' = 1 + (Q-1)T/T_1$$

$$Q' = 1.46962$$

SEUDOACELERACIONES

1er modo

$$T = 1.540 \rightarrow T_1 = 0.5$$

$$A = C \quad A_1 = 0.2$$

$$A_1 = 196.2 \text{ cm/seg}^2$$

$$A_{1inel} = 98.10 \text{ cm/seg}^2$$

2º modo

$$T = 0.562 \rightarrow T_1 = 0.5$$

$$A_2 = 0.2 \text{ cm/seg}^2$$

$$A_{2inel} = 98.10 \text{ cm/seg}^2$$

3er modo

$$T = 0.367 \leftarrow T_1 = 0.5$$

$$A_3 = 0.16811$$

$$A_3 = 164.9 \text{ cm/seg}^2$$

$$A_{3inel} = 95.09 \text{ cm/seg}^2$$

4º modo

$$T = 0.287 \leftarrow T_1 = 0.5$$

$$A_4 = 0.14888$$

$$A_4 = 146.0 \text{ cm/seg}^2$$

$$A_{4inel} = 92.79 \text{ cm/seg}^2$$

5º modo

$$T = 0.235 \leftarrow T_1 = 0.5$$

$$A_5 = 0.13635$$

$$A_5 = 133.8 \text{ cm/seg}^2$$

$$A_{5inel} = 91.02 \text{ cm/seg}^2$$

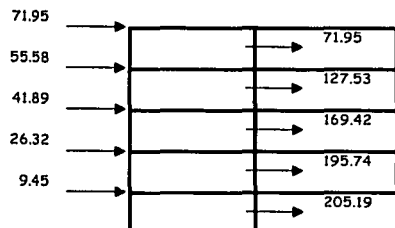
**COEFICIENTES DE PARTICIPACION
SENTIDO TRANSVERSAL**

1er modo		2º modo	
13.361 $\Gamma =$	0.155	1.783 $\Gamma =$	0.158
86.442		11.282	
3er modo		4º modo	
0.760 $\Gamma =$	0.154	0.464 $\Gamma =$	0.124
4.937		3.740	
5º modo			
0.311 $\Gamma =$	0.409		
0.759			

Analisis sismico modal espectral

Sentido Transversal

I' Aj wj ²	MODO 1		MODO 2		MODO 3		MODO 4		MODO 5		$(\sum U_{max}^2)^{0.5}$
	a	Umax									
	1.0000	0.9107	1.0000	0.1243	1.0000	0.0500	1.0000	0.0240	1.0000	0.0520	0.9223
1	1.0000	0.9107	1.0000	0.1243	1.0000	0.0500	1.0000	0.0240	1.0000	0.0520	0.9223
2	3.1796	2.8957	2.5954	0.3225	1.6869	0.0843	0.6794	0.0163	-0.5997	-0.0312	2.9150
3	5.4259	4.9414	2.4119	0.2997	-0.6659	-0.0333	-1.7888	-0.0430	0.2555	0.0133	4.9508
4	7.2198	6.5751	0.1383	0.0172	-1.8520	-0.0925	1.4707	0.0353	-0.0864	-0.0045	6.5759
5	8.3961	7.6464	-2.7791	-0.3454	1.2649	0.0632	-0.4849	-0.0117	0.0173	0.0009	7.6544
nivel	Δ rel	$(\sum \Delta rel^2)^{0.5}$									
1	0.9107	0.1243	0.0500	0.0240	0.0520	0.9223					
2	1.9850	0.1983	0.0343	-0.0077	-0.0833	1.9969					
3	2.0457	-0.0228	-0.1175	-0.0593	0.0445	2.0506					
4	1.6337	-0.2825	-0.0593	0.0783	-0.0178	1.6610					
5	1.0712	-0.3625	0.1557	-0.0470	0.0054	1.1426					
K (ton/cm ²)	entrepiro	V= KD rel	$(\sum V^2)^{0.5}$								
222.475	1	202.6102	27.6467	11.1148	5.3459	11.5797	205.1864				
98.02	2	194.5686	19.4333	3.3636	-0.7552	-8.1617	195.7373				
82.62	3	169.0171	-1.8836	-9.7116	-4.9001	3.6779	169.4171				
76.78	4	125.4377	-21.6937	-4.5498	6.0136	-1.3667	127.5303				
62.97	5	67.4551	-22.8295	9.8057	-2.9590	0.3399	71.9472				



**TESIS CON
FALLA DE ORIGEN**

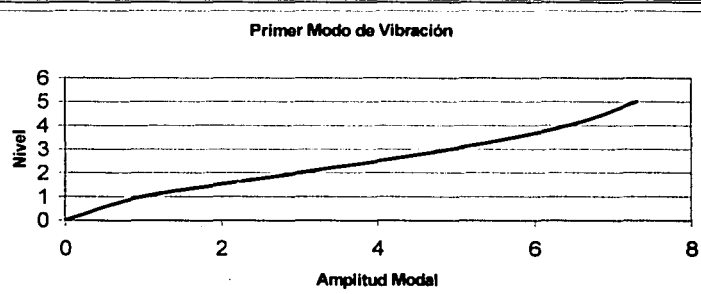
PRIMER MODO DE VIBRACION

SENTIDO LONGITUDINAL

ki (ton - cm)	292.76	140.32	124	119.92	106.32
mi (ton-s ² /cm)	0.529734964	0.529734964	0.529734964	0.529734964	0.529816514
xi	1	2	3	4	5
Fi / w ²	0.529734964	1.059469929	1.589204893	2.118939857	2.649082569
Vi / w ²	7.946432212	7.416697248	6.357227319	4.768022426	0.024916126
Dxi / w ²	0.027143162	0.052855596	0.051267962	0.039760027	0.195942874
xi / w ²	0.027143162	0.07998758	0.131266721	0.171026748	25.5176412
w ²	36.84169099	25.000038798	22.85423132	23.38815452	
ki (ton - cm)	292.76	140.32	124	119.92	106.32
mi (ton-s ² /cm)	0.529734964	0.529734964	0.529734964	0.529734964	0.529816514
xi	1	2	3	4	5
Fi / w ²	0.529734964	2.947289539	4.836087962	6.300914587	7.21886682
Vi / w ²	11.81535178	1.561282319	2.561844884	3.337814764	3.824674852
Dxi / w ²	0.040358491	0.080427714	0.078422052	0.059727232	0.03597324
xi / w ²	0.040358491	0.120786205	0.199208257	0.258935489	0.294908729
w ²	24.77793344	24.40087876	24.2765437	24.33391659	24.47830844
ki (ton - cm)	292.76	140.32	124	119.92	106.32
mi (ton-s ² /cm)	0.529734964	0.529734964	0.529734964	0.529734964	0.529816514
xi	1	2	3	4	5
Fi / w ²	0.529734964	2.992832542	4.935968937	6.415886306	7.307228847
Vi / w ²	12.00010815	1.58540804	2.614755329	3.398719304	3.871490513
Dxi / w ²	0.040989576	0.081744393	0.079717461	0.060625499	0.036413568
xi / w ²	0.040989576	0.122733968	0.202451429	0.263076928	0.299490496
w ²	24.3964468	24.38471259	24.38100318	24.38787147	24.39886726
ki (ton - cm)	292.76	140.32	124	119.92	106.32
mi (ton-s ² /cm)	0.529734964	0.529734964	0.529734964	0.529734964	0.529816514
xi	1	2	3	4	5
Fi / w ²	0.529734964	2.994272728	4.93909552	6.418142276	7.306503942
Vi / w ²	12.00333833	1.586170956	2.616411589	3.399914369	3.871106446
Dxi / w ²	0.041000609	0.081767413	0.079737358	0.060632262	0.036409955
xi / w ²	0.041000609	0.122768022	0.20250538	0.263137642	0.299547597
w ²	24.38988155	24.38967967	24.38994717	24.39081781	24.39179622
ki (ton - cm)	292.76	140.32	124	119.92	106.32
mi (ton-s ² /cm)	0.529734964	0.529734964	0.529734964	0.529734964	0.529816514
xi	1	2	3	4	5
Fi / w ²	0.529734964	2.994272728	4.93909552	6.418142276	7.306503942
Vi / w ²	12.00333833	1.586170956	2.616411589	3.399914369	3.871106446
Dxi / w ²	0.041000609	0.081767413	0.079737358	0.060632262	0.036409955
xi / w ²	0.041000609	0.122768022	0.20250538	0.263137642	0.299547597
w ²	24.38988155	24.38967967	24.38994717	24.39081781	24.39179622

Primer Modo de Vibración

W1² = 24.390
 W1 = 4.939 rad/seg
 TI=2π / ω1 = 1.272 seg



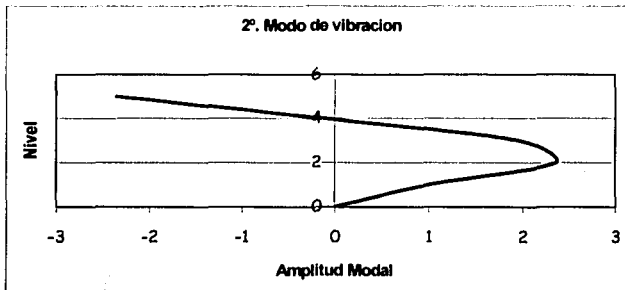
**TESIS CON
FALLA DE ORIGEN**

SEGUNDO MODO DE VIBRACION

SENTIDO LONGITUDINAL

w^* supuesto	k_i (ton - cm)	292.76	m_i (ton-s ² /cm)	0.529735	140.32	m_i	0.529735	124	m_i	0.529735	119.92	m_i	0.529735	106.32	m_i	0.529817	Residuo
	x	1.000			2.363		-0.393	1.970		-2.074		-0.105		-2.240		-2.344	
191.7087	Dx	1.000			1.363		-48.732		239.937		200.026		-248.758		-238.122		0.000
	V	292.760			191.205												
	F		101.555														-238.122

$W_1^* = 191.709$
 $W_1 = 13.846 \text{ rad/seg}$
 $T_1 = 2\pi/\omega_1 = 0.454 \text{ seg}$

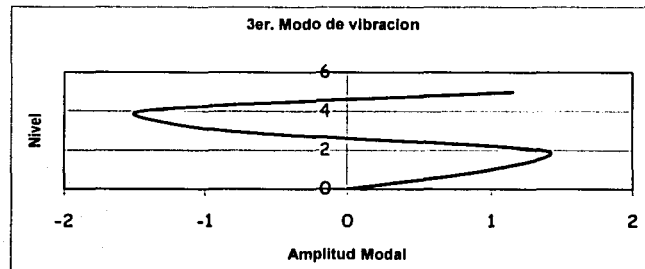


TERCER MODO DE VIBRACION

SENTIDO LONGITUDINAL

w^* supuesto	k_i (ton - cm)	292.76	m_i (ton-s ² /cm)	0.529735	140.32	m_i	0.529735	124	m_i	0.529735	119.92	m_i	0.529735	106.32	m_i	0.529817	Residuo
	x	1.000			1.377		-2.237	-0.860		-0.593		-1.453		2.609		1.156	
452.807	Dx	1.000			0.377		52.892		330.284		-277.391		-71.084		277.408		0.000
	V	292.760															
	F		239.868														277.408

$W_1^* = 452.807$
 $W_1 = 21.279 \text{ rad/seg}$
 $T_1 = 2\pi/\omega_1 = 0.295 \text{ seg}$



CUARTO MODO DE VIBRACION

SENTIDO LONGITUDINAL

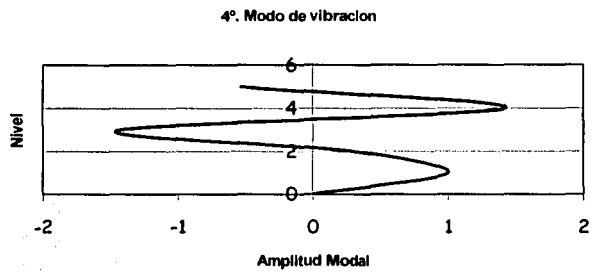
w^2 supuesto	ki (ton - cm)	292.76	140.32	124	119.92	106.32	Residuo
	mi (ton-s ² /cm)	0.529735	0.529735	0.529735	0.529735	0.529817	
733.578	X	1.000	0.317	-1.449	2.870	1.421	-0.535
	Dx	1.000	-0.683	-1.766		-1.956	
	V	292.760	-95.842	-219.019	344.185	+207.945	
	F	388.602	123.178	-563.205	552.131	-207.947	

$$W1^2 = 733.578$$

$$W1 = 27.085 \text{ rad/seg}$$

$$T1 = 2\pi/w1 = 0.232 \text{ seg}$$

4º. Modo de vibracion



TESIS CON
FALLA DE ORIGEN

QUINTO MODO DE VIBRACION

SENTIDO LONGITUDINAL

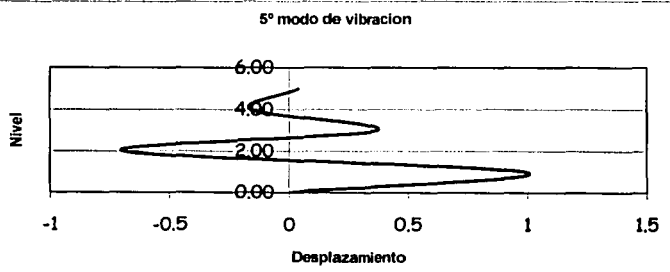
w^2 supuesto	ki (ton - cm)	292.76	140.32	124	119.92	106.32	Residuo
	mi (ton-s ² /cm)	0.529735	0.529735	0.529735	0.529735	0.5298165	
1002.234	X	1.000	-0.697	1.065	0.367	-0.158	0.040
	Dx	1.000	-1.697		-0.526		-0.002
	V	292.760	-238.159	132.026	-63.073	21.069	
	F	530.919	-370.185	195.099	-84.142	21.071	

$$W1^2 = 1002.234$$

$$W1 = 31.658 \text{ rad/seg}$$

$$T1 = 2\pi/w1 = 0.198 \text{ seg}$$

5º modo de vibracion



SENTIDO LONGITUDINAL

Terreno tipo II

Zona B

$Q = 2$	$T_1 = 0.5$
$c = 0.2$	$T_2 = 2$
$a_0 = 0.08$	$r = 2/3$

1er modo

$$T = 1.272 \rightarrow T_1=0.5$$

$$Q' = Q = 2$$

2º modo

$$T = 0.454 \leftarrow T_1=0.5$$

$$Q' = 1 + (Q-1)T/T_1$$

$$Q' = 1.908$$

3er modo

$$T = 0.295 \leftarrow T_1=0.5$$

$$Q' = 1 + (Q-1)T/T_1$$

$$Q' = 1.591$$

4º modo

$$T = 0.232 \leftarrow T_1=0.5$$

$$Q' = 1 + (Q-1)T/T_1$$

$$Q' = 1.464$$

5º modo

$$T = 0.198 \leftarrow T_1=0.5$$

$$Q' = 1 + (Q-1)T/T_1$$

$$Q' = 1.397$$

SEUDOACELERACIONES

1er modo

$$T = 1.272 \rightarrow T_1=0.5$$

$$A_1 = C \quad A_1 = 0.2$$

$$A_1 = 196.2 \text{ cm/seg}^2$$

$$A_{1inel} = 98.10 \text{ cm/seg}^2$$

2º modo

$$T = 0.454 \rightarrow T_1=0.5$$

$$A_2 = 0.1889$$

$$A_2 = 185.3 \text{ cm/seg}^2$$

$$A_{2inel} = 97.15 \text{ cm/seg}^2$$

3er modo

$$T = 0.295 \leftarrow T_1=0.5$$

$$A_3 = 0.1509$$

$$A_3 = 148.0 \text{ cm/seg}^2$$

$$A_{3inel} = 93.05 \text{ cm/seg}^2$$

4º modo

$$T = 0.232 \leftarrow T_1=0.5$$

$$A_4 = 0.1357$$

$$A_4 = 133.1 \text{ cm/seg}^2$$

$$A_{4inel} = 90.92 \text{ cm/seg}^2$$

5º modo

$$T = 0.198 \leftarrow T_1=0.5$$

$$A_5 = 0.1276$$

$$A_5 = 125.2 \text{ cm/seg}^2$$

$$A_{5inel} = 89.63 \text{ cm/seg}^2$$

**COEFICIENTES DE PARTICIPACION
SENTIDO LONGITUDINAL**

1er modo

12.003 $\Gamma = 0.1757$
68.307

2º modo

1.5271 $\Gamma = 0.1805$
8.4596

3er modo

0.6465 $\Gamma = 0.1723$
3.7525

4º modo

0.3991 $\Gamma = 0.1368$
2.9167

5º modo

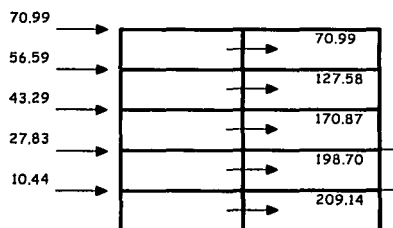
0.2921 $\Gamma = 0.3346$
0.8729

**TESIS CON
FALLA DE ORIGEN**

Análisis sísmico modal espectral

Sentido Longitudinal

		MODO 1		MODO 2		MODO 3		MODO 4		MODO 5			
I'	0.1757		0.1805		0.1723		0.1368		0.3346				
A_j	98.10		97.15		93.05		90.92		89.63				
wj^2	24.3904		191.7087		452.8070		733.5777		1002.2344				
nivel	a	U_{max}	a	U_{max}	a	U_{max}	a	U_{max}	a	U_{max}	$(\sum U_{max}^2)^{0.5}$		
1	1.0000	0.7068	1.0000	0.0915	1.0000	0.0354	1.0000	0.0170	1.0000	0.0299	0.7144		
2	2.9943	2.1163	2.3626	0.2161	1.3769	0.0488	0.3170	0.0054	-0.6973	-0.0209	2.1280		
3	4.9391	3.4909	1.9696	0.1802	-0.8601	-0.0305	-1.4493	-0.0246	0.3675	0.0110	3.4957		
4	6.4181	4.5362	-0.1047	-0.0096	-1.4529	-0.0514	1.4208	0.0241	-0.1585	-0.0047	4.5366		
5	7.3065	5.1641	-2.3444	-0.2145	1.1563	0.0409	-0.5350	-0.0091	0.0397	0.0012	5.1687		
nivel	Δ_{rel}	Δ_{rel}	Δ_{rel}	Δ_{rel}	Δ_{rel}	Δ_{rel}	Δ_{rel}	Δ_{rel}	Δ_{rel}	Δ_{rel}	$(\sum \Delta_{rel}^2)^{0.5}$		
1	0.7068	0.0915	0.0354	0.0170	0.0299	0.7144							
2	1.4095	0.1247	0.0133	-0.0116	-0.0508	1.4160							
3	1.3746	-0.0360	-0.0792	-0.0300	0.0319	1.3780							
4	1.0454	-0.1898	-0.0210	0.0487	-0.0157	1.0639							
5	0.6279	-0.2049	0.0924	-0.0332	0.0059	0.6677							
K (ton/cm ²)	entrepisos	$V = K \Delta_{rel}$	$(\sum V^2)^{0.5}$										
292.76	1	206.9172	26.7811	10.3654	4.9645	8.7610					209.1430		
140.32	2	197.7830	17.4910	1.8727	-1.6253	-7.1270					198.6983		
124	3	170.4459	-4.4579	-9.8212	-3.7141	3.9510					170.8729		
119.92	4	125.3598	-22.7559	-2.5168	5.8366	-1.8875					127.5809		
106.32	5	66.7559	-21.7829	9.8218	-3.5263	0.6305					70.9940		



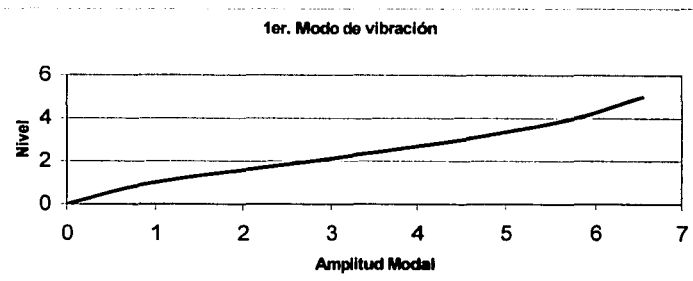
2.6 ANÁLISIS SÍSMICO MODAL ESPECTRAL EDIFICIO DE ACERO

PRIMER MODO DE VIBRACIÓN SENTIDO TRANSVERSAL

k_i (ton - cm)	150	79.62	72.35	71.538	62.5
m_i (ton-s ² /cm)	m1 0.406330275	m2 0.406330275	m3 0.406330275	m4 0.406330275	m5 0.425343527
x_i	1	2	3	4	5
F_i / w^2	0.406330275	0.81266059	1.218990826	1.625321101	2.126717635
V_i / w^2	6.190020387	5.783690112	4.971029562	3.752038736	2.126717635
Dxi / w^2	0.041266803	0.072641172	0.06870808	0.052448192	0.034027482
xi / w^2	0.041266803	0.113907975	0.182616054	0.235064246	0.269091728
w^2	24.23255347	17.55803321	16.42790944	17.01662448	18.58102453
k_i (ton - cm)	150	79.62	72.35	71.538	62.5
m_i (ton-s ² /cm)	m1 0.406330275	m2 0.406330275	m3 0.406330275	m4 0.406330275	m5 0.425343527
x_i	1	2	3	4	5
F_i / w^2	0.406330275	2.760281064	4.425253297	5.696205906	6.520779687
V_i / w^2	8.414143189	1.121585772	1.79811439	2.31454132	2.773571431
Dxi / w^2	0.056094288	0.00575395	0.095179366	0.071124616	0.044377143
xi / w^2	0.056094288	0.156669682	0.251849049	0.322973664	0.367350807
w^2	17.82712709	17.61847628	17.57105425	17.63675351	17.75082445
k_i (ton - cm)	150	79.62	72.35	71.538	62.5
m_i (ton-s ² /cm)	m1 0.406330275	m2 0.406330275	m3 0.406330275	m4 0.406330275	m5 0.425343527
x_i	1	2	3	4	5
F_i / w^2	0.406330275	2.792970341	4.489744998	5.75769256	6.548809526
V_i / w^2	8.490536547	1.134868407	1.824319321	2.339524802	2.785493742
Dxi / w^2	0.056603577	0.0101534869	0.096051664	0.125018544	0.0445679
xi / w^2	0.056603577	0.158138446	0.25419011	0.325830616	0.370398516
w^2	17.66672803	17.66155171	17.66294135	17.67081507	17.68044213
k_i (ton - cm)	150	79.62	72.35	71.538	62.5
m_i (ton-s ² /cm)	m1 0.406330275	m2 0.406330275	m3 0.406330275	m4 0.406330275	m5 0.425343527
x_i	1	2	3	4	5
F_i / w^2	0.406330275	2.793788917	4.490707535	5.756360877	6.543729842
V_i / w^2	8.488558554	1.135201019	1.824710429	2.338983699	2.783333131
Dxi / w^2	0.05659039	0.101510026	0.096019727	0.12231683	0.04453333
xi / w^2	0.05659039	0.158100416	0.254120144	0.325722884	0.370256214
w^2	17.67084471	17.67097759	17.67159215	17.67257126	17.67351795
k_i (ton - cm)	150	79.62	72.35	71.538	62.5
m_i (ton-s ² /cm)	m1 0.406330275	m2 0.406330275	m3 0.406330275	m4 0.406330275	m5 0.425343527
x_i	1	2	3	4	5
F_i / w^2	0.406330275	2.793788917	4.490707535	5.756360877	6.543729842
V_i / w^2	8.488558554	1.135201019	1.824710429	2.338983699	2.783333131
Dxi / w^2	0.05659039	0.101510026	0.096019727	0.12231683	0.04453333
xi / w^2	0.05659039	0.158100416	0.254120144	0.325722884	0.370256214
w^2	17.67084471	17.67097759	17.67159215	17.67257126	17.67351795

TESTIS CON
FALLA DE ORIGEN

$W_1^2 = 17.672$
 $W_1 = 4.204 \text{ rad/seg}$
 $T_1=2\pi/w_1 = 1.495 \text{ seg}$



SEGUNDO MODO DE VIBRACION

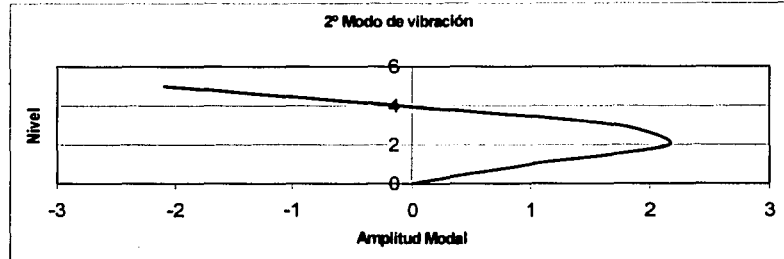
SENTIDO TRANSVERSAL

w ¹ supuesto	k ₁ (ton - cm)	150 m ₁	79.62 0.40633028	72.35 0.40633028	71.538 0.40633028	62.5 0.42534353	Residuo
	m _i (ton-s ² /cm)						
140.8092	X	1.000	1.165	2.165	-0.430	1.735	-0.087
	Dx					-1.823	-2.006
	V	150.000	92.785		-31.015	-130.397	-125.399
	F		57.215	123.890	99.292	-4.998	-125.399

$$Wl^2 = 140.809$$

$$WI = 11.866 \text{ rad/seg}$$

$$TI = 2\pi/\omega_1 = 0.529 \text{ seg}$$



TESIS CON
FALLA DE ORIGEN

TERCER MODO DE VIBRACION

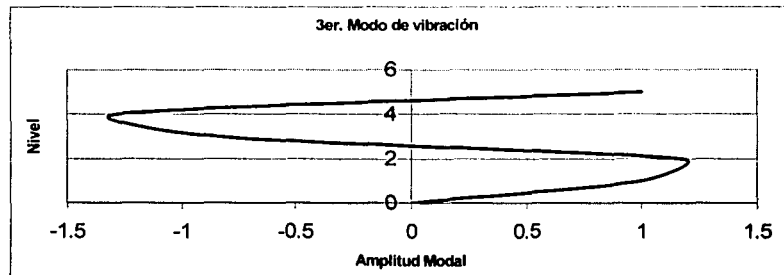
SENTIDO TRANSVERSAL

w ¹ supuesto	k ₁ (ton - cm)	150 m ₁	79.62 0.40633028	72.35 0.40633028	71.538 0.40633028	62.5 0.42534353	Residuo
	m _i (ton-s ² /cm)						
334.717	X	1.000	0.176	1.176	-0.841	-1.282	1.003
	Dx					-0.441	2.285
	V	150.000	13.994	-14.916	-31.529	142.800	142.800
	F		136.006	159.911	-114.387	-174.329	142.800

$$Wl^2 = 334.717$$

$$WI = 18.295 \text{ rad/seg}$$

$$TI = 2\pi/\omega_1 = 0.343 \text{ seg}$$



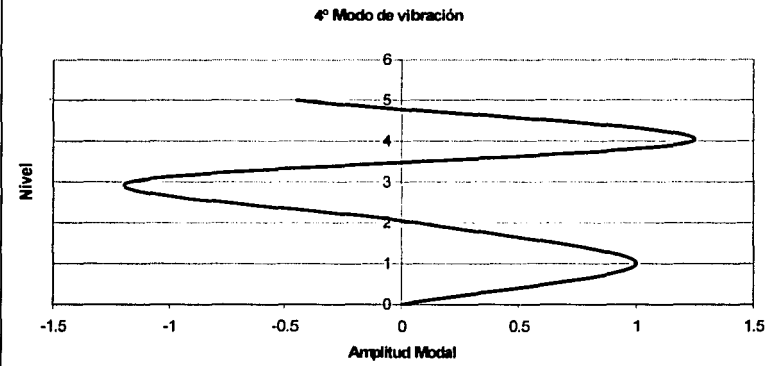
CUARTO MODO DE VIBRACION

SENTIDO TRANSVERSAL

w ² supuesta	k _i (ton - cm)	m _i (ton-s ² /cm)	m ₁	m ₂	m ₃	m ₄	m ₅	Residuo
			150	79.62	72.35	71.538	62.5	
	x		0.40633028	0.40633028	0.40633028	0.40633028	0.42534353	
551.562	Dx	1.000	-0.931	0.069	-1.239	-1.169	1.242	-0.451
	V	150.000	-74.116	-89.609	172.476	241.1	-169.2	0.000
	F		224.116	15.492	-262.085	278.254	-105.777	-105.777

W1²= 551.562
 WI = 23.485 rad/seg
 TI=2π/ω1= 0.268 seg

4º Modo de vibración



TESIS CON
FALLA DE ORIGEN

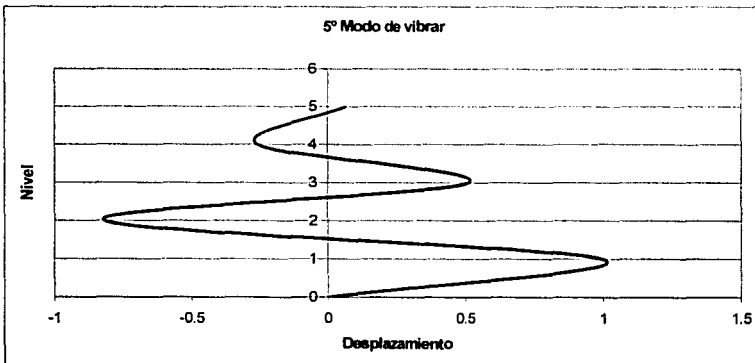
QUINTO MODO DE VIBRACION

SENTIDO TRANSVERSAL

w ² supuesta	k _i (ton - cm)	m _i (ton-s ² /cm)	m ₁	m ₂	m ₃	m ₄	m ₅	Residuo
			150	79.62	72.35	71.538	62.5	
	x		0.40633028	0.40633028	0.40633028	0.40633028	0.42534353	
725.283	Dx	1.000	-1.817	0.817	1.330	0.512	-0.253	0.064
	V	150.000	-144.704	96.198	-54.744	0.769	0.317	0.000
	F		294.704	-240.902	150.942	-74.579	19.835	19.835

W1²= 725.283
 WI = 26.931 rad/seg
 TI=2π/ω1= 0.233 seg

5º Modo de vibrar



SENTIDO TRANSVERSAL

Terreno tipo II

Zona B

$$Q= 2$$

$$c= 0.2$$

$$\alpha_0= 0.08$$

$$T1= 0.5$$

$$T2= 2$$

$$r= 2/3$$

1er modo

$$T= 1.495 \rightarrow T1=0.5$$

$$Q'=Q= 2$$

2º modo

$$T= 0.529 \rightarrow T1=0.5$$

$$Q'=Q= 2$$

3er modo

$$T= 0.343 \rightarrow T1=0.5$$

$$Q'= 1+(Q-1)T/T1$$

$$Q'= 1.6868$$

4º modo

$$T= 0.268 \rightarrow T1=0.5$$

$$Q'= 1+(Q-1)T/T1$$

$$Q'= 1.5351$$

5º modo

$$T= 0.233 \rightarrow T1=0.5$$

$$Q'= 1+(Q-1)T/T1$$

$$Q'= 1.4666$$

SEUDOACELERACIONES

1er modo

$$T= 1.495 \rightarrow T1=0.5$$

$$A=C \quad A1= 0.2$$

$$A1= 196.2 \text{ cm/seg}^2$$

$$A1inel= 98.10 \text{ cm/seg}^2$$

2º modo

$$T= 0.529 \rightarrow T1=0.5$$

$$A2= 0.2$$

$$A2= 196.2 \text{ cm/seg}^2$$

$$A2inel= 98.10 \text{ cm/seg}^2$$

3er modo

$$T= 0.343 \rightarrow T1=0.5$$

$$A3= 0.162422$$

$$A3= 159.3 \text{ cm/seg}^2$$

$$A3inel= 94.46 \text{ cm/seg}^2$$

4º modo

$$T= 0.268 \rightarrow T1=0.5$$

$$A4= 0.144207$$

$$A4= 141.5 \text{ cm/seg}^2$$

$$A4inel= 92.16 \text{ cm/seg}^2$$

5º modo

$$T= 0.233 \rightarrow T1=0.5$$

$$A5= 0.135992$$

$$A5= 133.4 \text{ cm/seg}^2$$

$$A5inel= 90.96 \text{ cm/seg}^2$$

SENTIDO TRANSVERSAL

1er modo

$$8.489 \Gamma = 0.195 \\ 43.449$$

2º modo

$$1.065 \Gamma = 0.197 \\ 5.403$$

3er modo

$$0.448 \Gamma = 0.191 \\ 2.351$$

4º modo

$$0.272 \Gamma = 0.162 \\ 1.677$$

5º modo

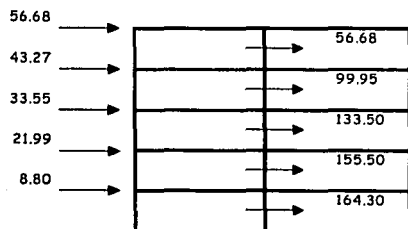
$$0.207 \Gamma = 0.255 \\ 0.812$$

**TESIS CON
FALLA DE ORIGEN**

Análisis sismico modal espectral

Sentido Transversal

		MODO 1		MODO 2		MODO 3		MODO 4		MODO 5		
Γ^*	0.195366093	Aj	0.197165237	w _j ²	0.190618595	Γ^*	0.162191541	Aj	0.254631988	w _j ²	90.96	
nivel	a	Umax	a	Umax	a	Umax	a	Umax	a	Umax	(ΣU_{max}^2) ^{0.5}	
1	1.0000	1.0845	1.0000	0.1374	1.0000	0.0538	1.0000	0.0271	1.0000	0.0319	1.0953	
2	2.7938	3.0299	2.1653	0.2974	1.1758	0.0632	0.0691	0.0019	-0.8174	-0.0261	3.0452	
3	4.4907	4.8702	1.7354	0.2384	-0.8410	-0.0452	-1.1694	-0.0317	0.5122	0.0164	4.8764	
4	5.7564	6.2429	-0.0874	-0.0120	-1.2818	-0.0690	1.2416	0.0336	-0.2531	-0.0081	6.2433	
5	6.5437	7.0968	-2.0937	-0.2876	1.0030	0.0540	-0.4509	-0.0122	0.0643	0.0021	7.1028	
nivel	Δ_{rel}	Δ_{rel}	Δ_{rel}	Δ_{rel}	Δ_{rel}	Δ_{rel}	Δ_{rel}	Δ_{rel}	Δ_{rel}	Δ_{rel}	($\Sigma \Delta_{rel}^2$) ^{0.5}	
1	1.0845		0.1374		0.0538		0.0271		0.0319		1.0953	
2	1.9454		0.1601		0.0095		-0.0252		-0.0580		1.9530	
3	1.8403		-0.0591		-0.1085		-0.0336		0.0425		1.8453	
4	1.3726		-0.2504		-0.0237		0.0653		-0.0244		1.3972	
5	0.8539		-0.2756		0.1229		-0.0459		0.0101		0.9069	
K(ton/cm ²)	entrepiiso	V= K Δ_{rel}	V= K Δ_{rel}	V= K Δ_{rel}	V= K Δ_{rel}	V= K Δ_{rel}	V= K Δ_{rel}	V= K Δ_{rel}	V= K Δ_{rel}	V= K Δ_{rel}	(ΣV^2) ^{0.5}	
150.00	1	162.6770		20.6044		8.0689		4.0650		4.7904		164.2953
79.62	2	154.8918		12.7452		0.7528		-2.0085		-4.6212		155.4988
72.35	3	133.1480		-4.2727		-7.8493		-2.4284		3.0721		133.5050
71.54	4	98.1943		-17.9117		-1.6960		4.6741		-1.7483		99.9537
62.50	5	53.3695		-17.2252		7.6816		-2.8665		0.6334		56.6801



PRIMER MODO DE VIBRACION

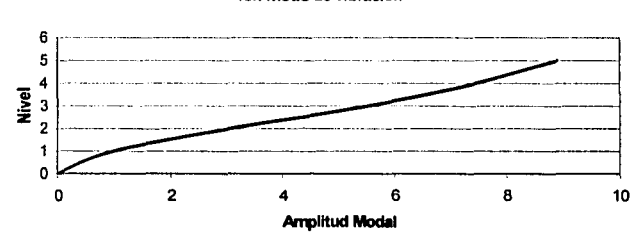
SENTIDO LONGITUDINAL

k_i (ton - cm)	220.00 m1 0.406330275	101.816 m2 0.406330275	76.922 m3 0.406330275	72 m4 0.406330275	53.572 m5 0.425343527
x_i	1	2	3	4	5
F_i / w^2	0.406330275	0.81266055	1.218990826	1.625321101	2.126717635
V_i / w^2	6.190020387	5.783690112	4.971029562	3.752038736	2.126717635
Dxi / w^2	0.028136456	0.056805317	0.064624289	0.052111649	0.039698306
xi / w^2	0.028136456	0.084941773	0.149566062	0.201677711	0.241376017
w^2	35.54107842	23.5455105	20.05802628	19.83362455	20.71456836
k_i (ton - cm)	220 m1 0.406330275	101.816 m2 0.406330275	76.922 m3 0.406330275	72 m4 0.406330275	53.572 m5 0.425343527
x_i	1	2	3	4	5
F_i / w^2	0.406330275	3.018922211	5.315739135	7.167843343	8.57876394
V_i / w^2	10.35438898	1.226679493	2.159945746	2.912511758	3.648921712
Dxi / w^2	0.047065404	0.097706242	0.113379517	0.09113102	0.068112479
xi / w^2	0.047065404	0.144771646	0.258151163	0.349282184	0.417394663
w^2	21.24702871	20.85299359	20.59157537	20.52164031	20.55312325
k_i (ton - cm)	220 m1 0.406330275	101.816 m2 0.406330275	76.922 m3 0.406330275	72 m4 0.406330275	53.572 m5 0.425343527
x_i	1	2	3	4	5
F_i / w^2	0.406330275	3.075967323	5.484945178	7.421208565	8.868396377
V_i / w^2	10.67246493	1.249858649	2.228699284	3.015461727	3.772114994
Dxi / w^2	0.048511204	10.26613465	9.016276005	6.787576721	0.070412062
xi / w^2	0.048511204	0.100830269	0.117213229	0.094271899	0.431238663
w^2	20.61379461	0.149341473	0.266554702	0.360826601	20.56493801
20.5687279	20.5771841	20.5771841	20.56724354		
k_i (ton - cm)	220 m1 0.406330275	101.816 m2 0.406330275	76.922 m3 0.406330275	72 m4 0.406330275	53.572 m5 0.425343527
x_i	1	2	3	4	5
F_i / w^2	0.406330275	3.078494452	5.494703881	7.438005442	8.89465623
V_i / w^2	10.69324361	1.250885498	2.23266454	3.022286799	3.781076494
Dxi / w^2	0.048605653	10.28691333	9.036027833	6.803363293	0.070579342
xi / w^2	0.048605653	0.10103435	0.117470006	0.094491157	0.432180507
w^2	20.57373872	0.149640002	0.267110009	0.361601166	20.56963902
20.57267045	20.5709397	20.5709397	20.56963902		
k_i (ton - cm)	220 m1 0.406330275	101.816 m2 0.406330275	76.922 m3 0.406330275	72 m4 0.406330275	53.572 m5 0.425343527
x_i	1	2	3	4	5
F_i / w^2	0.406330275	3.078494452	5.494703881	7.438005442	8.89465623
V_i / w^2	10.69324361	1.250885498	2.23266454	3.022286799	3.781076494
Dxi / w^2	0.048605653	10.28691333	9.036027833	6.803363293	0.070579342
xi / w^2	0.048605653	0.10103435	0.117470006	0.094491157	0.432180507
w^2	20.57373872	0.149640002	0.267110009	0.361601166	20.56963902
20.57267045	20.5709397	20.5709397	20.56963902		

1er. Modo de vibración

$W_1^2 =$
 $W_1 =$
 $T_1 = 2\pi/w_1 =$

20.571
4.536 rad/seg
1.385 seg



**TESIS CON
FALLA DE ORIGEN**

SEGUNDO MODO DE VIBRACION

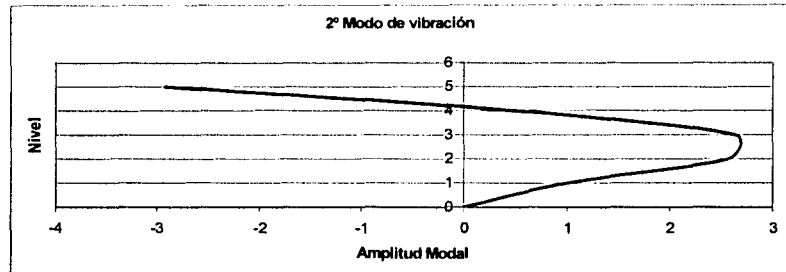
SENTIDO LONGITUDINAL

w ² supuesta	k _i (ton - cm)	m ₁	220.00	m ₂	101.82	m ₃	76.922	m ₄	72	m ₅	53.572	Residuo
	mi (ton-s ² /cm)											
	x		1.000		2.570		2.640		0.511		-2.925	
147.9399	Dx	1.000		1.570		0.070		-2.130		-3.435		0.000
	V	220.000		159.888		5.377		-153.336		-184.029		
	F		60.112		154.511		158.713		30.693		-184.029	

$$W_1^2 = 147.940$$

$$W_1 = 12.163 \text{ rad/seg}$$

$$T_1 = 2\pi/\omega_1 = 0.317 \text{ seg}$$



TESIS CON
FALLA DE ORIGEN

TERCER MODO DE VIBRACION

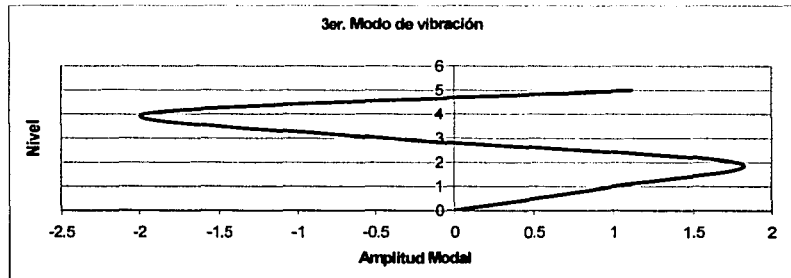
SENTIDO LONGITUDINAL

w ² supuesta	k _i (ton - cm)	m ₁	220.00	m ₂	101.82	m ₃	76.922	m ₄	72	m ₅	53.572	Residuo
	mi (ton-s ² /cm)											
	x		1.000		1.782		-0.434		-1.556		3.079	
345.3933	Dx	1.000		0.782		-2.216		-1.522		164.922		0.000
	V	220.000		79.656		-170.486		109.578		-274.499		164.922
	F		140.344		250.142		-60.909					

$$W_1^2 = 345.393$$

$$W_1 = 18.585 \text{ rad/seg}$$

$$T_1 = 2\pi/\omega_1 = 0.338 \text{ seg}$$

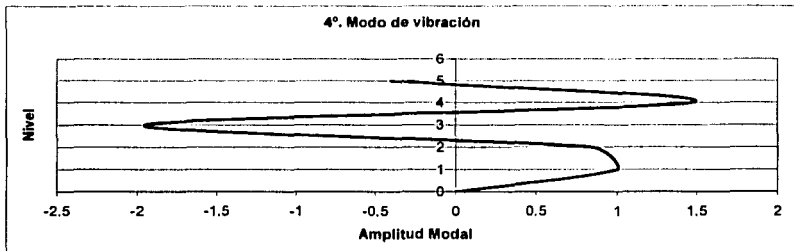


CUARTO MODO DE VIBRACION

SENTIDO LONGITUDINAL

w^* supuesta	k_i (ton - cm)	220.00	101.82	76.922	72	53.572	Residuo
	m_i (ton-s ² /cm)	0.40633028	0.40633028	0.40633028	0.40633028	0.42534353	
581.264	x	1.000	-0.159	0.841	-1.952	1.467	-0.406
	Dx			-2.793		-1.873	
	V	220.000	-16.185	-214.825	246.145	-100.326	
	F	236.185	198.640	-460.970	346.471	-100.326	

$W1^* = 581.264$
 $W1 = 24.109 \text{ rad/seg}$
 $T1=2\pi/\omega_1 = 0.261 \text{ seg}$



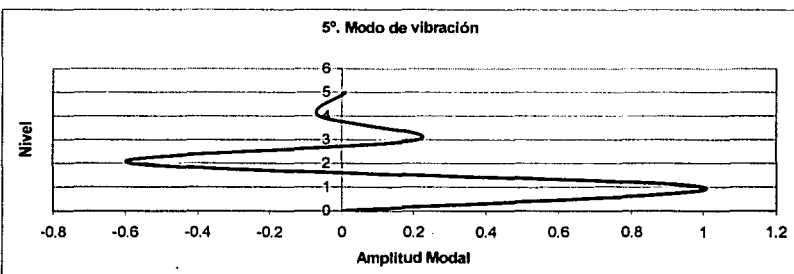
TESIS CON
FALLA DE ORIGEN

QUINTO MODO DE VIBRACION

SENTIDO LONGITUDINAL

w^* supuesta	k_i (ton - cm)	220.00	101.82	76.922	72	53.572	Residuo
	m_i (ton-s ² /cm)	0.40633028	0.40633028	0.40633028	0.40633028	0.42534353	
938.217	x	1.000	-1.584	0.796	0.212	-0.274	0.071
	Dx						0.010
	V	220.000	-161.226	61.220	-19.742	3.825	
	F	381.226	-222.446	80.962	-23.567	3.826	

$W1^* = 938.217$
 $W1 = 30.630 \text{ rad/seg}$
 $T1=2\pi/\omega_1 = 0.205 \text{ seg}$



SENTIDO LONGITUDINAL

Terreno tipo II

Zona B

$$\begin{aligned} Q &= 2 \\ c &= 0.2 \\ \alpha_0 &= 0.08 \end{aligned}$$

$$\begin{aligned} T_1 &= 0.5 \\ T_2 &= 2 \\ r &= 2/3 \end{aligned}$$

1er modo

$$\begin{aligned} T &= 1.385 \rightarrow T_1=0.5 \\ Q' = Q &= 2 \end{aligned}$$

2º modo

$$\begin{aligned} T &= 0.517 \rightarrow T_1=0.5 \\ Q' = Q &= 2 \end{aligned}$$

3er modo

$$\begin{aligned} T &= 0.338 < T_1=0.5 \\ Q' = 1+(Q-1)T/T_1 & \\ Q' &= 1.6761 \end{aligned}$$

4º modo

$$\begin{aligned} T &= 0.261 < T_1=0.5 \\ Q' = 1+(Q-1)T/T_1 & \\ Q' &= 1.5212 \end{aligned}$$

5º modo

$$\begin{aligned} T &= 0.205 < T_1=0.5 \\ Q' = 1+(Q-1)T/T_1 & \\ Q' &= 1.4102 \end{aligned}$$

SEUDOACELERACIONES

1er modo

$$\begin{aligned} T &= 1.385 \rightarrow T_1=0.5 \\ A=C & \\ A_1 &= 196.2 \text{ cm/seg}^2 \\ A_{1inel} &= 98.10 \text{ cm/seg}^2 \end{aligned}$$

2º modo

$$\begin{aligned} T &= 0.517 \rightarrow T_1=0.5 \\ A_2 &= 196.2 \text{ cm/seg}^2 \\ A_{2inel} &= 98.10 \text{ cm/seg}^2 \end{aligned}$$

3er modo

$$\begin{aligned} T &= 0.338 < T_1=0.5 \\ A_3 &= 158.1 \text{ cm/seg}^2 \\ A_{3inel} &= 94.31 \text{ cm/seg}^2 \end{aligned}$$

4º modo

$$\begin{aligned} T &= 0.261 < T_1=0.5 \\ A_4 &= 139.8 \text{ cm/seg}^2 \\ A_{4inel} &= 91.92 \text{ cm/seg}^2 \end{aligned}$$

5º modo

$$\begin{aligned} T &= 0.205 < T_1=0.5 \\ A_5 &= 126.8 \text{ cm/seg}^2 \\ A_{5inel} &= 89.90 \text{ cm/seg}^2 \end{aligned}$$

COEFICIENTES DE PARTICIPACION

SENTIDO LONGITUDINAL

1er modo

10.693 $\Gamma =$ 0.147
72.617

2º modo

1.487 $\Gamma =$ 0.154
9.667

3er modo

0.637 $\Gamma =$ 0.165
3.864

4º modo

0.378 $\Gamma =$ 0.119
3.186

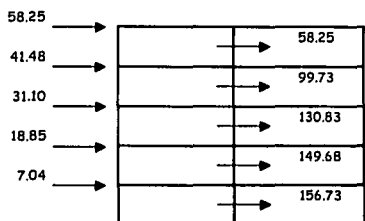
5º modo

0.234 $\Gamma =$ 0.415
0.565

Analisis sismico modal espectral
Sentido Longitudinal

**TESIS CON
FALLA DE ORIGEN**

MODO 1		MODO 2		MODO 3		MODO 4		MODO 5	
Γ	0.1473		0.1538		0.1648		0.1188		0.4153
AJ	98.10		98.10		94.31		91.92		89.90
wj ²	20.5712		147.9399		345.3933		581.2640		938.2168
nivel	a	Umax	a	Umax	a	Umax	a	Umax	$(\Sigma U_{max}^2)^{0.5}$
1	1.0000	0.7022	1.0000	0.1020	1.0000	0.0450	1.0000	0.0188	1.0000
2	3.0785	2.1618	2.5704	0.2622	1.7824	0.0802	0.8410	0.0158	-0.5835
3	5.4947	3.8586	2.6403	0.2693	-0.4340	-0.0195	-1.9517	-0.0367	0.2124
4	7.4380	5.2232	0.5106	0.0521	-1.9559	-0.0880	1.4669	0.0276	-0.0618
5	8.8895	6.2425	-2.9246	-0.2983	1.1226	0.0505	-0.4058	-0.0076	0.0096
nivel	Δ rel	$(\Sigma \Delta rel^2)^{0.5}$							
1	0.7022	0.1020	0.0450	0.0188	0.0398	0.7124			
2	1.4596	0.1602	0.0352	-0.0030	-0.0630	1.4701			
3	1.6968	0.0071	-0.0998	-0.0525	0.0317	1.7008			
4	1.3647	-0.2172	-0.0685	0.0642	-0.0109	1.3851			
5	1.0193	-0.3504	0.1386	-0.0352	0.028	1.0873			
K(ton/cm ²) entrepiso	V= KΔ rel	$(\Sigma V^2)^{0.5}$							
220.00	1	154.4922	22.4407	9.9019	4.1332	8.7547	156.7265		
101.82	2	148.6103	16.3091	3.5852	-0.3041	-6.4158	149.6833		
76.92	3	130.5176	0.5485	-7.6733	-4.0360	2.4362	130.8291		
72.00	4	98.2554	-15.6407	-4.9319	4.6244	-0.7856	99.7251		
53.57	5	54.6043	-18.7716	7.4229	-1.8849	0.1522	58.2467		



2.7 REVISIÓN DE DESPLAZAMIENTOS LATERALES

Comparando los valores obtenidos del análisis sísmico modal espectral y del 80% del sísmico estático, se observa que rige el modal para ambos edificios y ambos sentidos, los desplazamientos son los siguientes:

SENTIDO TRANSVERSAL EDIFICIO DE CONCRETO:

H acumulada	$(\sum U_{max}^2)^{0.5}$	Umax permisible:
300.00 Cm	0.92 Cm	1.80 Cm
620.00 Cm	2.92 Cm	3.72 Cm
940.00 Cm	4.95 Cm	5.64 Cm
1260.00 Cm	6.58 Cm	7.56 Cm
1580.00 Cm	7.65 Cm	9.48 Cm

H entrepiso	$(\sum U_{rel}^2)^{0.5}$	Umax permisible:
300.00 Cm	0.92 Cm	1.80 Cm
320.00 Cm	2.00 Cm	1.92 Cm
320.00 Cm	2.05 Cm	1.92 Cm
320.00 Cm	1.66 Cm	1.92 Cm
320.00 Cm	1.14 Cm	1.92 Cm

$$U_{max} \text{ permisible} = 0.006H$$

/Se acepta!

SENTIDO LONGITUDINAL EDIFICIO DE CONCRETO:

H acumulada	$(\sum U_{max}^2)^{0.5}$	Umax permisible:
300.00 Cm	0.71 Cm	1.80 Cm
620.00 Cm	2.13 Cm	3.72 Cm
940.00 Cm	3.50 Cm	5.64 Cm
1260.00 Cm	4.54 Cm	7.56 Cm
1580.00 Cm	5.17 Cm	9.48 Cm

H entrepiso	$(\sum U_{rel}^2)^{0.5}$	Umax permisible:
300.00 Cm	0.71 Cm	1.80 Cm
320.00 Cm	1.42 Cm	1.92 Cm
320.00 Cm	1.38 Cm	1.92 Cm
320.00 Cm	1.06 Cm	1.92 Cm
320.00 Cm	0.67 Cm	1.92 Cm

$$U_{max} \text{ permisible} = 0.006H$$

/Se acepta!

Del análisis sísmico modal espectral para acero, los desplazamientos son los siguientes:

SENTIDO TRANSVERSAL EDIFICIO DE ACERO:

H acumulada	$(\sum U_{max}^2)^{0.5}$	Umax permisible:
300.00 Cm	1.10 Cm	1.80 Cm
620.00 Cm	3.05 Cm	3.72 Cm
940.00 Cm	4.88 Cm	5.64 Cm
1260.00 Cm	6.24 Cm	7.56 Cm
1580.00 Cm	7.10 Cm	9.48 Cm

H entrepiso	$(\sum \Delta rel^2)^{0.5}$	Umax permisible:
300.00 Cm	1.10 Cm	1.80 Cm
320.00 Cm	1.95 Cm	1.92 Cm
320.00 Cm	1.85 Cm	1.92 Cm
320.00 Cm	1.40 Cm	1.92 Cm
320.00 Cm	0.91 Cm	1.92 Cm

Umax permisible= 0.006H

(Se acepta)

SENTIDO LONGITUDINAL EDIFICIO DE ACERO:

H acumulada	$(\sum U_{max}^2)^{0.5}$	Umax permisible:
300.00 Cm	0.71 Cm	1.80 Cm
620.00 Cm	2.18 Cm	3.72 Cm
940.00 Cm	3.87 Cm	5.64 Cm
1260.00 Cm	5.22 Cm	7.56 Cm
1580.00 Cm	6.25 Cm	9.48 Cm

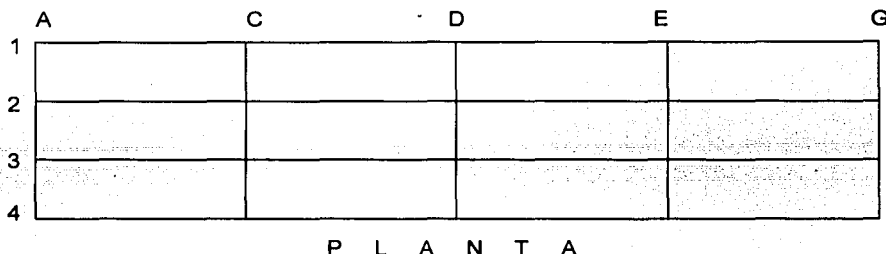
H entrepiso	$(\sum \Delta rel^2)^{0.5}$	Umax permisible:
300.00 Cm	0.71 Cm	1.80 Cm
320.00 Cm	1.47 Cm	1.92 Cm
320.00 Cm	1.70 Cm	1.92 Cm
320.00 Cm	1.39 Cm	1.92 Cm
320.00 Cm	1.09 Cm	1.92 Cm

Umax permisible= 0.006H

(Se acepta)

2.8 EFECTOS DE TORSION EDIFICIO DE CONCRETO

1ER. ENTREPISO



Del análisis por cargas permanentes obtenemos:

COLUMNA	EJE	REACCION	EJE	REACCION	SUMA
1 A	1	42.88	A	31.10	73.981
1 C	1	86.81	C	47.95	134.767
1 D	1	86.57	D	49.65	136.224
1 E	1	86.81	E	47.93	134.748
1 G	1	42.88	G	23.64	66.523
2 A	2	65.05	A	54.54	119.584
2 C	2	116.99	C	74.95	191.941
2 D	2	116.85	D	79.91	196.767
2 E	2	132.77	E	66.81	199.581
2 G	2	65.91	G	40.92	106.826
3 A	3	65.05	A	54.54	119.584
3 C	3	116.99	C	74.95	191.941
3 D	3	116.85	D	82.44	199.294
3 E	3	132.77	E	66.81	199.581
3 G	3	65.91	G	40.92	106.826
4 A	4	33.79	A	31.10	64.885
4 C	4	68.51	C	47.95	116.465
4 D	4	68.29	D	47.94	116.227
4 E	4	68.51	E	47.93	116.446
4 G	4	33.79	G	23.64	57.426

CENTRO DE MASA

$\Sigma P_i = 2649.616$ ton.

$$X_i = \sum P_i X_i / \sum P_i$$

$$X_i = 14.680 \text{ m}$$

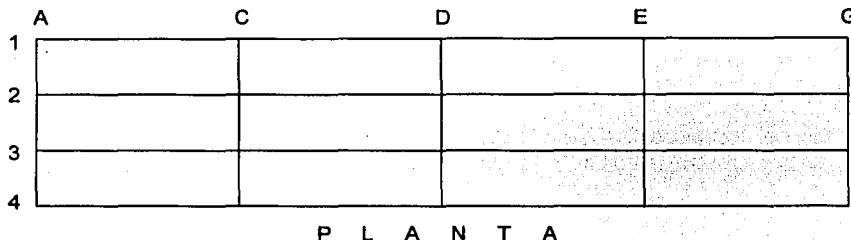
$$Y_i = \sum P_i Y_i / \sum P_i$$

$$Y_i = 8.738 \text{ m}$$

TESIS CON
FALLA DE ORIGEN

EFFECTOS DE TORSION

2DO. ENTREPISO



Del análisis por cargas permanentes obtenemos:

COLUMNA	EJE	REACCION	EJE	REACCION	SUMA
1 A	1	34.01	A	24.61	58.624
1 C	1	68.71	C	38.02	106.730
1 D	1	68.60	D	39.71	108.319
1 E	1	68.71	E	37.99	106.697
1 G	1	34.01	G	19.00	53.016
2 A	2	51.67	A	43.06	94.723
2 C	2	92.60	C	59.50	152.102
2 D	2	91.72	D	64.09	155.819
2 E	2	104.59	E	53.41	158.000
2 G	2	52.58	G	32.85	85.436
3 A	3	51.67	A	43.06	94.723
3 C	3	92.60	C	59.50	152.102
3 D	3	91.72	D	65.74	157.466
3 E	3	104.59	E	53.41	158.000
3 G	3	52.58	G	32.85	85.436
4 A	4	27.17	A	24.61	51.778
4 C	4	55.01	C	38.02	93.030
4 D	4	54.88	D	38.02	92.904
4 E	4	55.01	E	37.99	92.998
4 G	4	27.17	G	19.00	46.171

CENTRO DE MASA

$\Sigma P_i = 2104.076$

$$X_i = \sum P_i X_i / \sum P_i$$

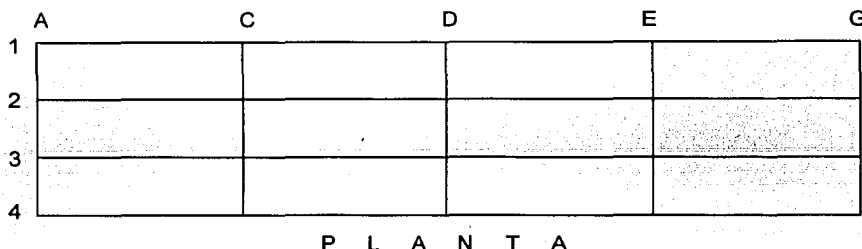
$$X_i = 14.665 \text{ m}$$

$$Y_i = \sum P_i Y_i / \sum P_i$$

$$Y_i = 8.726 \text{ m}$$

EFFECTOS DE TORSION

3ER. ENTREPISO



Del análisis por cargas permanentes obtenemos:

COLUMNA	EJE	REACCION	EJE	REACCION	SUMA
1 A	1	25.07	A	18.09	43.166
1 C	1	50.69	C	28.06	78.742
1 D	1	50.61	D	29.73	80.343
1 E	1	50.69	E	28.02	78.708
1 G	1	25.07	G	14.35	39.419
2 A	2	38.21	A	31.60	69.810
2 C	2	68.31	C	44.08	112.392
2 D	2	66.56	D	48.32	114.879
2 E	2	75.62	E	40.03	115.658
2 G	2	38.25	G	24.81	63.056
3 A	3	38.21	A	31.60	69.810
3 C	3	68.31	C	44.08	112.392
3 D	3	66.56	D	49.10	115.660
3 E	3	75.62	E	40.03	115.658
3 G	3	38.25	G	24.81	63.056
4 A	4	20.49	A	18.09	38.587
4 C	4	41.57	C	28.06	69.627
4 D	4	41.46	D	28.06	69.517
4 E	4	41.57	E	28.02	69.593
4 G	4	20.49	G	14.35	34.840

CENTRO DE MASA

$\Sigma P_i = 1554.911$

$$X_i = \sum P_i X_i / \sum P_i$$

$$X_i = 14.666 \text{ m}$$

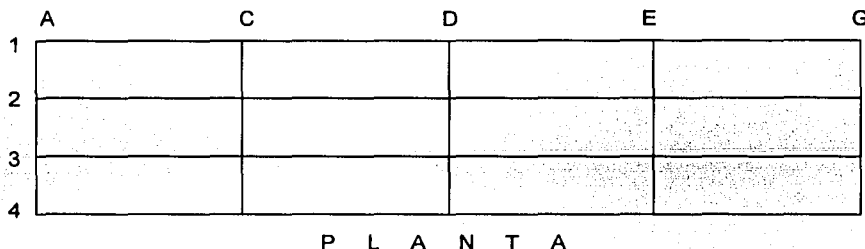
$$Y_i = \sum P_i Y_i / \sum P_i$$

$$Y_i = 8.708 \text{ m}$$

TESIS CON
FALLA DE ORIGEN

EFFECTOS DE TORSION

4TO. ENTREPISO



Del análisis por cargas permanentes obtenemos:

COLUMNA	EJE	REACCION	EJE	REACCION	SUMA
1 A	1	16.08	A	11.56	27.636
1 C	1	32.71	C	18.06	50.767
1 D	1	32.64	D	19.71	52.351
1 E	1	32.71	E	18.03	50.737
1 G	1	16.08	G	9.67	25.751
2 A	2	24.69	A	20.17	44.858
2 C	2	44.07	C	28.69	72.761
2 D	2	41.39	D	32.56	73.948
2 E	2	47.67	E	26.68	74.351
2 G	2	24.74	G	16.78	41.522
3 A	3	24.69	A	20.17	44.858
3 C	3	44.07	C	28.69	72.761
3 D	3	41.39	D	32.49	73.879
3 E	3	47.67	E	26.68	74.351
3 G	3	24.74	G	16.78	41.522
4 A	4	13.77	A	11.56	25.329
4 C	4	28.17	C	18.06	46.229
4 D	4	28.06	D	18.06	46.116
4 E	4	28.17	E	18.03	46.199
4 G	4	13.77	G	9.67	23.444

CENTRO DE MASA

$\Sigma P_i = 1009.370$

$$X_i = \Sigma P_i X_i / \Sigma P_i$$

$$X_i = 14.628 \text{ m}$$

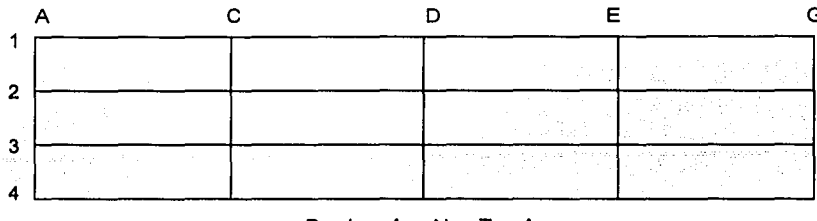
$$Y_i = \Sigma P_i Y_i / \Sigma P_i$$

$$Y_i = 8.668 \text{ m}$$

TESIS CON
FALLA DE ORIGEN

EFFECTOS DE TORSION

5TO. ENTREPISO



Del análisis por cargas permanentes obtenemos:

COLUMNA	EJE	REACCION	EJE	REACCION	SUMA
1 A	1	7.09	A	5.01	12.101
1 C	1	14.75	C	8.06	22.810
1 D	1	14.61	D	9.66	24.276
1 E	1	14.75	E	8.03	22.778
1 G	1	7.09	G	4.99	12.075
2 A	2	11.17	A	8.74	19.914
2 C	2	19.90	C	13.31	33.209
2 D	2	16.08	D	16.87	32.951
2 E	2	19.75	E	13.34	33.088
2 G	2	11.25	G	8.77	20.018
3 A	3	11.17	A	8.74	19.914
3 C	3	19.90	C	13.31	33.209
3 D	3	16.08	D	15.90	31.986
3 E	3	19.75	E	13.34	33.088
3 G	3	11.25	G	8.77	20.018
4 A	4	7.04	A	5.01	12.052
4 C	4	14.80	C	8.06	22.864
4 D	4	14.60	D	8.02	22.624
4 E	4	14.80	E	8.03	22.832
4 G	4	7.04	G	4.99	12.026

CENTRO DE MASA

$\Sigma P_i = 463.829$ ton.

$$X_i = \sum P_i X_i / \sum P_i$$

$$X_i = 14.500 \text{ m}$$

$$Y_i = \sum P_i Y_i / \sum P_i$$

$$Y_i = 8.535 \text{ m}$$

RESUMIENDO:

NIVEL	X _i	Y _i
1	14.680	8.738
2	14.665	8.726
3	14.666	8.708
4	14.628	8.668
5	14.500	8.535

C E N T R O D E C O R T A N T E

$$Xci = \sum F_{ix} Y_i / V_{ix}$$

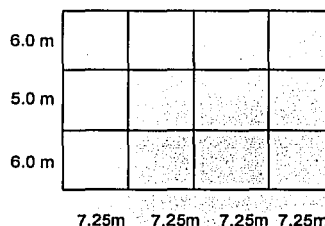
$$Yci = \sum F_{iy} Y_i / V_{iy}$$

ENTREPISO	FZAS. SISMICAS		FZAS. CORTANTES		Xi	Yi	FlyXi	FixYi	$\Sigma FlyXi$	$\Sigma FixYi$	Xci	Yci
	Fix	Fiy	Vix	Viy								
5	70.99	70.05	70.99	70.05	14.680	8.738	1028.30	620.28	1028.30	620.28	14.680	8.738
4	56.59	55.81	127.58	125.86	14.665	8.726	818.45	493.82	1846.75	1114.10	14.673	8.733
3	43.29	41.58	170.87	167.44	14.666	8.708	609.80	376.95	2456.55	1491.05	14.671	8.726
2	27.83	27.34	198.7	194.78	14.628	8.668	399.92	241.23	2856.47	1732.28	14.665	8.718
1	10.44	13.11	209.14	207.89	14.500	8.535	190.09	89.11	3046.56	1821.39	14.655	8.709

CENTROS DE TORSION

$$Xti = \sum k_i X_i / \sum k_i$$

$$Yti = \sum k_i Y_i / \sum k_i$$



ENTREPISO	RIGIDECES SENTIDO SENTR. VS.		RIGIDECES SENTIDO LONG.		Xii	Yii
	RIGIDECE	SENTIDO SENTR. VS.	RIGIDECE	SENTIDO LONG.		
1	222.48		292.76		14.50	8.50
2	98.02		140.32		14.50	8.50
3	82.62		124.00		14.50	8.50
4	76.78		119.92		14.50	8.50
5	62.97		106.32		14.50	8.50
$\Sigma =$	542.87		783.32			

E N T R E P I S O 1

SENTIDO	V	es	b	e1=1.5es+1.1b	e2=es-0.1b	M1=Ve1	M2=Ve2
X	209.140	-0.155	17	1.467985367	-1.8546831	307.012	-387.888
Y	207.890	-0.209	29	2.586553546	-3.1089642	537.719	-646.323

$$Xv = 14.65 \text{ m} \quad xt = 14.50 \text{ m} \quad esx = -0.15468 \text{ m} \quad \Sigma KxjYlj^2 + \Sigma KyjXtj^2 = 34878.514$$

$$Yv = 8.71 \text{ m} \quad yt = 8.50 \text{ m} \quad esy = -0.20896 \text{ m}$$

EJE X	Kxj	Yj	KxjYj	Ylj	KxjYlj	KxjYlj^2	EFECTO DE VX			efecto de Vy	Vx+0.3Vy	0.3Vx+Vy
							directo	torsion	total			
1	73.19	17.00	1244.23	8.50	622.12	5287.98	52.29	5.48	57.76	11.53	51.22	28.86
2	73.19	11.00	805.09	2.50	182.98	457.44	52.29	1.61	53.90	3.39	54.91	19.56
3	73.19	6.00	439.14	-2.50	-182.98	457.44	52.29	2.03	54.32	3.39	55.34	19.69
4	73.19	0.00	0.00	-8.50	622.12	5287.98	52.29	6.92	59.20	11.53	52.66	29.29
suma	292.76		2488.46			11490.63						rigel!

EJE Y	Kyj	Xj	KyjXj	Xlj	KyjXlj	KyjXlj^2	EFECTO DE VY			efecto de Vx	Vy+0.3Vx	0.3Vy+Vx
							directo	torsion	total			
A	44.50	0.00	0.00	-14.50	-645.18	9355.07	41.58	11.98	53.53	7.18	55.69	23.24
C	44.50	7.25	322.59	-7.25	-322.59	2338.77	41.58	5.98	47.55	3.59	48.63	17.85
D	44.50	14.50	645.18	0.00	0.00	0.00	41.58	0.00	41.58	0.00	41.58	12.47
E	44.50	21.75	967.77	7.25	322.59	2338.77	41.58	4.97	46.55	3.59	47.63	17.55
G	44.50	29.00	1290.36	14.50	645.18	9355.07	41.58	9.98	51.52	7.18	53.68	22.63
suma	222.48		3225.89			23387.68						rigel!

$$e1x = 1.46798 < 3.40 = .2b \text{ cumple!}$$

$$e2x = -1.85468 < 3.40 = .2b \text{ cumple!}$$

$$e1y = 2.58655 < 5.80 = .2b \text{ cumple!}$$

$$e2y = -3.10896 < 5.80 = .2b \text{ cumple!}$$

TESIS CON
FALLA DE ORIGEN

E N T R E P I S O 2

SENTIDO		V	es	b	e1=1.5es+.1b	e2=es-0.1b	Mt1=Ve1	Mt2=Ve2	
X		198.700	-0.165	17	1.452348523	-1.865100981	288.582	-370.596	
Y		194.780	-0.218	29	2.572864084	-3.118090611	501.142	-607.342	
xv=	14.67 m	xi=	14.50 m			esx=	-0.1651 m	$\sum KxYij^2 + \sum KyXij^2 =$	
yv=	8.72 m	yi=	8.50 m			esy=	-0.21809 m	15811.913	
EJE X	Kxj	Yj	KxjYj	Yj	KxjYij	KxjYij ²	EFECTO DE Vx		
							directo	torsion	total
1	35.08	17.00	596.36	8.50	298.18	2534.53	49.68	5.44	55.12
2	35.08	11.00	395.88	2.50	87.70	219.25	49.68	1.60	51.28
3	35.08	6.00	210.48	-2.50	-87.70	219.25	49.68	2.06	51.73
4	35.08	0.00	0.00	-8.50	-298.18	2534.53	49.68	6.99	56.66
suma	140.32		1192.72			5507.56			
									rigel

SENTIDO		Vy	es	b	e1=1.5es+.1b	e2=es-0.1b	Mt1=Ve1	Mt2=Ve2	
X		170.870	-0.171	17	1.443163181	-1.871224551	246.593	-319.736	
Y		167.440	-0.226	29	2.560619912	-3.126253391	428.750	-523.460	
xv=	14.67 m	xi=	14.50 m			esx=	-0.17122 m	$\sum KxYij^2 + \sum KyXij^2 =$	
yv=	8.73 m	yi=	8.50 m			esy=	-0.22625 m	13552.428	
EJE Y	Kyj	Xj	KyjXj	Xj	KyjXij	KyjXij ²	EFECTO DE Vy		
							directo	torsion	total
A	19.60	0.00	0.00	-14.50	-284.26	4121.74	38.98	10.92	49.87
C	19.60	7.25	142.13	7.25	142.13	1030.44	38.98	5.46	44.42
D	19.60	14.50	284.26	0.00	0.00	0.00	38.98	0.00	38.98
E	19.60	21.75	426.39	7.25	142.13	1030.44	38.98	4.50	43.46
G	19.60	29.00	568.52	14.50	284.26	4121.74	38.98	9.01	47.97
suma	98.02		1421.29			10304.35			
									rigel

e1x= 1.45235 < 3.40 = .2b cumple!

e2x= -1.8651 < 3.40 = .2b cumple!

e1y= 2.57286 < 5.80 = .2b cumple!

e2y= -3.11809 < 5.80 = .2b cumple!

E N T R E P I S O 3

SENTIDO		V	es	b	e1=1.5es+.1b	e2=es-0.1b	Mt1=Ve1	Mt2=Ve2	
X		170.870	-0.171	17	1.443163181	-1.871224551	246.593	-319.736	
Y		167.440	-0.226	29	2.560619912	-3.126253391	428.750	-523.460	
xv=	14.67 m	xi=	14.50 m			esx=	-0.17122 m	$\sum KxYij^2 + \sum KyXij^2 =$	
yv=	8.73 m	yi=	8.50 m			esy=	-0.22625 m	13552.428	
EJE X	Kxj	Yj	KxjYj	Yj	KxjYij	KxjYij ²	EFECTO DE Vx		
							directo	torsion	total
1	31.00	17.00	527.00	8.50	263.50	2339.75	42.72	4.79	47.51
2	31.00	11.00	341.00	2.50	77.50	193.75	42.72	1.41	44.13
3	31.00	6.00	186.00	-2.50	-77.50	193.75	42.72	1.83	44.55
4	31.00	0.00	0.00	-8.50	-263.50	2339.75	42.72	6.22	46.93
suma	124.00		1054.00			4867.00			
									rigel

SENTIDO		Vy	es	b	e1=1.5es+.1b	e2=es-0.1b	Mt1=Ve1	Mt2=Ve2	
X		170.870	-0.171	17	1.443163181	-1.871224551	246.593	-319.736	
Y		167.440	-0.226	29	2.560619912	-3.126253391	428.750	-523.460	
xv=	14.67 m	xi=	14.50 m			esx=	-0.17122 m	$\sum KxYij^2 + \sum KyXij^2 =$	
yv=	8.73 m	yi=	8.50 m			esy=	-0.22625 m	13552.428	
EJE Y	Kyj	Xj	KyjXj	Xj	KyjXij	KyjXij ²	EFECTO DE Vy		
							directo	torsion	total
A	16.52	0.00	0.00	-14.50	-239.60	3474.17	33.49	9.25	42.74
C	16.52	7.25	119.80	-7.25	-119.80	868.54	33.49	4.63	38.12
D	16.52	14.50	239.60	0.00	0.00	0.00	33.49	0.00	33.49
E	16.52	21.75	359.40	7.25	119.80	868.54	33.49	3.79	37.28
G	16.52	29.00	479.20	14.50	239.60	3474.17	33.49	7.58	41.07
suma	82.62		1197.99			8685.43			
									rigel

e1x= 1.44316 < 3.40 = .2b cumple!

e2x= -1.87122 < 3.40 = .2b cumple!

e1y= 2.58062 < 5.80 = .2b cumple!

e2y= -3.12625 < 5.80 = .2b cumple!

**TESIS CON
FALLA DE ORIGEN**

"Estudio comparativo del costo directo en acero y concreto reforzado, para un edificio de cinco niveles"

E N T R E P I S O 4

SENTIDO		V	es	b	e1=1.5es+1b	e2=es-0.1b	M1t=Ve1	M2t=Ve2	
X		127.580	-0.173	17	1.440436121	-1.873042591	183.771	-238.963	
Y		125.860	-0.233	29	2.551151231	-3.132565851	321.088	-394.265	
xv=	14.67 m	xi=	14.50 m			esx=	-0.17304 m	$\Sigma K_x Y_{ij} l_j^2 + \Sigma K_y X_{ij} l_j^2 =$ 12778.358	
yv=	8.73 m	yi=	8.50 m			esy=	-0.23257 m		
EJE X	Kxj	Yj	KxjYj	Ylj	KxjYlj	KxjYlj ²	EFFECTO DE VX		
							directo	torsion	total
1	29.98	17.00	509.66	8.50	254.83	2166.06	31.90	3.66	35.56
2	29.98	11.00	329.78	2.50	74.95	187.38	31.90	1.08	32.97
3	29.98	6.00	179.88	-2.50	-74.95	187.38	31.90	1.40	33.30
4	29.98	0.00	0.00	-8.50	254.83	2166.06	31.90	4.77	36.66
suma	119.92		1019.32			4706.66			rigel

SENTIDO		Vy	Xj	Ky Xj	Xlj	Ky Xlj	Ky Xlj ²	EFFECTO DE VY			efecto de Vx	Vy+0.3Vx	0.3Vx+Vy
EJE Y	Kyj	Xj	Ky Xj	Xlj	Ky Xlj	Ky Xlj ²		directo	torsion	total			
A	15.36	0.00	0.00	-14.50	-222.66	3228.60	25.17	6.87	32.04	4.16	33.29	13.78	
C	15.36	7.25	111.33	-7.25	-111.33	807.15	25.17	3.44	26.61	2.08	29.23	10.66	
D	15.36	14.50	222.66	0.00	0.00	0.00	25.17	0.00	25.17	0.00	25.17	7.55	
E	15.36	21.75	333.99	7.25	111.33	807.15	25.17	2.80	27.97	2.08	28.59	10.47	
G	15.36	29.00	445.32	14.50	222.66	3228.60	25.17	5.59	30.77	4.16	32.02	13.39	
suma	76.78		1113.31			8071.50					rigel		

$$e1x = 1.44044 < 3.40 = .2b \text{ cumple!}$$

$$e2x = -1.87304 < 3.40 = .2b \text{ cumple!}$$

$$e1y = 2.55115 < 5.80 = .2b \text{ cumple!}$$

$$e2y = -3.13257 < 5.80 = .2b \text{ cumple!}$$

E N T R E P I S O 5

SENTIDO		V	es	b	e1=1.5es+1b	e2=es-0.1b	M1t=Ve1	M2t=Ve2				
X		70.990	-0.18	17	1.430654232	-1.879563851	101.562	-133.430				
Y		70.050	-0.238	29	2.54367462	-3.137550251	178.184	-219.785				
xv=	14.68 m	xi=	14.50 m			esx=	-0.17956 m	$\Sigma K_x Y_{ij} l_j^2 + \Sigma K_y X_{ij} l_j^2 =$ 10792.781				
yv=	8.74 m	yi=	8.50 m			esy=	-0.23755 m					
EJE X	Kxj	Yj	KxjYj	Ylj	KxjYlj	KxjYlj ²	EFFECTO DE VX			efecto de Vy	Vx+0.3Vy	0.3Vx+Vy
							directo	torsion	total			
1	26.58	17.00	451.86	8.50	225.93	1920.41	17.75	2.13	19.87	4.60	21.25	10.56
2	26.58	11.00	292.38	2.50	66.45	166.13	17.75	0.63	18.37	1.35	18.78	6.87
3	26.58	6.00	159.48	-2.50	-66.45	166.13	17.75	0.82	18.57	1.35	18.97	6.92
4	26.58	0.00	0.00	-8.50	-225.93	1920.41	17.75	2.79	20.54	4.60	21.92	10.76
suma	106.32		903.72			4173.06				rigel		

SENTIDO		Vy	Xj	Ky Xj	Xlj	Ky Xlj	Ky Xlj ²	EFFECTO DE VY			efecto de Vx	Vy+0.3Vx	0.3Vx+Vy
EJE Y	Kyj	Xj	Ky Xj	Xlj	Ky Xlj	Ky Xlj ²		directo	torsion	total			
A	12.59	0.00	0.00	-14.50	-182.61	2647.89	14.01	3.72	17.73	2.26	18.41	7.58	
C	12.59	7.25	91.31	-7.25	-91.31	661.97	14.01	1.86	15.87	1.13	16.21	5.89	
D	12.59	14.50	182.61	0.00	0.00	0.00	14.01	0.00	14.01	0.00	14.01	4.20	
E	12.59	21.75	273.92	7.25	91.31	661.97	14.01	1.51	15.52	1.13	15.86	5.78	
G	12.59	29.00	365.23	14.50	182.61	2647.89	14.01	3.01	17.02	2.26	17.70	7.37	
suma	62.97		913.07			6619.72				rigel			

$$e1x = 1.43065 < 3.40 = .2b \text{ cumple!}$$

$$e2x = -1.87956 < 3.40 = .2b \text{ cumple!}$$

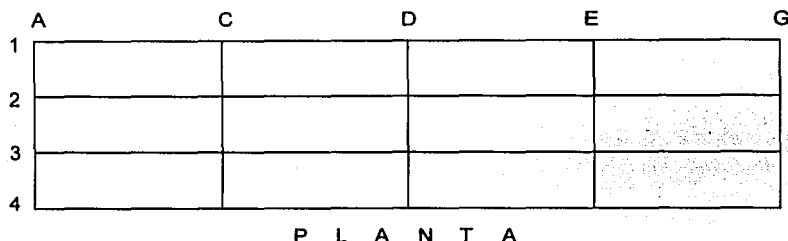
$$e1y = 2.54367 < 5.80 = .2b \text{ cumple!}$$

$$e2y = -3.13755 < 5.80 = .2b \text{ cumple!}$$

TESIS CON
FALLA DE ORIGEN

2.9 EFECTOS DE TORSION EDIFICIO DE ACERO

1ER. ENTREPISO



Del análisis por cargas permanentes obtenemos:

COLUMNA	EJE	REAACION	EJE	REAACION	SUMA
1 A	1	41.40	A	20.02	61.420
1 C	1	85.53	C	28.17	113.699
1 D	1	84.62	D	29.70	114.327
1 E	1	85.53	E	28.40	113.931
1 G	1	41.40	G	14.73	56.129
2 A	2	63.19	A	38.96	102.151
2 C	2	113.25	C	52.39	165.640
2 D	2	113.99	D	55.70	169.694
2 E	2	127.32	E	44.93	172.246
2 G	2	63.23	G	27.03	90.255
3 A	3	63.19	A	38.96	102.151
3 C	3	113.25	C	52.39	165.640
3 D	3	113.99	D	57.77	171.757
3 E	3	127.32	E	44.93	172.246
3 G	3	63.23	G	27.03	90.255
4 A	4	32.40	A	20.02	52.424
4 C	4	67.22	C	28.17	95.382
4 D	4	66.38	D	28.10	94.474
4 E	4	67.18	E	28.40	95.583
4 G	4	32.40	G	14.73	47.134

CENTRO DE MASA

$\Sigma P_i = 2246.538$ ton.

$$X_i = \Sigma P_i X_i / \Sigma P_i$$

$$X_i = 14.678 \text{ m}$$

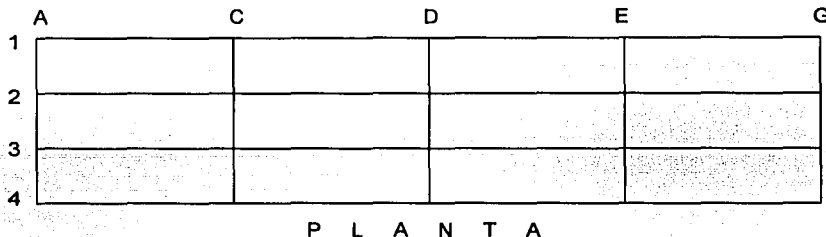
$$Y_i = \Sigma P_i Y_i / \Sigma P_i$$

$$Y_i = 8.780 \text{ m}$$

TESIS CON
FALLA DE ORIGEN

EFFECTOS DE TORSION

2DO. ENTREPISO



Del análisis por cargas permanentes obtenemos:

COLUMNA	EJE	REACCION	EJE	REACCION	SUMA
1 A	1	32.85	A	15.74	48.594
1 C	1	67.76	C	22.15	89.908
1 D	1	67.11	D	23.68	90.791
1 E	1	67.76	E	22.30	90.060
1 G	1	32.85	G	12.24	45.092
2 A	2	50.25	A	30.52	80.769
2 C	2	89.76	C	41.42	131.182
2 D	2	89.25	D	44.66	133.907
2 E	2	100.22	E	35.85	136.072
2 G	2	50.33	G	22.12	72.455
3 A	3	50.25	A	30.52	80.769
3 C	3	89.76	C	41.42	131.182
3 D	3	89.25	D	45.86	135.116
3 E	3	100.22	E	35.85	136.072
3 G	3	50.33	G	22.12	72.455
4 A	4	26.08	A	15.74	41.823
4 C	4	54.05	C	22.15	76.197
4 D	4	53.41	D	22.10	75.505
4 E	4	54.02	E	22.30	76.318
4 G	4	26.08	G	12.24	38.322

CENTRO DE MASA

$\Sigma P_i = 1782.590$ ton.

$$X_i = \sum P_i X_i / \sum P_i$$

$$X_i = 14.651 \text{ m}$$

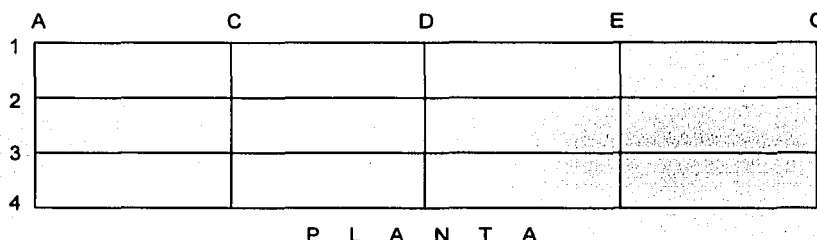
$$Y_i = \sum P_i Y_i / \sum P_i$$

$$Y_i = 8.767 \text{ m}$$

**TESIS CON
FALLA DE ORIGEN**

EFFECTOS DE TORSION

3ER. ENTREPISO



Del análisis por cargas permanentes obtenemos:

COLUMNA	EJE	REACCION	EJE	REACCION	SUMA
1 A	1	24.22	A	11.41	35.634
1 C	1	50.08	C	16.06	66.140
1 D	1	49.56	D	17.59	67.149
1 E	1	50.08	E	16.15	66.230
1 G	1	24.22	G	9.72	33.940
2 A	2	37.23	A	22.14	59.367
2 C	2	66.37	C	30.53	96.894
2 D	2	64.45	D	33.68	98.127
2 E	2	73.30	E	26.82	100.120
2 G	2	37.31	G	17.25	54.563
3 A	3	37.23	A	22.14	59.367
3 C	3	66.37	C	30.53	96.894
3 D	3	64.45	D	34.04	98.490
3 E	3	73.30	E	26.82	100.120
3 G	3	37.31	G	17.25	54.563
4 A	4	19.70	A	11.41	31.107
4 C	4	40.95	C	16.06	57.015
4 D	4	40.41	D	16.02	56.434
4 E	4	40.92	E	16.15	57.075
4 G	4	19.70	G	9.72	29.414

CENTRO DE MASA

$\Sigma P_i = 1318.641$ ton.

$$X_i = \sum P_i X_i / \sum P_i$$

$$X_i = 14.607 \text{ m}$$

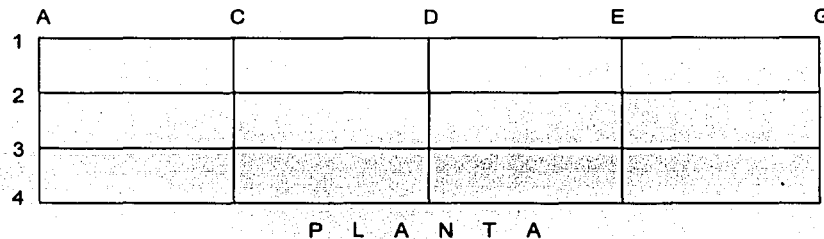
$$Y_i = \sum P_i Y_i / \sum P_i$$

$$Y_i = 8.745 \text{ m}$$

**TESIS CON
FALLA DE ORIGEN**

EFFECTOS DE TORSION

4TO. ENTREPISO



Del análisis por cargas permanentes obtenemos:

COLUMNA	EJE	REACCION	EJE	REACCION	SUMA
1 A	1	15.56	A	7.07	22.624
1 C	1	32.42	C	9.96	42.385
1 D	1	32.03	D	11.48	43.512
1 E	1	32.42	E	10.00	42.418
1 G	1	15.56	G	7.19	22.748
2 A	2	24.17	A	13.77	37.943
2 C	2	42.99	C	19.64	62.633
2 D	2	39.67	D	22.71	62.386
2 E	2	46.41	E	17.80	64.211
2 G	2	24.24	G	12.39	36.629
3 A	3	24.17	A	13.77	37.943
3 C	3	42.99	C	19.64	62.632
3 D	3	39.67	D	22.25	61.925
3 E	3	46.41	E	17.80	64.211
3 G	3	24.24	G	12.39	36.629
4 A	4	13.28	A	7.07	20.345
4 C	4	27.88	C	9.96	37.841
4 D	4	27.44	D	9.93	37.367
4 E	4	27.85	E	10.00	37.843
4 G	4	13.28	G	7.19	20.470

CENTRO DE MASA

$\Sigma P_i = 854.693$ ton.

$$X_i = \sum P_i X_i / \sum P_i$$

$$X_i = 14.513 \text{ m}$$

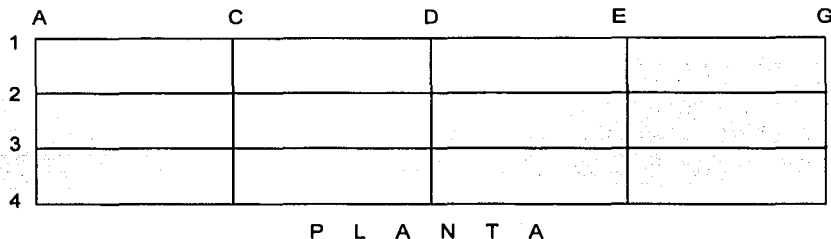
$$Y_i = \sum P_i Y_i / \sum P_i$$

$$Y_i = 8.698 \text{ m}$$

TESIS CON
FALLA DE ORIGEN

EFFECTOS DE TORSION

STO. ENTREPISO



Del análisis por cargas permanentes obtenemos:

COLUMNA	EJE	REACCION	EJE	REACCION	SUMA
1 A	1	6.87	A	2.71	9.578
1 C	1	14.82	C	3.84	18.656
1 D	1	14.45	D	5.32	19.768
1 E	1	14.82	E	3.80	18.625
1 G	1	6.87	G	4.61	11.479
2 A	2	11.07	A	5.41	16.477
2 C	2	19.76	C	8.79	28.547
2 D	2	14.73	D	11.84	26.573
2 E	2	19.59	E	8.82	28.411
2 G	2	11.17	G	7.57	18.743
3 A	3	11.07	A	5.41	16.477
3 C	3	19.76	C	8.79	28.548
3 D	3	14.73	D	10.45	25.182
3 E	3	19.59	E	8.82	28.411
3 G	3	11.17	G	7.57	18.743
4 A	4	6.82	A	2.71	9.530
4 C	4	14.88	C	3.84	18.713
4 D	4	14.40	D	3.80	18.197
4 E	4	14.85	E	3.80	18.650
4 G	4	6.82	G	4.61	11.433

CENTRO DE MASA

$\Sigma P_i = 390.745$ ton.

$$X_i = \sum P_i X_i / \sum P_i$$

$$X_i = 14.197 \text{ m}$$

$$Y_i = \sum P_i Y_i / \sum P_i$$

$$Y_i = 8.543 \text{ m}$$

RESUMIENDO:

NIVEL	X _i	Y _i
1	14.678	8.780
2	14.651	8.767
3	14.607	8.745
4	14.513	8.698
5	14.197	8.543

TESIS CON
FALLA DE ORIGEN

C E N T R O D E C O R T A N T E

$$X_{ci} = \sum F_{ix} Y_i / V_{iy}$$

$$Y_{ci} = \sum F_{ix} Y_i / V_{ix}$$

NIVEL	FZAS. SISMICAS		FZAS. CORTANTES		Xi	Yi	FiyXi	FixYi	$\Sigma FiyXi$	$\Sigma FixYi$	Xci	Yci
	Fix	Fiy	Vix	Viy								
5	58.25	56.68	58.25	56.68	14.678	8.780	831.94	511.41	831.94	511.41	14.678	8.780
4	41.48	43.27	99.73	99.95	14.651	8.767	633.96	363.64	1465.90	875.05	14.666	8.774
3	31.1	33.55	130.83	133.5	14.607	8.745	490.05	271.96	1955.95	1147.01	14.651	8.767
2	18.85	21.99	149.68	155.49	14.513	8.698	319.15	163.97	2275.10	1310.98	14.632	8.759
1	7.04	8.8	156.72	164.29	14.197	8.543	124.94	60.15	2400.04	1371.12	14.609	8.749

E N T R E P I S O 1 - A C E R O -

SENTIDO	V	es	b	e1=1.5es+1.b	e2=es-0.1b	Mt1=Ve1	Mt2=Ve2
X	156.720	-14.61	.17	-20.21281347	-16.3085423	-3167.752	-2555.875
Y	164.290	-8.749	.29	-10.22328999	-11.64888	-1679.584	-1913.791

$$xv = 14.61 \text{ m} \quad xt = 0.00 \text{ m} \quad esx = -14.60854231 \text{ m} \quad \Sigma KxjYi^2 + \Sigma KyjXj^2 = 25063.750$$

$$yv = 8.75 \text{ m} \quad yt = 0.00 \text{ m} \quad esy = -8.7488559992 \text{ m}$$

EJE X	Kxj	Yj	KxjYj	Yj	KxjYj^2	KyjYj^2	EFECTO DE VX			efecto de Vy	Vx+0.3Vy	0.3Vx+Vy
							directo	torsion	total			
1	60.00	17.00	1020.00	8.50	510.00	4335.00	42.74	-64.46	-21.72	38.94	-10.03	32.43
2	50.00	11.00	550.00	2.50	25.00	312.50	35.62	-15.80	19.82	9.54	22.68	15.49
3	50.00	6.00	300.00	-2.50	-125.00	312.50	35.62	12.75	48.37	9.54	51.23	24.05
4	60.00	0.00	0.00	-8.50	-510.00	4335.00	42.74	52.01	94.75	38.94	106.43	67.37
suma	220.00		1870.00			9295.00						inge!

EJE Y	Kyj	Xj	KyjXj	Xj	KyjXj	KyjXj^2	KyjXj^3	EFECTO DE VY			efecto de Vx	Vy+0.3Vx	0.3Vy+Vx
								directo	torsion	total			
A	30.00	0.00	0.00	-14.50	-435.00	6307.50	32.88	33.22	66.07	44.36	79.38	64.18	
C	30.00	7.25	217.50	7.25	-217.50	1576.88	32.88	16.61	49.47	22.18	56.12	37.02	
D	30.00	14.50	435.00	0.00	0.00	0.00	32.88	0.00	32.88	0.00	32.86	9.88	
E	30.00	21.75	652.50	7.25	217.50	1576.88	32.88	-14.58	18.28	22.18	24.94	27.66	
G	30.00	29.00	870.00	14.50	435.00	6307.50	32.88	-29.15	3.71	44.36	17.02	45.47	
suma	150.00		2175.00			15768.75						inge!	

$$e1x = -20.2128 < 3.40 = .2b \text{ cumple!}$$

$$e2x = -16.3085 < 3.40 = .2b \text{ cumple!}$$

$$e1y = -10.2233 < 5.80 = .2b \text{ cumple!}$$

$$e2y = -11.6488 < 5.80 = .2b \text{ cumple!}$$

TESIS CON
FALLA DE ORIGEN

E N T R E P I S O 2 - A C E R O -

SENTIDO		V	es	b	e1=1.5es+1b	e2=es-0.1b	M1=Ve1	M2=Ve2	
X	149.680	-14.631.8086	17	-20.24771291	-16.331.8086	-3030.678	-2444.545		
Y	155.490	-8.758525366	29	-10.23778805	-11.658525367	-1591.874	-1812.784		
xv=	14.63 m	x=	0.00 m	esx=	-14.631.8086 m			12557.658	
yv=	8.76 m	y=	0.00 m	esy=	-8.758525366 m				
EJE X	Ky	Yi	KyYi	Yi	KyYi	KyYi ²	EFFECTO DE Vx		
							directo	torsion	total
1	25.45	17.00	432.72	8.50	216.36	1839.05	37.42	-52.22	-14.80
2	25.45	11.00	279.99	2.50	63.64	159.09	37.42	-15.36	22.06
3	25.45	6.00	152.72	-2.50	-63.64	159.09	37.42	12.39	49.81
4	25.45	0.00	0.00	-8.50	-216.36	1839.05	37.42	42.12	79.54
suma	101.82		865.44			3996.28			
EJE Y	Ky	Xi	KyXi	Xi	KyXi	KyXi ²	EFFECTO DE Vy		
							directo	torsion	total
A	16.47	0.00	0.00	-14.50	-238.82	3462.82	32.16	34.47	66.64
C	15.56	7.25	112.81	-7.25	-112.81	817.87	30.39	16.28	46.67
D	15.56	14.50	225.62	0.00	0.00	0.00	30.39	0.00	30.39
E	15.56	21.75	338.43	7.25	112.81	817.87	30.39	-14.30	16.09
G	16.47	29.00	477.63	14.50	238.82	3462.82	32.16	-30.27	1.69
suma	79.62		1154.49			8561.38			

$$e1x = -20.24771291 < 3.40 = .2b \text{ cumple!}$$

$$e2x = -16.331.8086 < 3.40 = .2b \text{ cumple!}$$

$$e1y = -10.23778805 < 5.80 = .2b \text{ cumple!}$$

$$e2y = -11.658525366 < 5.80 = .2b \text{ cumple!}$$

E N T R E P I S O 3 - A C E R O -

SENTIDO		V	es	b	e1=1.5es+1b	e2=es-0.1b	M1=Ve1	M2=Ve2	
X	130.800	-14.65133205	17	-20.27698807	-16.35133205	-262.840	-210.246		
Y	133.500	-8.76717938	29	-10.25076866	-11.65717791	-1368.477	-1557.558		
xv=	14.65 m	x=	0.00 m	esx=	-14.65133205 m			10912.312	
yv=	8.77 m	y=	0.00 m	esy=	-8.76717938 m				
EJE X	Ky	Yi	KyYi	Yi	KyYi	KyYi ²	EFFECTO DE Vx		
							directo	torsion	total
1	20.00	17.00	340.00	8.50	170.00	1446.00	34.02	-41.33	-7.31
2	18.46	11.00	203.07	2.50	46.15	115.38	31.40	-11.22	20.18
3	18.46	6.00	107.77	-2.50	-46.15	115.38	31.40	9.06	40.46
4	20.00	0.00	0.00	-8.50	-170.00	1446.00	34.02	33.33	67.34
suma	76.92		633.84			3120.76			
EJE Y	Ky	Xi	KyXi	Xi	KyXi	KyXi ²	EFFECTO DE Vy		
							directo	torsion	total
A	15.00	0.00	0.00	-14.50	-217.50	3153.75	27.68	31.04	58.72
C	14.12	7.25	102.36	-7.25	-102.36	742.02	25.05	1461.00	2006.4668
D	14.12	14.50	204.70	0.00	0.00	0.00	25.05	0.00	25.05
E	14.12	21.75	307.04	7.25	102.36	742.02	25.05	-12.84	13.21
G	15.00	29.00	435.00	14.50	217.50	3153.75	27.68	-27.28	0.40
suma	72.35		1049.09			7915.55			

$$e1x = -20.27698807 < 3.40 = .2b \text{ cumple!}$$

$$e2x = -16.35133205 < 3.40 = .2b \text{ cumple!}$$

$$e1y = -10.25076866 < 5.80 = .2b \text{ cumple!}$$

$$e2y = -11.65717791 < 5.80 = .2b \text{ cumple!}$$

TESIS CON
FALLA DE ORIGEN

E N T R E P I S O 4 - A C E R O -

SENTIDO	V	es	b	e1=1.5es+1b	e2=es-0.1b	M1=Ve1	M2=Ve2
X	99.730	-14.67	17	-20.29952932	-16.36635291	-2024.472	-1632.216
Y	99.950	-8.774	29	-10.26134313	-11.6742288	-1025.621	-1166.839

$$xv = 14.67 \text{ m} \quad xt = 0.00 \text{ m} \quad esx = -14.66635288 \text{ m} \quad xjYtj^2 + yjXtj^2 = 10589.061$$

$$yv = 8.77 \text{ m} \quad yt = 0.00 \text{ m} \quad esy = -8.77422875 \text{ m}$$

EJE	X	Kxj	Yj	KyjYj	Ylj	KyjYlj	KyjYlj^2	EFFECTO DE VX			efecto de Vy	Vx+0.3Vy	0.3Vx+Vy
								directo	torsion	total			
1	18.00	17.00	306.00	8.50	153.00	1300.50	24.93	-29.25	-4.32	16.86	0.74	15.56	
2	18.00	11.00	198.00	2.50	45.00	112.50	24.93	-8.60	16.33	4.96	17.82	9.86	
3	18.00	6.00	108.00	-2.50	-45.00	112.50	24.93	6.94	31.87	4.96	33.36	14.52	
4	18.00	0.00	0.00	-8.50	-153.00	1300.50	24.93	23.58	48.52	16.86	53.57	31.41	
suma	72.00		612.00			2826.00							

EJE	Y	Kyj	Xj	KyjXj	Xlj	KyjXlj	KyjXlj^2	EFFECTO DE VY			efecto de Vx	Vy+0.3Vx	0.3Vy+Vx
								directo	torsion	total			
A	15.00	0.00	0.00	-14.50	-217.50	3153.75	20.96	23.97	44.92	33.53	54.98	47.00	
C	13.85	7.25	100.38	-7.25	-100.38	727.78	19.35	11.06	30.41	15.47	35.05	24.60	
D	13.85	14.50	200.77	0.00	0.00	0.00	19.35	0.00	19.35	0.00	19.35	5.80	
E	13.85	21.75	301.15	7.25	100.38	727.78	19.35	9.72	9.62	15.47	14.26	18.36	
G	15.00	29.00	435.00	14.50	217.50	3153.75	20.96	-21.07	-0.11	33.53	9.95	33.49	
suma	71.54		1037.30			7763.06							

$$e1x = -20.2995 \quad < \quad 3.40 \quad = \quad .2b \quad \text{cumple!}$$

$$e2x = -16.3664 \quad < \quad 3.40 \quad = \quad .2b \quad \text{cumple!}$$

$$e1y = -10.2613 \quad < \quad 5.80 \quad = \quad .2b \quad \text{cumple!}$$

$$e2y = -11.6742 \quad < \quad 5.80 \quad = \quad .2b \quad \text{cumple!}$$

E N T R E P I S O 5 - A C E R O -

SENTIDO	V	es	b	e1=1.5es+1b	e2=es-0.1b	M1=Ve1	M2=Ve2
X	58.250	-14.68	17	-20.31672132	-16.3778142	-1183.449	-954.008
Y	56.680	-8.78	29	-10.26942854	-11.67961919	-502.071	-502.001

$$xv = 14.68 \text{ m} \quad xt = 0.00 \text{ m} \quad esx = -14.67781421 \text{ m} \quad xjYtj^2 + yjXtj^2 = 8790.890$$

$$yv = 8.78 \text{ m} \quad yt = 0.00 \text{ m} \quad esy = -8.779619025 \text{ m}$$

EJE	X	Kxj	Yj	KyjYj	Ylj	KyjYlj	KyjYlj^2	EFFECTO DE VX			efecto de Vy	Vx+0.3Vy	0.3Vx+Vy
								directo	torsion	total			
1	14.29	17.00	242.86	8.50	121.43	1032.16	0.00	-16.35	-16.35	9.14	-13.60	4.24	
2	12.50	11.00	137.50	2.50	31.25	78.13	13.59	-4.21	9.38	2.35	10.08	5.17	
3	12.50	6.00	75.00	-2.50	-31.25	78.13	13.59	3.39	16.98	2.35	17.69	7.45	
4	14.29	0.00	0.00	-8.50	-121.43	1032.16	15.53	13.18	26.71	9.14	31.45	17.76	
suma	53.57		455.36			2220.58							

EJE	Y	Kyj	Xj	KyjXj	Xlj	KyjXlj	KyjXlj^2	EFFECTO DE VY			efecto de Vy	Vx+0.3Vy	0.3Vx+Vy
								directo	torsion	total			
A	12.50	0.00	0.00	-14.50	-181.25	2628.13	0.00	13.66	13.66	19.67	19.55	23.76	
C	12.50	7.25	90.63	-7.25	-90.63	657.03	11.34	6.62	18.16	9.83	21.11	15.28	
D	12.50	14.50	181.25	0.00	0.00	0.00	11.34	0.00	11.34	0.00	11.34	3.40	
E	12.50	21.75	271.88	7.25	90.63	657.03	11.34	6.00	5.34	9.83	8.29	11.44	
G	12.50	29.00	362.50	14.50	181.25	2628.13	11.34	-12.00	-0.67	19.67	5.24	19.47	
suma	62.50		906.25			6570.31							

$$e1x = -20.3167 \quad < \quad 3.40 \quad = \quad 2b \quad \text{cumple!}$$

$$e2x = -16.3778 \quad < \quad 3.40 \quad = \quad 2b \quad \text{cumple!}$$

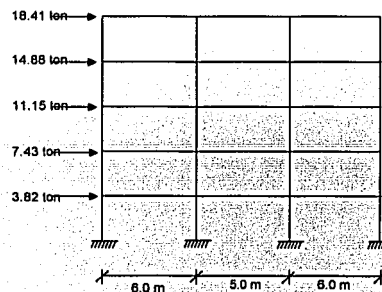
$$e1y = -10.2694 \quad < \quad 5.80 \quad = \quad 2b \quad \text{cumple!}$$

$$e2y = -11.6796 \quad < \quad 5.80 \quad = \quad 2b \quad \text{cumple!}$$

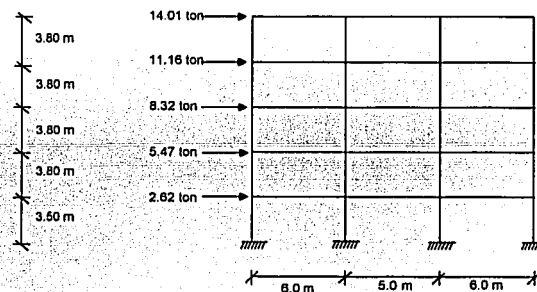
**TESIS CON
FALLA DE ORIGEN**

2.10 CANALIZACION DE FUERZAS DE SISMO Y TORSION A LOS MARCOS, EDIFICIO DE CONCRETO

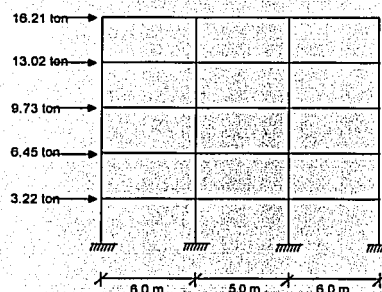
MARCO EJE "A"



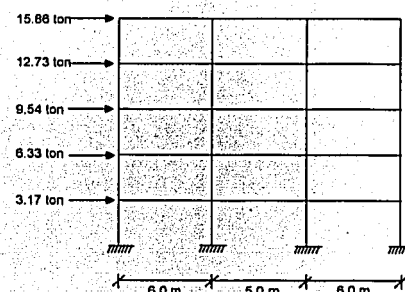
MARCO EJE "D"



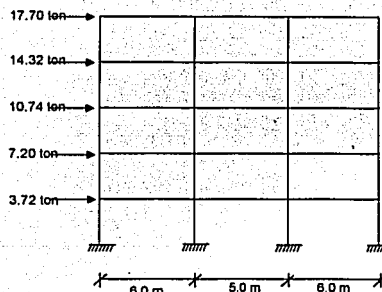
MARCO EJE "C"



MARCO EJE "E"

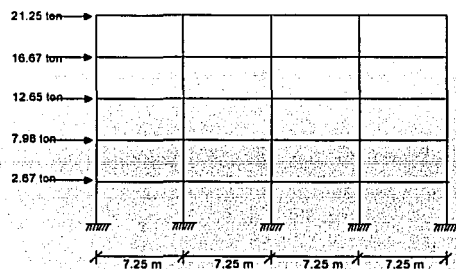


MARCO EJE "G"

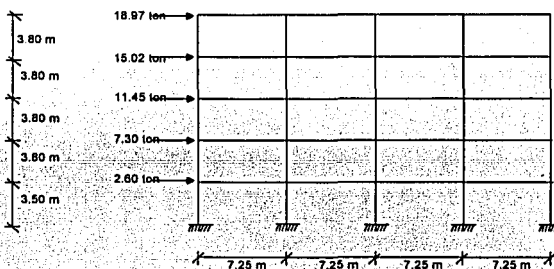


TESIS CON
FALLA DE ORIGEN

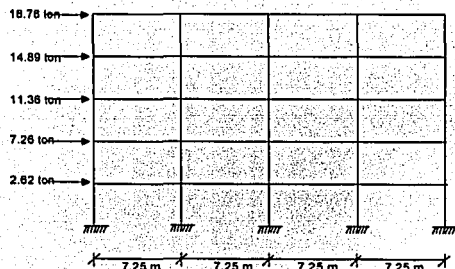
MARCO EJE "1"



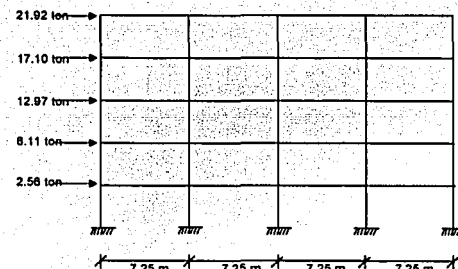
MARCO EJE "3"



MARCO EJE "2"

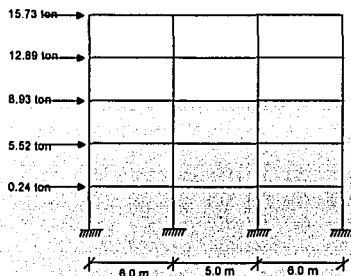


MARCO EJE "4"

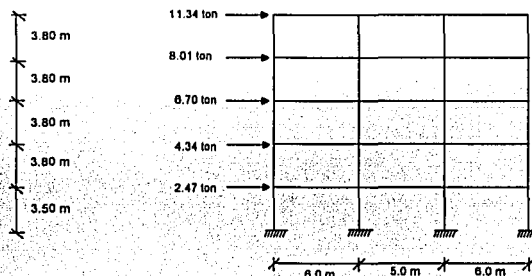


2.11 CANALIZACION DE FUERZAS DE SISMO Y TORSION A LOS MARCOS, EDIFICIO DE ACERO

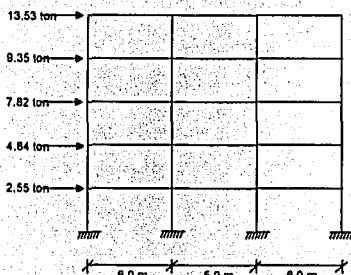
MARCO EJE "A"



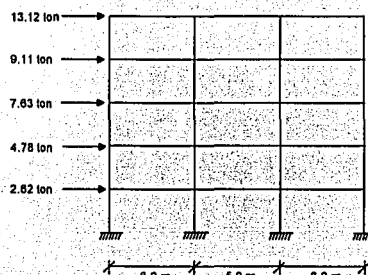
MARCO EJE "D"



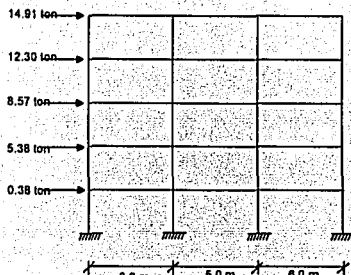
MARCO EJE "C"



MARCO EJE "E"

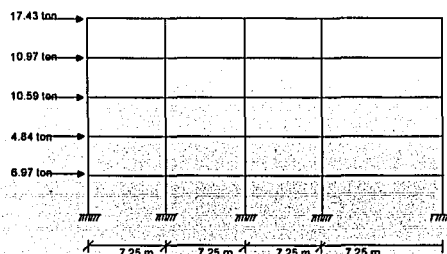


MARCO EJE "G"

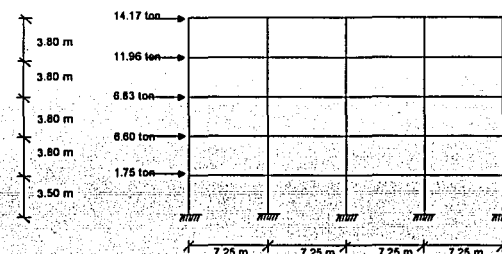


**TESIS CON
FALLA DE ORIGEN**

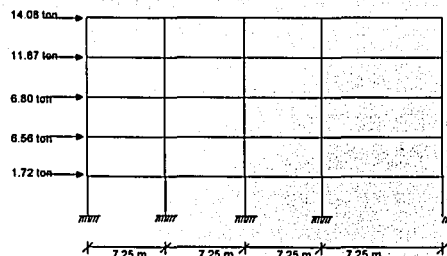
MARCO EJE "1"



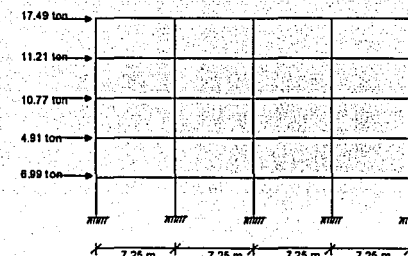
MARCO EJE "3"



MARCO EJE "2"



MARCO EJE "4"



TESIS CON
FALLA DE ORIGEN

En seguida se procede al análisis de los marcos por fuerzas de sismo y torsión, además de realizar las envolventes de los elementos mecánicos, es necesario aclarar que para el caso del edificio de acero, se tomaron todos los factores de carga iguales a uno, debido a que se diseñará con el criterio de esfuerzos permisibles, las combinaciones son las siguientes:

Edificio de concreto

- 1.4 (cm+cv)
- (cm+cv+sismo)
- (cm+cv-sismo)

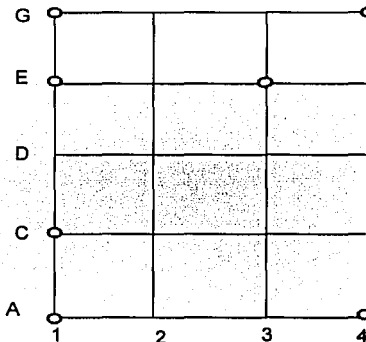
Edificio de acero

- 1.0(cm+cv)
- (cm+cv+sismo)
- (cm+cv-sismo)

Posteriormente, debido a que todo el análisis es en base a marcos planos, para tomar en cuenta los efectos bidireccionales del sismo se harán las combinaciones de 100% del sismo en una dirección y 30% en la otra, involucrando todas las combinaciones posibles de aplicación del sismo.

CAPITULO III. DISEÑO DE MIEMBROS

3.1 EFECTOS DE SEGUNDO ORDEN PARA COLUMNAS DE CONCRETO



○ Columnas a diseñar

Columna G-1

$k=$ 1.6
 $w=$ 2912.27 ton
 $H=$ 350 cm

**TESIS CON
FALLA DE ORIGEN**

DIRECCION	FZA. CORTANTE (ton)	Desplazamientos Laterales	
		sismo	cm + cv
X	10.44	14	0
Y	13.11	18	0

direccion X	fza. Cortante sup.	4.687 ton-m	cm+cvtotal	
			m1	-2.59
direccion Y	Momento sup.	2.274 ton	m2	4.687
	fza. Cortante Inf.	2.274 ton		
	Momento inf.	-2.59 ton-m		
	fza. Cortante sup.	0.9934 ton	m1	-2.059
	Momento sup.	-2.059 ton-m	m2	1.119
	fza. Cortante Inf.	0.9934 ton		
	Momento inf.	1.119 ton-m		
vertical		42.885 ton		

Direccion X

1) Cargas Gravitacionales.

Revision para ver si se pueden despreciar los efectos de esbeltez:

$$\Delta = 0 < H/1500 = 0.23333333$$

Se puede utilizar:

$$H/r < 34-12(m_1/m_2) \quad H'=kH$$

$$r=0.30^*h \quad h (\text{cm})=60 \quad r=18 \text{ cm.}$$

ESTA TESIS NO SALE
DE LA BIBLIOTECA

Columna G-1

k= 1.6
w= 2912.27 ton
H= 320 cm

****centro de tráves

DIRECCION	FZA. CORTANTE (ton)	Desplazamientos Laterales		
		sismo	cm + cv	
X	10.44	14	0	
Y	13.11	18	0	
		cm+cvtotal		
fza. Cortante sup.		2.274 ton		m1 -2.59
Momento sup.		4.687 ton-m		m2 4.687
fza. Cortante Inf.		2.274 ton		
Momento inf.		-2.59 ton-m		
fza. Cortante sup.		0.9934 ton		m1 -2.059
Momento sup.		-2.059 ton-m		m2 1.119
fza. Cortante Inf.		0.9934 ton		
Momento inf.		1.119 ton-m		
		42.885 ton		

dirección X

dirección Y

vertical

Direccion X

2) Cargas Laterales.

Revision para ver si se pueden despreciar los efectos de esbeltez si se cumple que;

$$\Delta \text{ entrepiso}/H \text{ entrepiso} \quad <= \quad 0.08 \text{ Ventrepiso}/W_u$$

$$\Delta \text{ entrepiso}/H \text{ entrepiso} = 0.044$$

$$0.08 \text{ Ventrepiso}/W_u = 0.0003$$

$$0.044 > 0.0003 \quad \text{Se deben considerar efectos de esbeltez}$$

$$F_{ax}=1+(W_u/H)/(R/Q - 1.20*W_u/H)$$

$$R=V/\Delta \quad \Delta=\text{Despl./Q} \quad 7.000 \text{ cm.}$$

$$R= 1.49 \text{ ton/cm}$$

$$W_u= 3203.497 \text{ ton}$$

$$F_{ax}= 0.124 < 1$$

$$F_{ax}= 1$$

**TESIS CON
FALLA DE ORIGEN**

Columna G-1

k= 1.75
w= 2912.27 ton
H= 350 cm

DIRECCION	FZA. CORTANTE (ton)	Desplazamientos Laterales		
		sismo	cm + cv	
X	10.44	14	0	
Y	13.11	18	0	
		cm+cvtotal		
fza. Cortante sup.		2.274 ton		m1 -2.59
Momento sup.		4.687 ton-m		m2 4.687
fza. Cortante Inf.		2.274 ton		
Momento inf.		-2.59 ton-m		
fza. Cortante sup.	0.9934 ton			m1 -2.059
Momento sup.	-2.059 ton-m			m2 1.119
fza. Cortante Inf.	0.9934 ton			
Momento inf.	1.119 ton-m			
		23.637 ton		

direccion X

direccion Y

vertical

Direccion Y

1) Cargas Gravitacionales.

Revision para ver si se pueden despreciar los efectos de esbeltez:

$$\Delta = 0 \quad < \quad H/1500 = 0.23333333 \quad \text{Se puede utilizar:}$$

$$H'/r < 34-12(m_1/m_2) \quad H'=kH$$

$$r=0.30^*h \quad h (\text{cm})= 60 \quad r= 18 \text{ cm.}$$

$$H'=kH= 612.5 \text{ cm}$$

$$H'/r= 34.03$$

$$34-12(m_1/m_2)= 56.08042895$$

$$H'/r= 34.03 \quad < \quad 56.080429 \quad \text{Se pueden despreciar los efectos de esbeltez}$$

Faby= 1

**TESIS CON
FALLA DE ORIGEN**

Columna G-1

k= 1.75
 w= 2912.27 ton
 H= 325 cm ****centro de tráves

DIRECCION	FZA. CORTANTE (ton)	Desplazamientos Laterales		
		sismo	cm + cv	
X	10.44	14	0	
Y	13.11	18	0	

cm+cvtotal

fza. Cortante sup.	2.274 ton
Momento sup.	4.687 ton-m
fza. Cortante Inf.	2.274 ton
Momento inf.	-2.59 ton-m
fza. Cortante sup.	0.9934 ton
Momento sup.	-2.059 ton-m
fza. Cortante Inf.	0.9934 ton
Momento inf.	1.119 ton-m

23.637 ton

dirección X
dirección Y
vertical

Direccion Y

2) Cargas Laterales.

Revision para ver si se pueden despreciar los efectos de esbeltez si se cumple que:

$$\Delta \text{ entrepiso}/H \text{ entrepiso} \quad \leq \quad 0.08 \text{ Ventrepiso}/W_u$$

$$\Delta \text{ entrepiso}/H \text{ entrepiso}= \quad 0.055$$

$$0.08 \text{ Ventrepiso}/W_u= \quad 0.0003$$

$$0.055 \quad > \quad 0.0003 \quad \text{Se deben considerar efectos de esbeltez}$$

$$F_{asy}=1+(W_u/H) / (R/Q - 1.20^*W_u/H)$$

$$R=V/\Delta \quad \Delta=\text{Despl.}/Q \quad 9.000 \text{ cm.}$$

$$R= \quad 1.46 \text{ ton/cm}$$

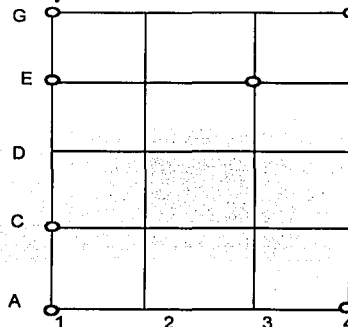
$$W_u= \quad 3203.497 \text{ ton}$$

$$F_{asx}= \quad 0.124 \quad < \quad 1$$

$$F_{asx}= \quad 1$$

**TESIS CON
FALLA DE ORIGEN**

Ahora calculando para el 3er. Nivel:



○ Columnas a diseñar

Columna A-1

k= 2.67
w= 1686.239 ton
H= 380 cm

DIRECCION	FZA. CORTANTE (ton)	Desplazamientos Laterales		
		sismo	cm + cv	
X	43.29	7.2	0	
Y	41.58	10	0	

dirección X	fza. Cortante sup.	-3.3139 ton	cm+cvtotal	
			m1	-5.285
	Momento sup.	-5.285 ton-m	m2	5.319
	fza. Cortante Inf.	-3.3139 ton		
	Momento inf.	5.319 ton-m		
	fza. Cortante sup.	2.0194 ton	m1	-3.2364
	Momento sup.	3.2258 ton-m	m2	3.2258
	fza. Cortante Inf.	2.0194 ton		
	Momento inf.	-3.2364 ton-m		
		25.072 ton		

Direccion X

1) Cargas Gravitacionales.

Revision para ver si se pueden despreciar los efectos de esbeltez:

$$\Delta = \frac{0}{H/1500} = 0.25333333$$

Se puede utilizar:

$$H'/r < 34-12(m_1/m_2) \quad H' = kH$$

$$r = 0.30 \cdot h \quad h \text{ (cm)} = 60 \quad r = 18 \text{ cm.}$$

$$H' = kH = 1014.6 \text{ cm}$$

$$H'/r = 56.37$$

$$34-12(m_1/m_2) = 45.92329385$$

$$H'/r = 56.37 > 45.92329385$$

Se deben considerar los efectos de esbeltez

TESIS CON
FALLA DE ORIGEN

$$F_{ab} = C_m / (1 - p_u / p_c) \geq 1.0$$

$$C_m = 0.60 + 0.4(M_1/M_2) \geq 0.40$$

$$C_m = 0.202556872 < 0.4$$

$$\text{Entonces: } C_m = 0.4$$

$$P_c = F_R \pi^2 EI / (H'^2)$$

$$EI = 0.40 E I g / (1 + v) \quad E = 10000 (f'_c)^{0.5} \quad E = 141421.356 \text{ kg/cm}^2$$

$$I_g = 60^4 / 12 = 1080000 \text{ cm}^4$$

$v = M_o \cdot \text{Max. Carga Muerta} / M_o \cdot \text{Max. Carga total}$

$$M_o \cdot \text{Max. Carga muerta} = 4.84$$

$$M_o \cdot \text{Max. Carga total} = 5.32$$

$$v = 0.9091$$

$$EI = 3.20E+10 \text{ kg} \cdot \text{cm}^2$$

$$P_c = 245455.1307$$

$$P_u = F_C * P \quad F_C = 1.4$$

$$P_u = 35100.8$$

$$F_{abx} = 0.466746047 < 1$$

$$F_{abx} = 1$$

TESIS CON
FALLA DE ORIGEN

Columna A-1

k= 2.67
 w= 1686.239 ton
 H= 350 cm ****centro de tráves

DIRECCION	FZA. CORTANTE (ton)	Desplazamientos Laterales		
		sismo	cm + cv	
X	43.29	7.2	0	
Y	41.58	10	0	

	cm+cvtotal		cm+cvtotal
fza. Cortante sup.	-3.3139 ton	m1	-5.285
Momento sup.	-5.285 ton-m	m2	5.319
fza. Cortante Inf.	-3.3139 ton		
Momento inf.	5.319 ton-m		
fza. Cortante sup.	2.0194 ton	m1	-3.2364
Momento sup.	3.2258 ton-m	m2	3.2258
fza. Cortante Inf.	2.0194 ton		
Momento inf.	-3.2364 ton-m		
	25.072 ton		

Direccion X

2) Cargas Laterales.

Revision para ver si se pueden despreciar los efectos de esbeltez si se cumple que:

$$\Delta \text{ entrepiso}/H \text{ entrepiso} \quad \leq \quad 0.08 \text{ Ventrepiso}/W_u$$

$$\Delta \text{ entrepiso}/H \text{ entrepiso} = 0.021$$

$$0.08 \text{ Ventrepiso}/W_u = 0.0019$$

$$0.021 > 0.0019 \quad \text{Se deben considerar efectos de esbeltez}$$

$$F_{ax}=1+(W_u/H)/(R/Q - 1.20^*W_u/H)$$

$$R=V/\Delta \quad \Delta=\text{Despl./Q} \quad 3.600 \text{ cm.}$$

$$R= 12.03 \text{ ton/cm}$$

$$W_u= 1854.8629 \text{ ton}$$

$$F_{ax}=-14.271 < 1$$

$$F_{ax}= 1.000$$

**TESIS CON
FALLA DE ORIGEN**

H= 380 cm

DIRECCION	FZA. CORTANTE (ton)	Desplazamientos Laterales	
		sismo	cm + cv
X	43.29	7.2	0
Y	41.58	10	0
		cm+cvtotal	
fza. Cortante sup.	-3.3139 ton		
Momento sup.	-5.285 ton-m	m1	-5.285
fza. Cortante Inf.	-3.3139 ton	m2	5.319
Momento inf.	5.319 ton-m		
fza. Cortante sup.	2.0194 ton	m1	-3.2364
Momento sup.	3.2258 ton-m	m2	3.2258
fza. Cortante Inf.	2.0194 ton		
Momento inf.	-3.2364 ton-m		
		18.093 ton	

direccion X

direccion Y

vertical

Direccion Y

1) Cargas Gravitacionales.

Revision para ver si se pueden despreciar los efectos de esbeltez:

$$\Delta = 0 < H/1500 = 0.25333333$$

Se puede utilizar.

$$H/r < 34-12(m1/m2)$$

$$H=kH$$

$$r=0.30^*h \quad h \text{ (cm)}= 60 \quad r= 18 \text{ cm.}$$

$$H=kH= 1254 \text{ cm}$$

$$H/r= 69.67$$

$$34-12(m1/m2)= 46.03943208$$

$$H/r= 69.67 > 46.0394321$$

Se deben considerar los efectos de esbeltez

$$Fab= Cm/(1-pu/pc) \geq 1.0$$

$$Cm=0.60+0.4(M1/M2) \geq 0.40$$

$$Cm= 0.198685597 < 0.4$$

$$\text{Entonces: } Cm= 0.4$$

$$Pc=FR \pi^2 EI/(H^2)$$

$$EI=0.40EIg/(1+v) \quad E=10000(f_c)^{0.5} \quad f_c=200 \text{ kg/cm}^2 \quad E= 141421.356 \text{ kg/cm}^2$$

$$Ig=60^4/12= 1080000 \text{ cm}^4$$

$$v=M_o. \text{ Max. Carga Muerta}/M_o. \text{ Max. Carga total}$$

$$\begin{aligned} M_o. \text{ Max. Carga muerta} &= 2.74 \\ M_o. \text{ Max. Carga total} &= 3.23 \end{aligned}$$

$$v= 0.85$$

$$EI= 3.30E+10 \text{ kg} \cdot \text{cm}^2$$

$$Pc= 165814.9586$$

$$Pu=FC \cdot P \quad FC=1.4$$

$$Pu= 25330.2$$

$$Faby= 0.47212227$$

$$<$$

$$1$$

$$Faby= 1$$

TESIS CON
FALLA DE ORIGEN

Columna A-1

k= 3.3
 w= 1686.239 ton
 H= 355 cm ****centro de tráves

DIRECCION	FZA. CORTANTE (ton)	Desplazamientos Laterales		
		sismo	cm + cv	
X	43.29	7.2	0	
Y	41.58	10	0	

cm+cvtotal
 fza. Cortante sup. -3.3139 ton
 Momento sup. -5.285 ton-m
 fza. Cortante Inf. -3.3139 ton
 Momento Inf. 5.319 ton-m
 fza. Cortante sup. 2.0194 ton
 Momento sup. 3.2258 ton-m
 fza. Cortante Inf. 2.0194 ton
 Momento Inf. -3.2364 ton-m

 18.093 ton

dirección +
dirección Y
vertical

Dirección Y

2) Cargas Laterales.

Revisión para ver si se pueden despreciar los efectos de esbeltez si se cumple que:

$\Delta_{\text{entrepiso}}/H_{\text{entrepiso}}$ <= 0.08 $V_{\text{entrepliso}}/W_u$

$\Delta_{\text{entrepiso}}/H_{\text{entrepiso}} = 0.028$

0.08 $V_{\text{entrepliso}}/W_u = 0.0018$

0.028 > 0.0018 Se deben considerar efectos de esbeltez

$F_{\text{asy}} = 1 + \left(\frac{W_u}{H} / (R/Q - 1.20 \cdot W_u/H) \right)$

$R = V/I \Delta$ $\Delta = \text{Despl.}/Q$ 5.000 cm.

$R = 8.32 \text{ ton/cm}$

$W_u = 1854.8629 \text{ ton}$

$F_{\text{asx}} = -1.474 < 1$

F_{asx}= 1.000

**TESIS CON
FALLA DE ORIGEN**

E F E C T O S D E S E G U N D O O R D E N

1 E R . N I V E L				
COLUMNA	FABX	FABY	FASX	FASY
A-1	1.00	1.00	1.00	1.00
C-1	1.00	1.00	1.00	1.00
E-1	1.00	1.00	1.00	1.00
G-1	1.00	1.00	1.00	1.00
E-3	1.00	1.00	1.00	1.00
A-4	1.00	1.00	1.00	1.00
G-4	1.00	1.00	1.00	1.00

3 E R . N I V E L				
COLUMNA	FABX	FABY	FASX	FASY
A-1	1.00	1.00	1.00	1.00
C-1	1.00	1.00	1.00	1.00
E-1	1.00	1.00	1.00	1.00
G-1	1.00	1.00	1.00	1.00
E-3	1.00	1.00	1.00	1.00
A-4	1.00	1.00	1.00	1.00
G-4	1.00	1.00	1.00	1.00

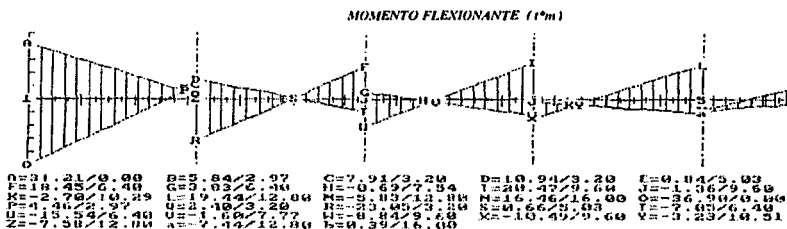
En algunos casos, principalmente ante fuerzas laterales, los factores de amplificación resultaron menores a 1.00, por lo que los efectos de segundo orden, para nuestro caso, no son importantes.

TESIS CON
FALLA DE ORIGEN

3.2 ENVOLVENTES DE DISEÑO, EDIFICIO DE CONCRETO

COLUMNA 1-A

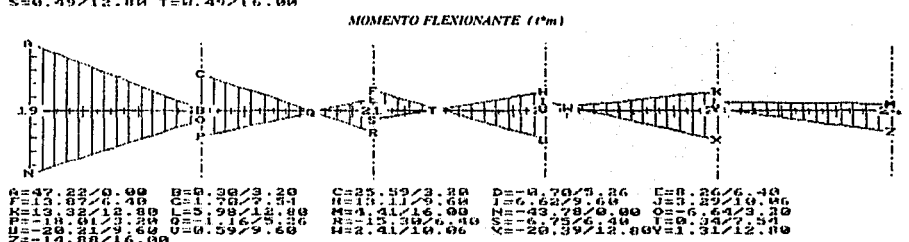
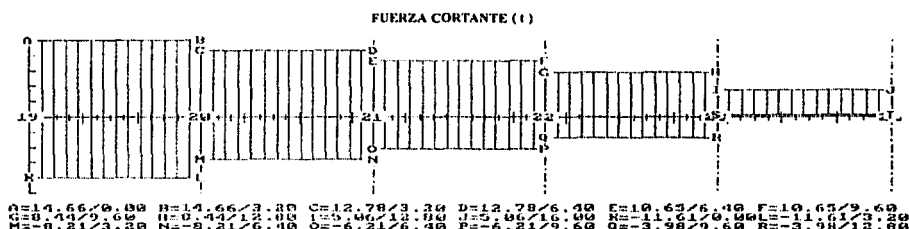
ENVOLVENTES



COLUMNA A-1

**TESIS CON
FALLA DE ORIGEN**

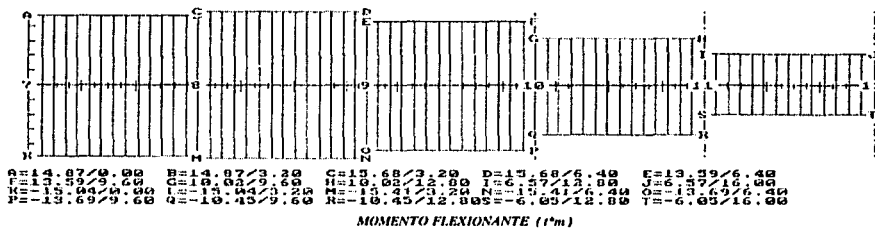
ENVOLVENTES



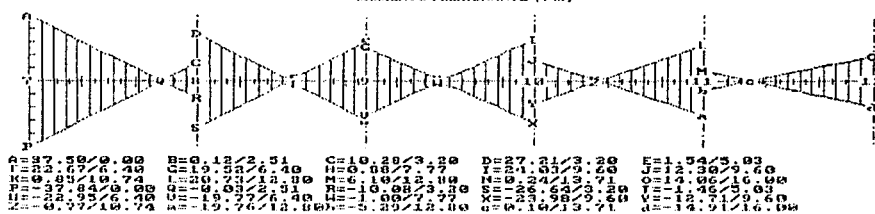
COLUMNA 1-C

EN VOLVENTES

FUERZA CORTANTE (t)



MOMENTO FLEXIONANTE (t²m)

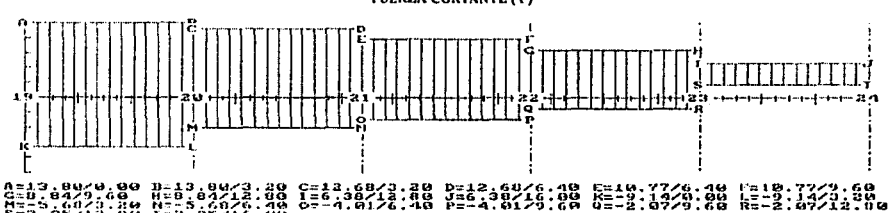


COLUMNA C-1

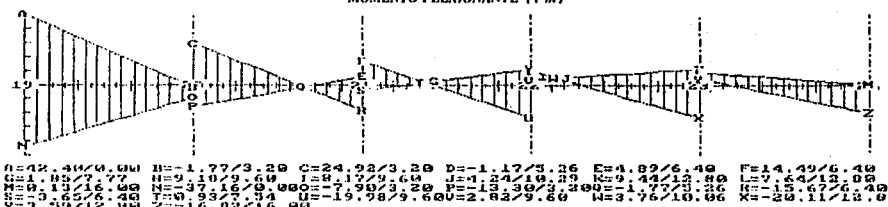
**TESIS CON
FALLA DE ORIGEN**

EN VOLVENTES

FUERZA CORTANTE (t)



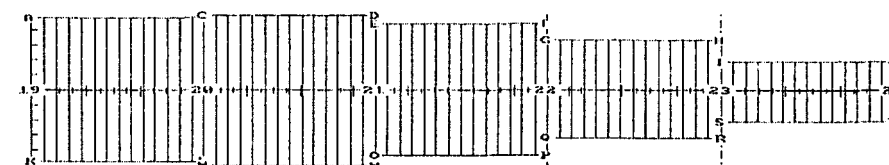
MOMENTO FLEXIONANTE (t²m)



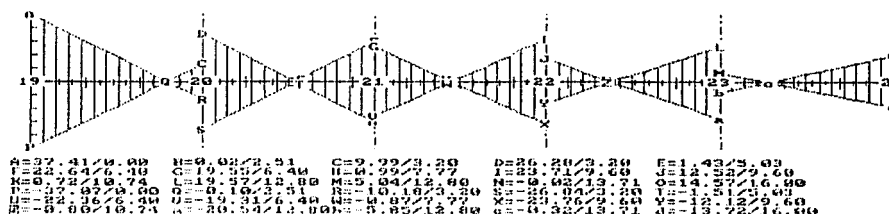
COLUMNA 1-E

EN VOLVENTES

FUERZA CORTANTE (t)



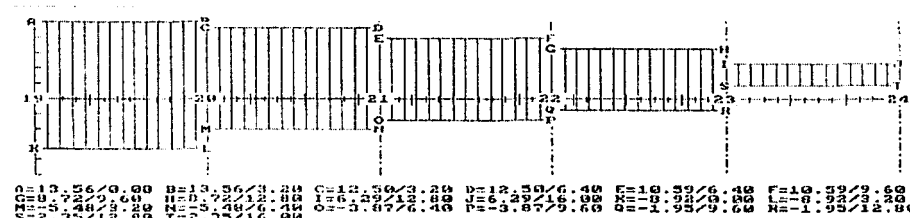
MOMENTO FLEXIONANTE (t·m)



COLUMNA E-1

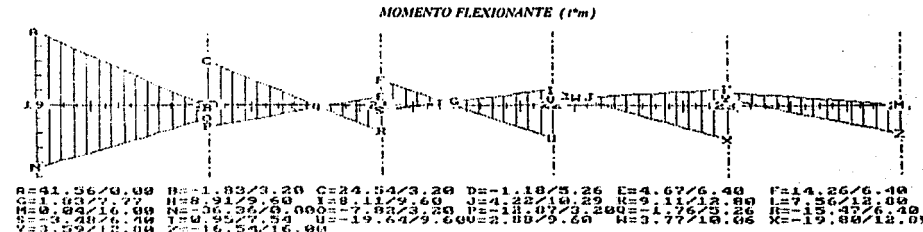
EN VOLVENTES

FUERZA CORTANTE (t)

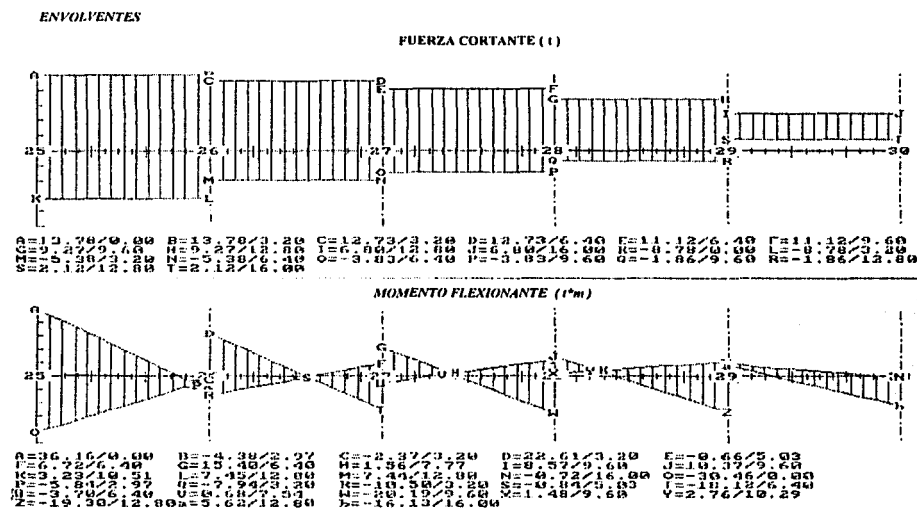


**TESIS CON
FILA DE ORIGEN**

MOMENTO FLEXIONANTE (t·m)

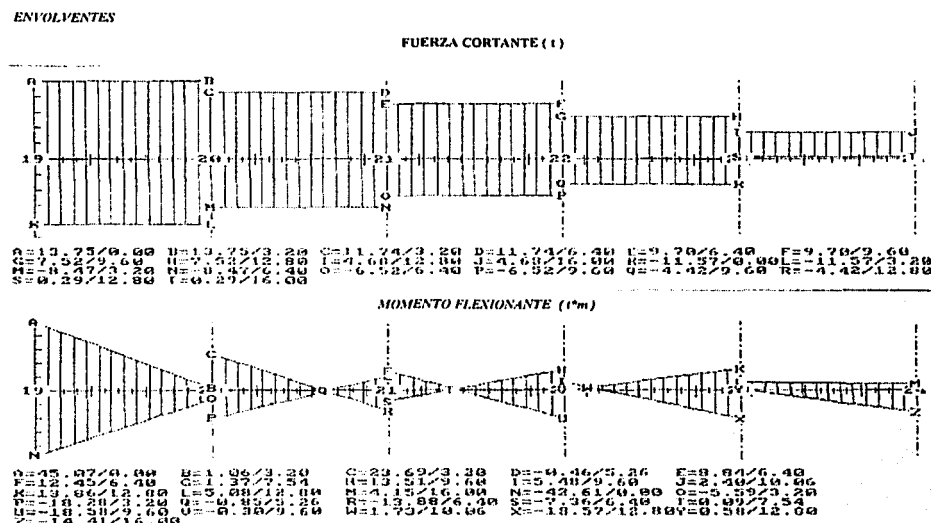


COLUMNA 1-G



COLUMNA G-1

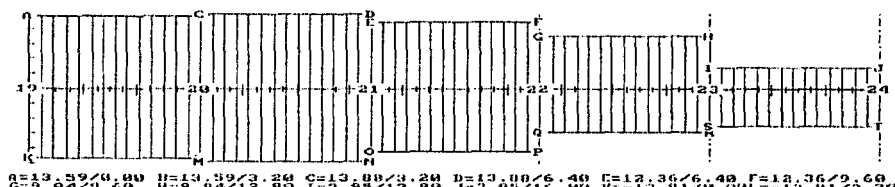
**TESIS CON
FALLA DE ORIGEN**



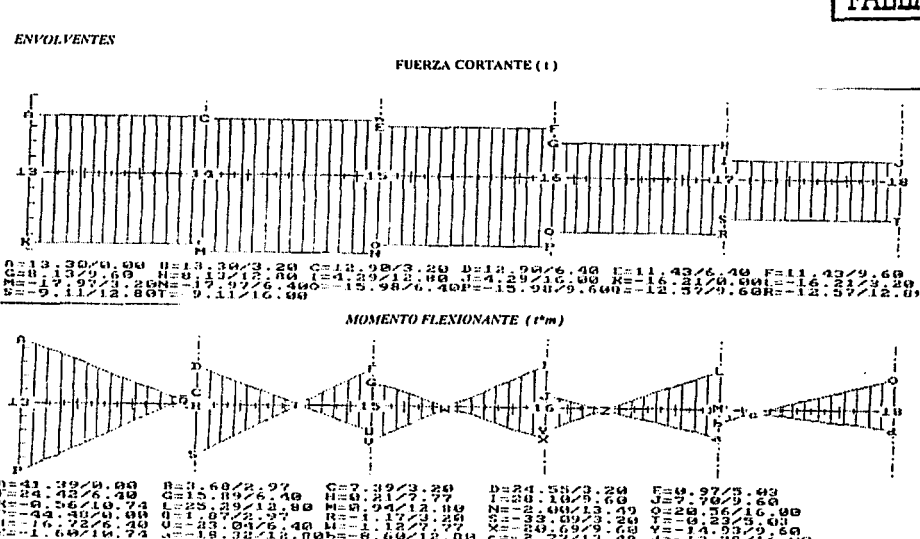
COLUMNA 2-E

EN VOLVENTES

FUERZA CORTANTE (t)



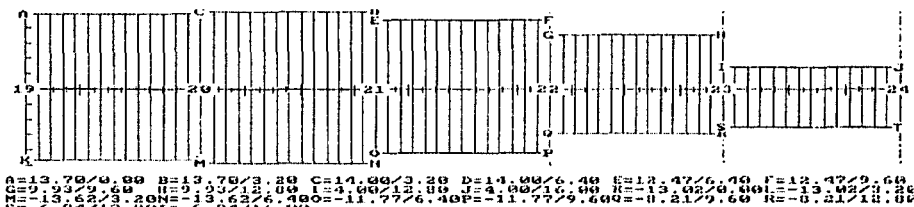
TESIS CON
FALLA DE ORIGEN



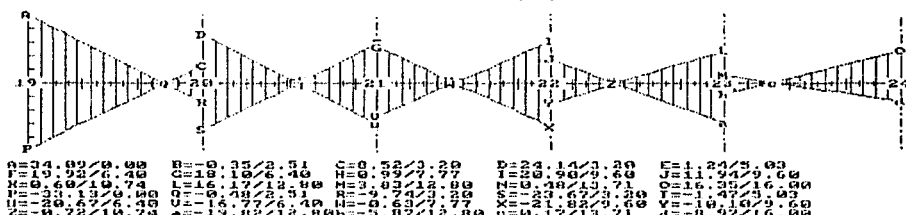
COLUMNA 3-E

ENVOLVENTES

FUERZA CORTANTE (t)



MOMENTO FLEXIONANTE (t^m)

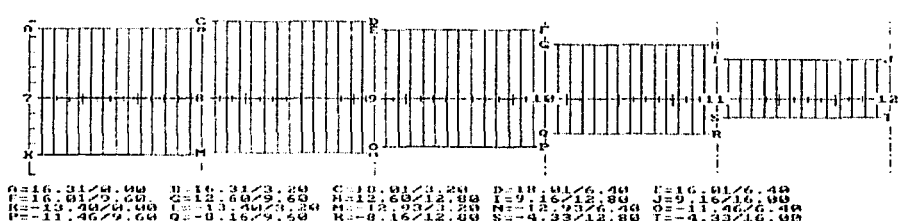


COLUMNA E-3

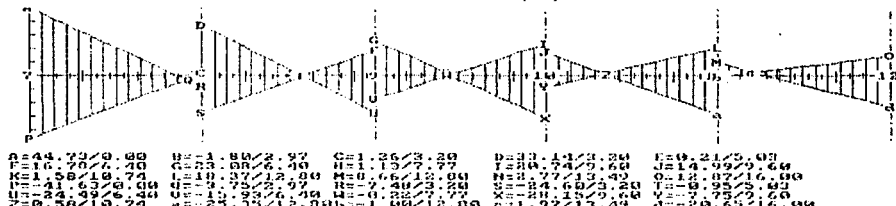
**TESIS CON
FALLA DE ORIGEN**

ENVOLVENTES

FUERZA CORTANTE (t)



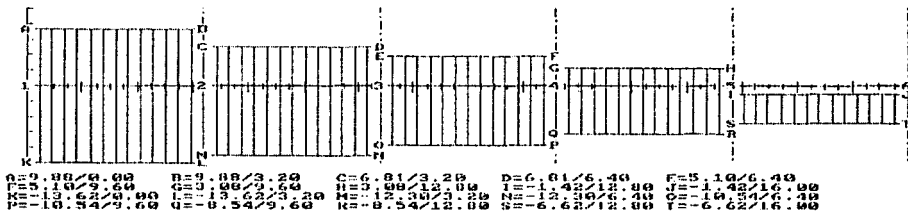
MOMENTO FLEXIONANTE (t^m)



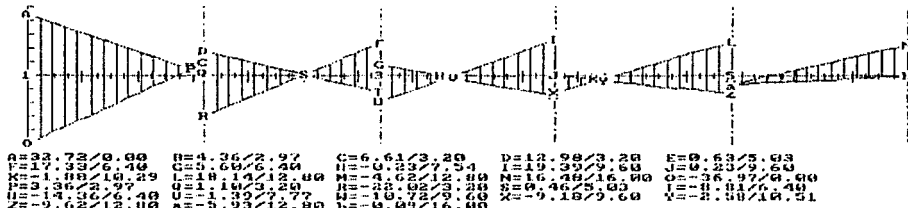
COLUMN 4-A

EN VOLVENTES

FUERZA CORTANTE (t)



MOMENTO FLEXIONANTE (t^{m})

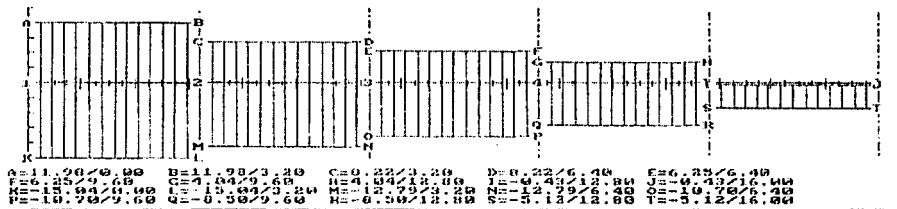


COLUMN A-4

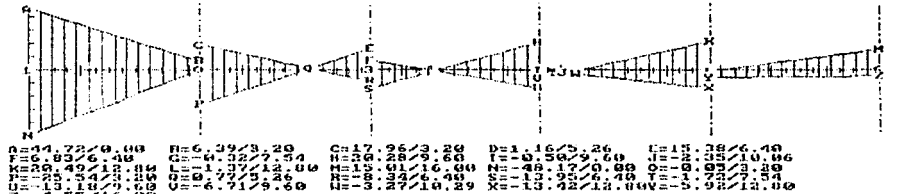
**TESIS CON
FALLA DE ORIGEN**

ENVELOPES

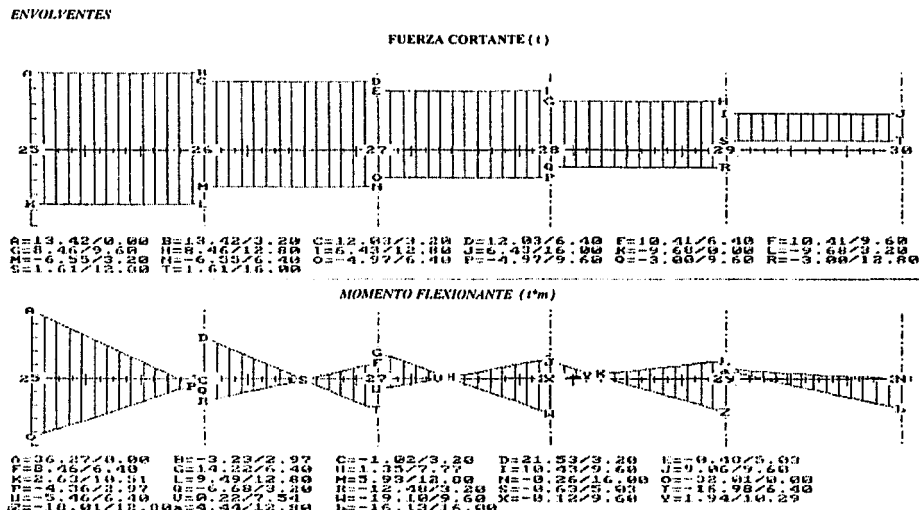
FUERZA CORTANTE (t)



MOMENTO FLEXIONANTE ($t^{\circ}m$)

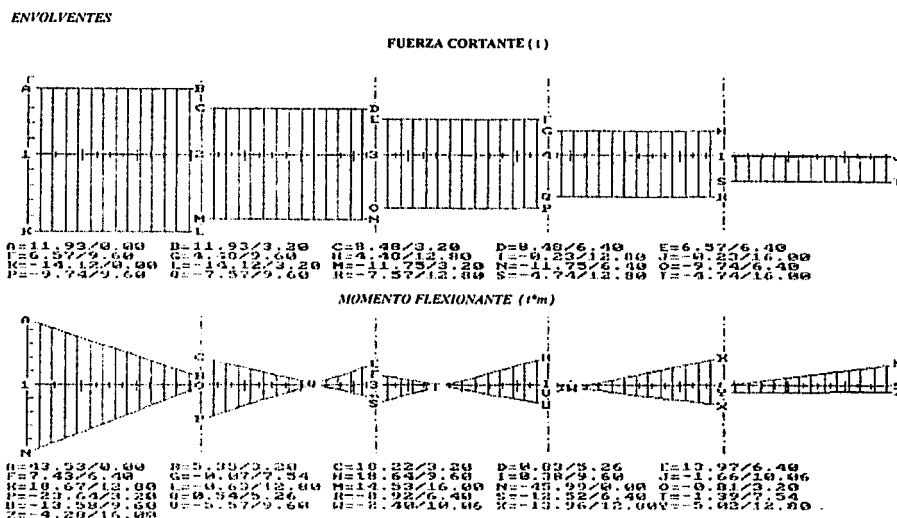


COLUMN 4-G



**TESIS CON
FALLA DE ORIGEN**

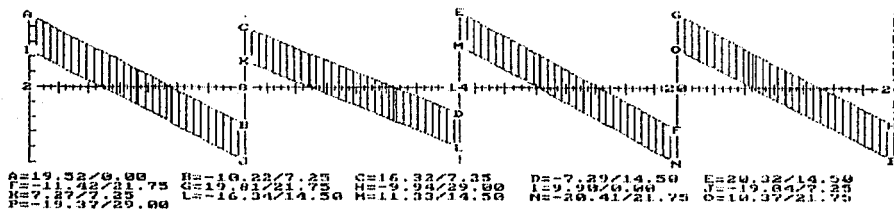
COLUMN G-4



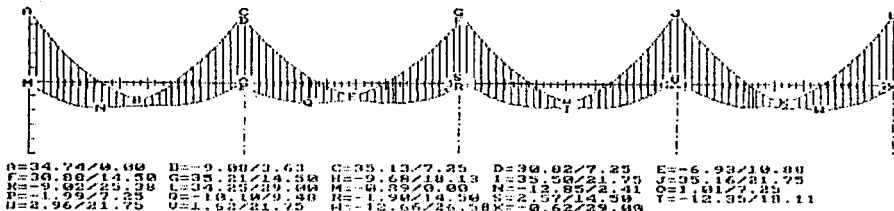
TRABE NIVEL 1, MARCO 3, ELEMENTO 28

ENVOLVENTES

FUERZA CORTANTE (t)



MOMENTO FLEXIONANTE (t^m)

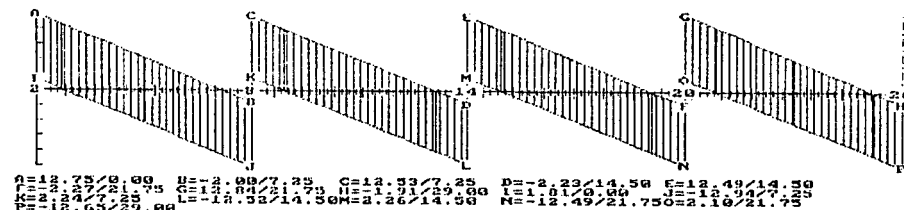


TESIS CON
FALLA DE ORIGEN

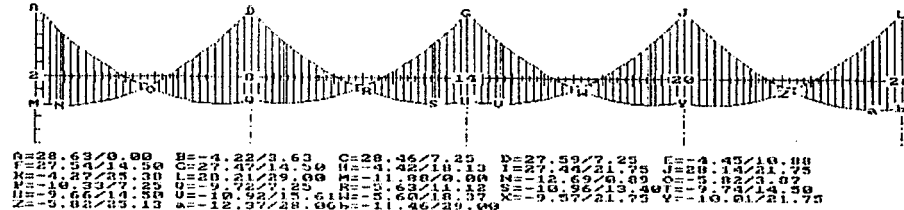
TRABE NIVEL 1, MARCO 4, ELEMENTO 28

ENVOLVENTES

FUERZA CORTANTE (t)



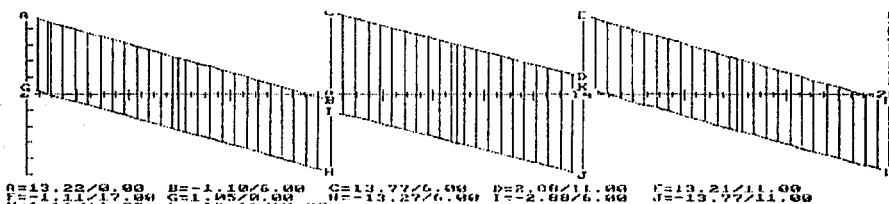
MOMENTO FLEXIONANTE (t^m)



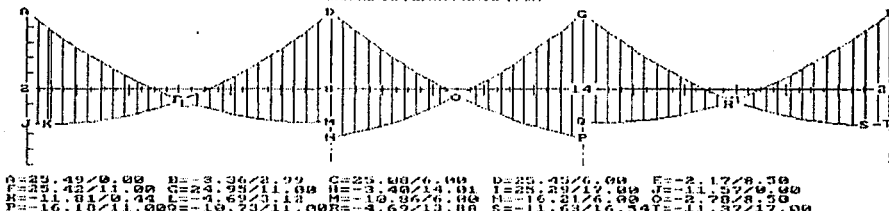
TRABE NIVEL 1, MARCO A, ELEMENTO 21

EN VOLVENTES

FUERZA CORTANTE (t)



MOMENTO FLEXIONANTE (t^m)

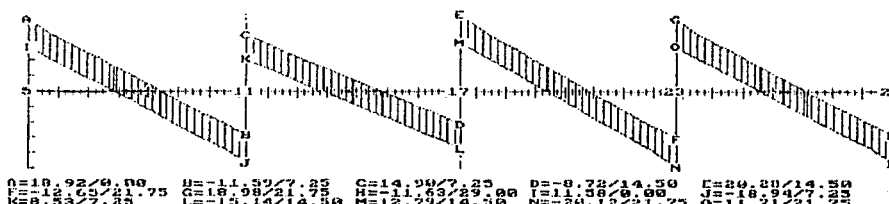


TRABE NIVEL 4, MARCO 3, ELEMENTO 40

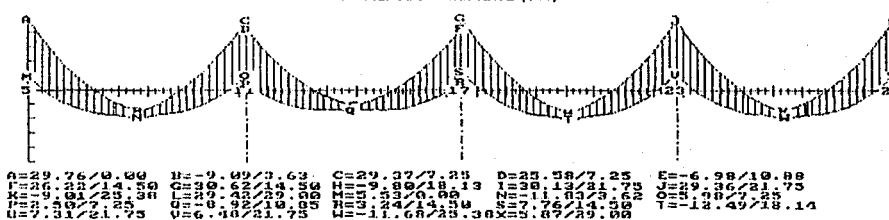
TESIS CON
FALLA DE ORIGEN

EN VOLVENTES

FUERZA CORTANTE (t)



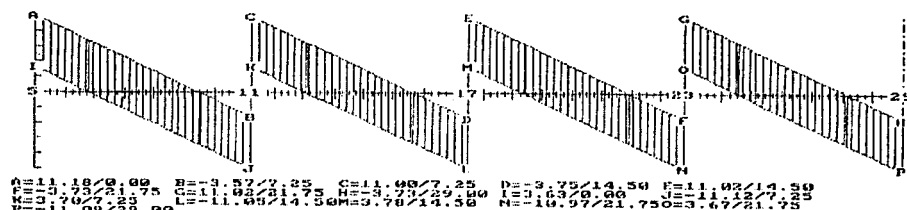
MOMENTO FLEXIONANTE (t^m)



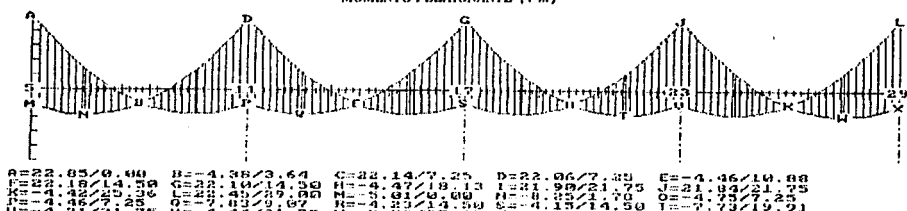
TRABE NIVEL 4, MARCO 4, ELEMENTO 40

EN VOLVENTES

FUERZA CORTANTE (t)



MOMENTO FLEXIONANTE (t·m)

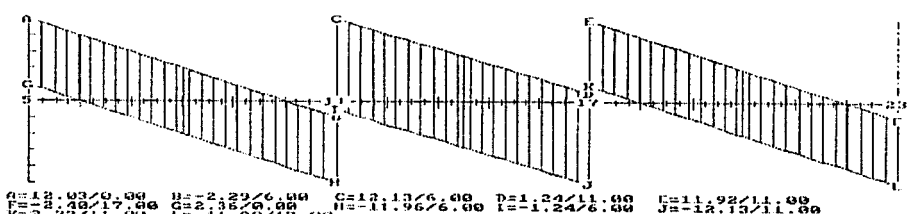


TRABE NIVEL 4, MARCO A, ELEMENTO 30

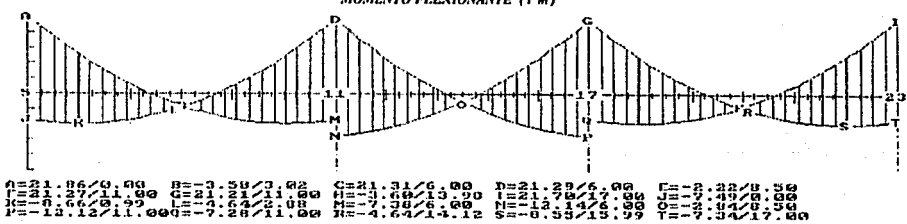
**TESIS CON
FALLA DE ORIGEN**

EN VOLVENTES

FUERZA CORTANTE (t)



MOMENTO FLEXIONANTE (t·m)

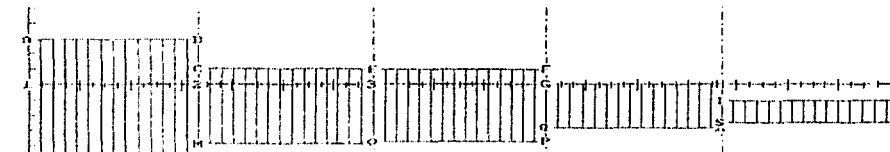


3.3 ENVOLVENTES DE DISEÑO, EDIFICIO DE ACERO:

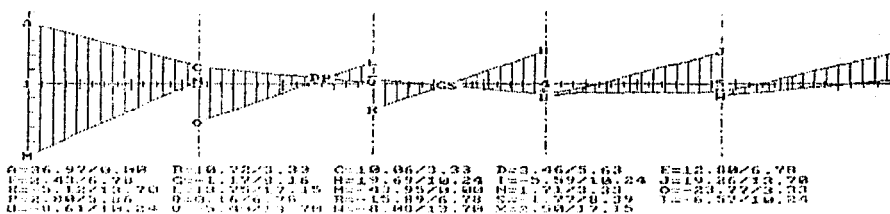
COLUMNA 1-A

ENVOLVENTES

FUERZA CORTANTE (t)



MOMENTO FLEXIONANTE (t²m)

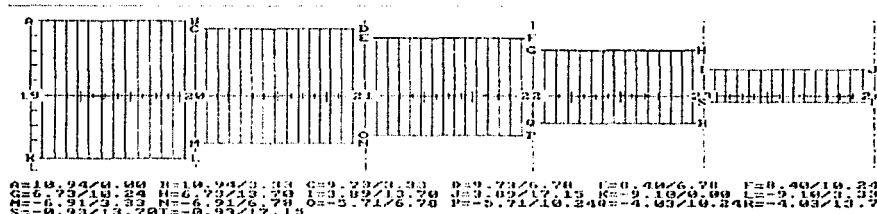


COLUMNA A-1

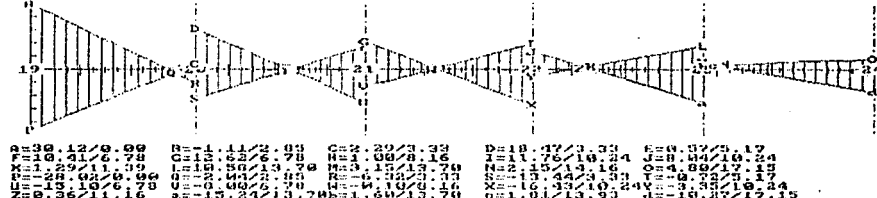
**TESIS CON
FALLA DE ORIGEN**

ENVOLVENTES

FUERZA CORTANTE (t)

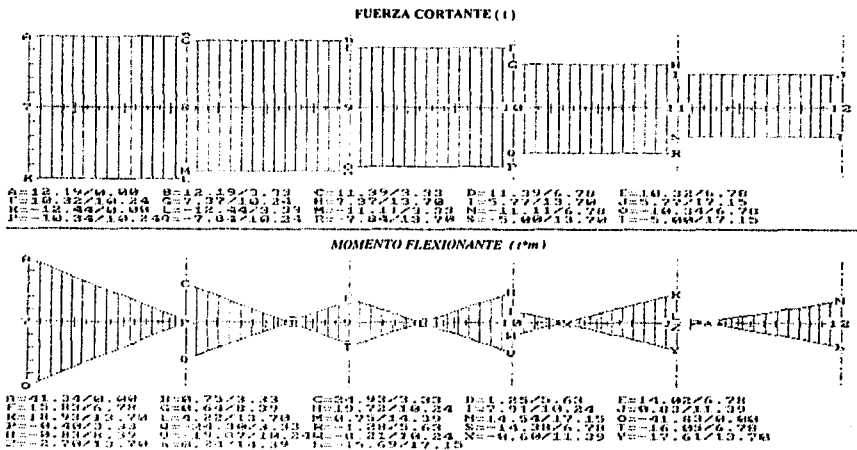


MOMENTO FLEXIONANTE (t²m)



COLUMN A 1-C

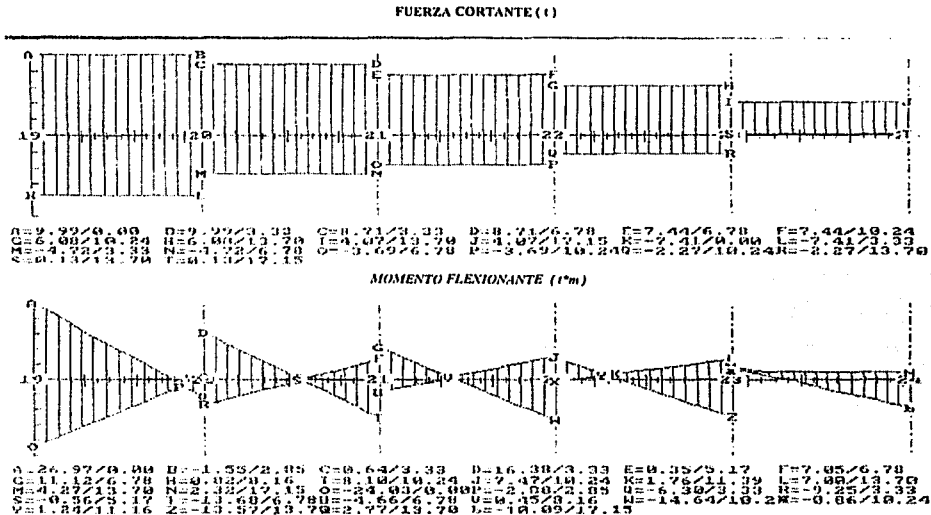
EN VOLVENTES



COLUMN C-1

**TESIS CON
FALLA DE ORIGEN**

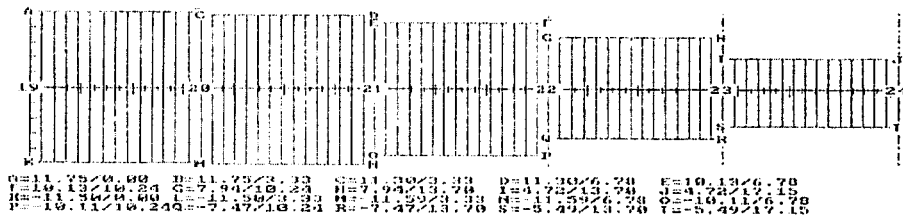
ENVELOPES



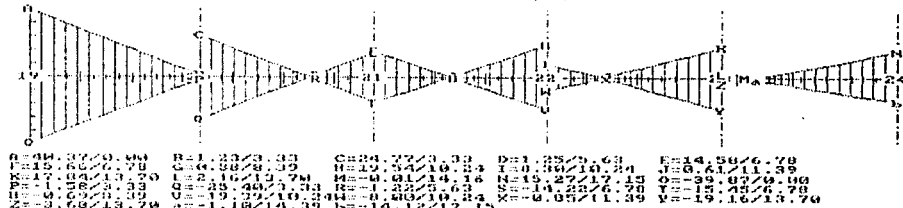
COLUMNA 1-E

EN VOLVENTES

FUERZA CORTANTE (t)



MOMENTO FLEXIONANTE (t^m)

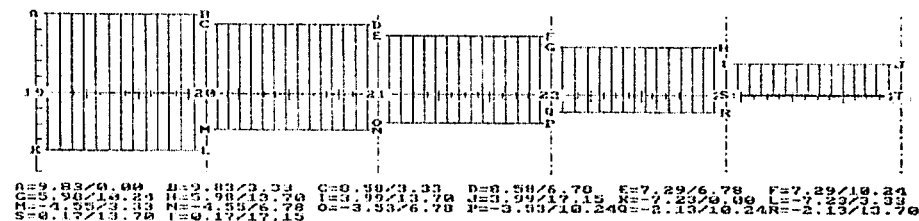


COLUMNA 1-E

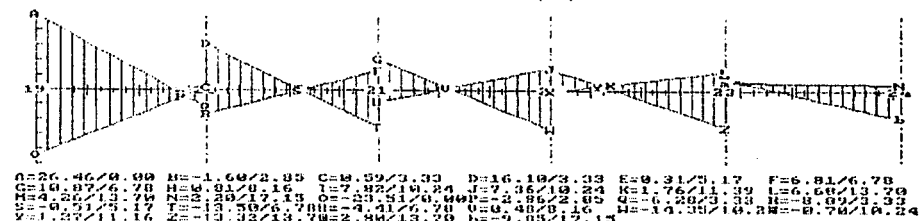
**TESIS CON
FALLA DE ORIGEN**

EN VOLVENTES

FUERZA CORTANTE (t)



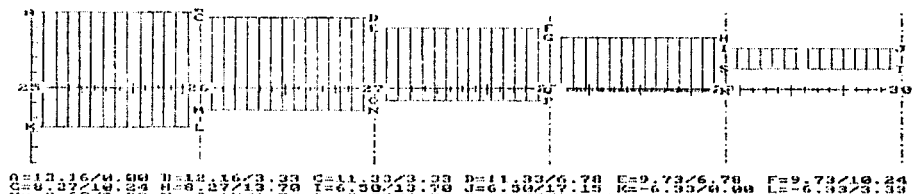
MOMENTO FLEXIONANTE (t^m)



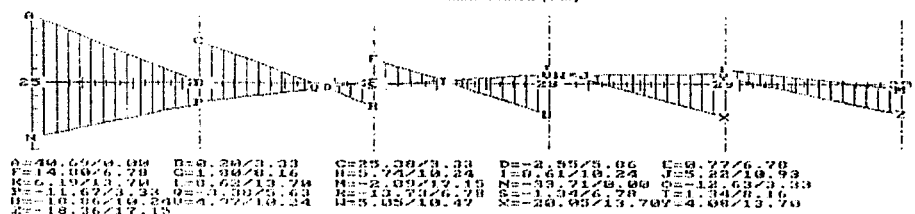
COLUMNA 1-G

ENVOLVENTES

FUERZA CORTANTE (t)



MOMENTO FLEXIONANTE (t²m)

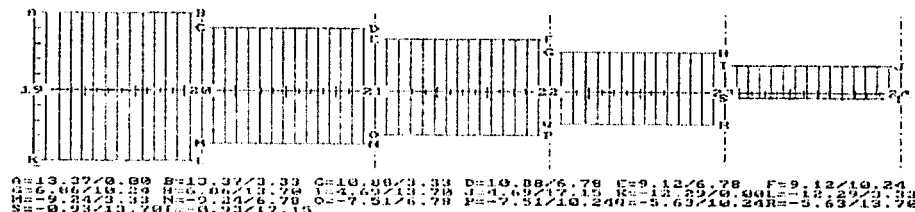


COLUMNA G-1

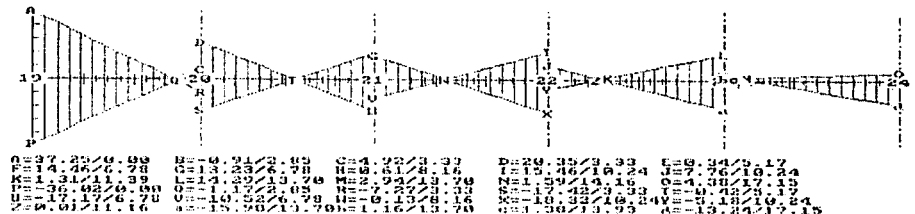
**TESIS CON
FALLA DE ORIGEN**

ENVOLVENTES

FUERZA CORTANTE (t)



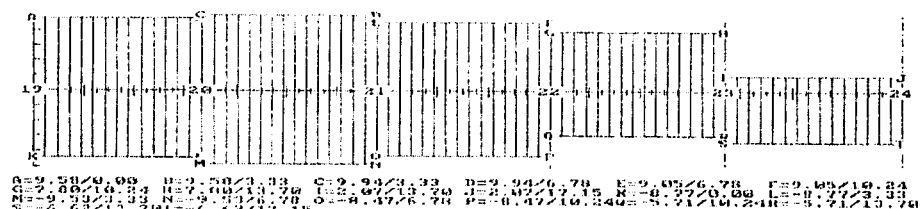
MOMENTO FLEXIONANTE (t²m)



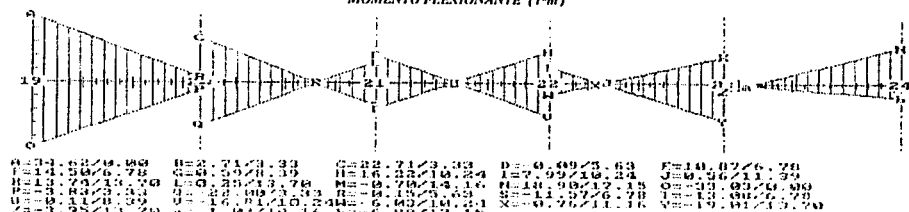
COLUMNA 2-E

ENVOLVENTES

FUERZA CORTANTE (t)



MOMENTO FLEXIONANTE (1^{pm})

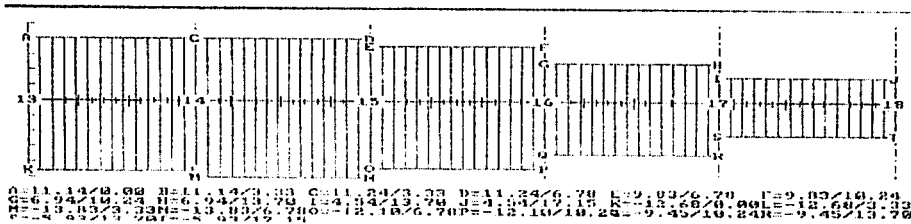


COLUMNA E-2

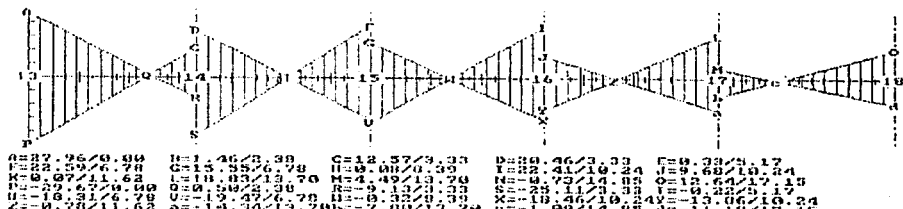
TESIS CON
FALLA DE ORIGEN

ENVOLVENTES

FUERZA CORTANTE (t)

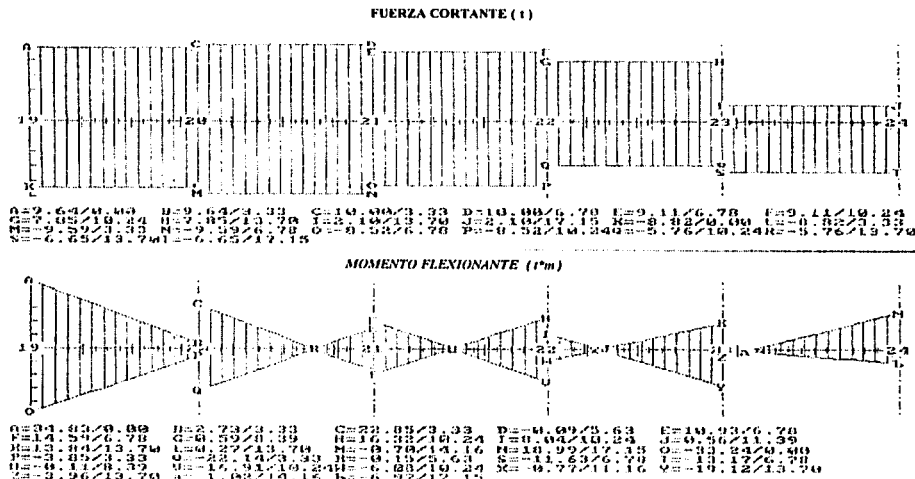


MOMENTO FLEXIONANTE (1^{pm})



COLUMN A 3-E

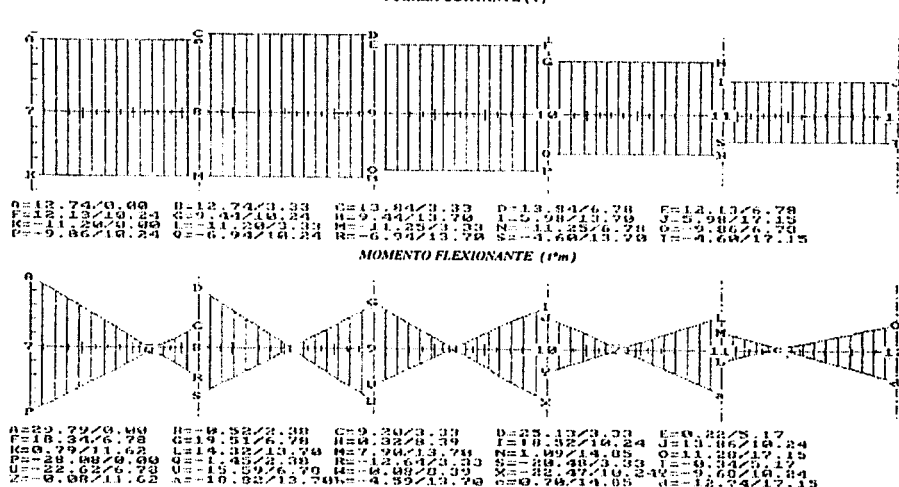
ENVOLVENTES



**TESIS CON
FALLA DE ORIGEN**

COLUMN E-3

ENVIRONNEMENTS



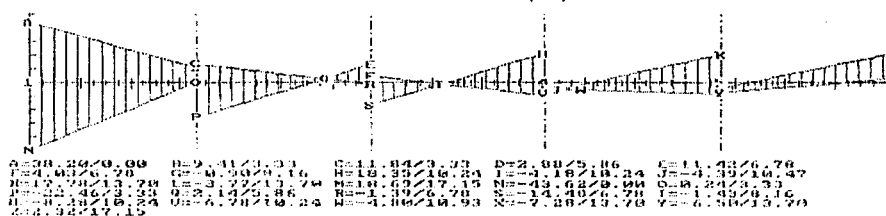
COLUMNA 4-A

ENVOLVENTES

FUERZA CORTANTE (t)



MOMENTO FLEXIONANTE (t^m)

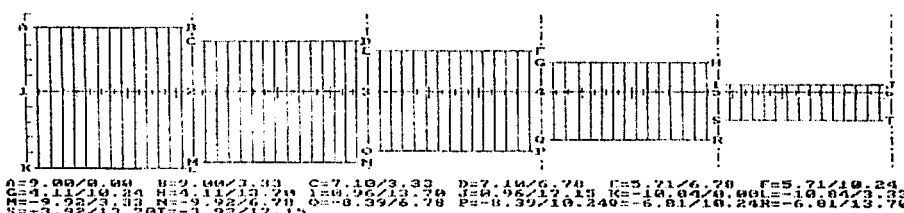


**TESIS CON
FALLA DE ORIGEN**

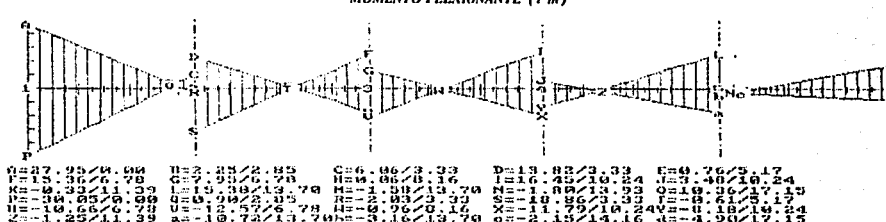
COLUMNA A-4

ENVOLVENTES

FUERZA CORTANTE (t)

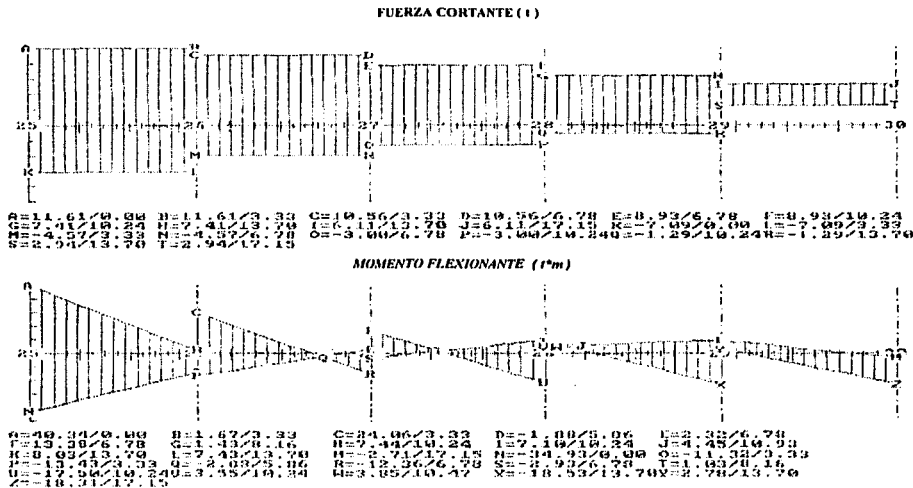


MOMENTO FLEXIONANTE (t^m)



COLUMN 4-G

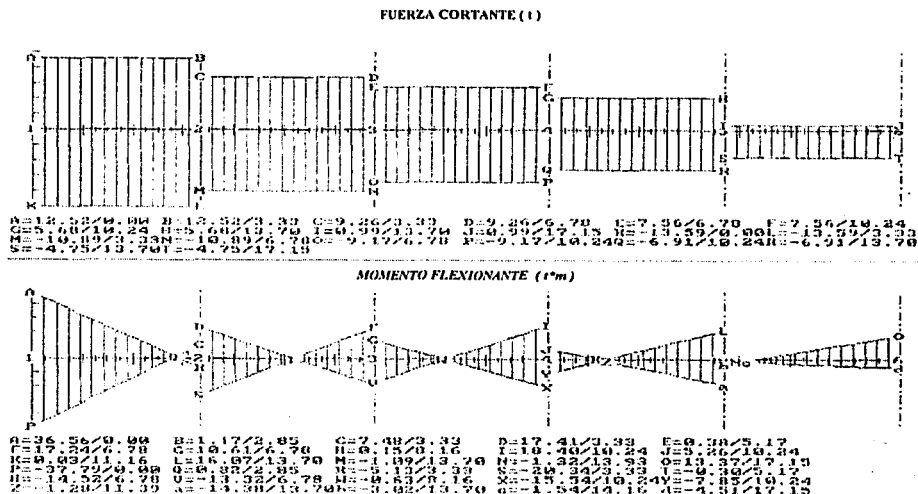
EN VOLVENTES



TESIS CON FALLA DE ORIGEN

COLUMN G-4

ENVELOPES



TRABE NIVEL 1, MARCO 3, ELEMENTO 28

ENVELOPES

FUERZA CORTANTE (1)



MOMENTO FLEXIONANTE (1^o m)

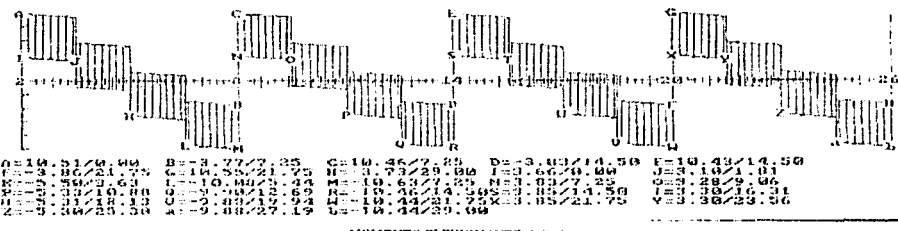


TESIS CON FALLA DE ORIGEN

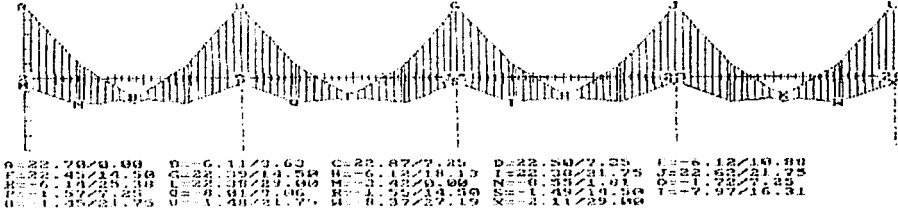
TRABE NIVEL 1, MARCO 4, ELEMENTO 28

ENVOLVENTES

FUERZA CORTANTE (U)



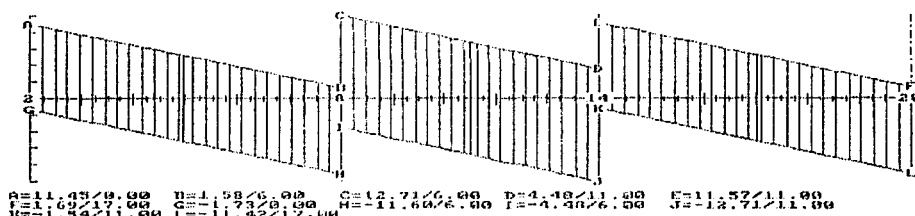
MOMENTO FLEXIONANTE (t^{m})



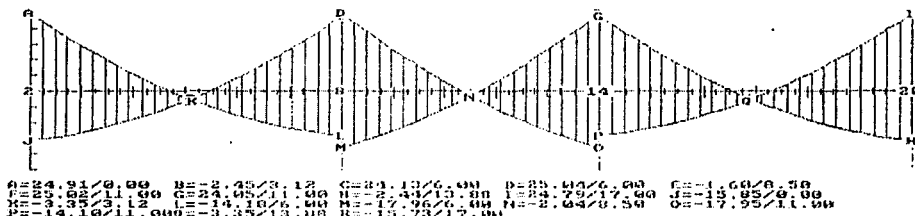
TRABE NIVEL 1, MARCO A, ELEMENTO 21

EN VOLVENTES

FUERZA CORTANTE (t)



MOMENTO FLEXIONANTE (cm^3)

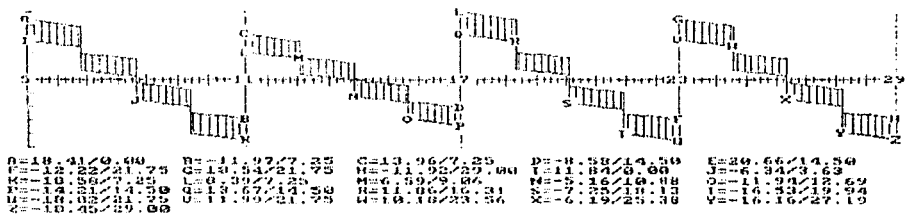


TESIS CON
FALLA DE ORIGEN

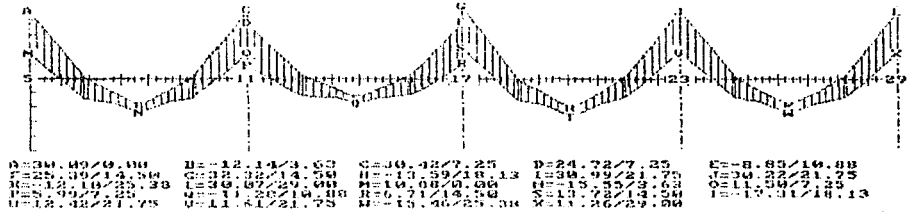
TRABE NIVEL 4, MARCO 3, ELEMENTO 40

EN VOLVENTES

FUERZA CORTANTE (t)



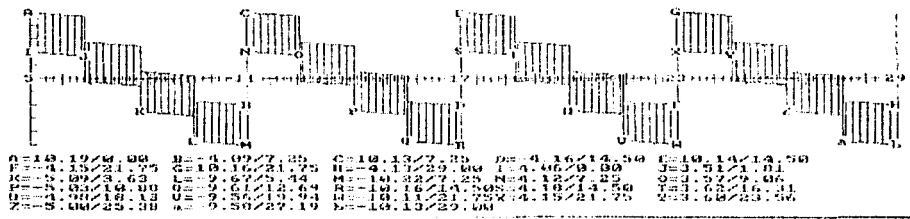
MOMENTO FLEXIONANTE (cm^3)



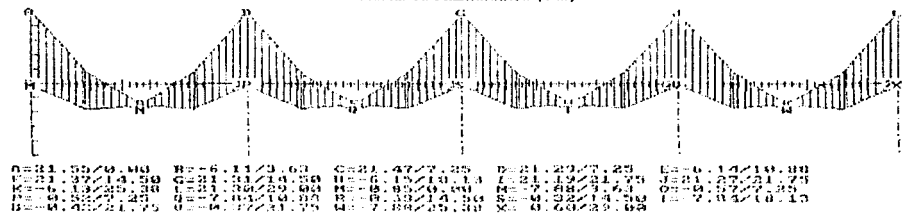
TRABE NIVEL 4, MARCO 4, ELEMENTO 40

ENVELOPES

FUERZA CORTANTE (I)



MOMENTO FLEXIONANTE ($t^{\circ}m$)

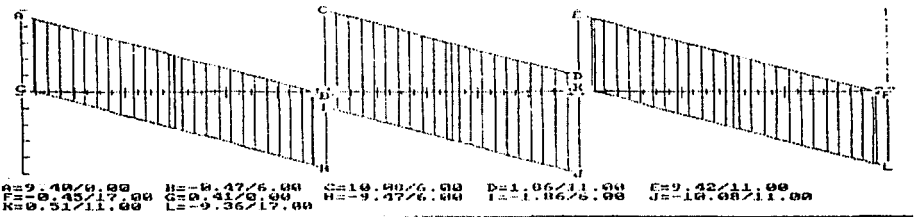


TESIS CON FALLA DE ORIGEN

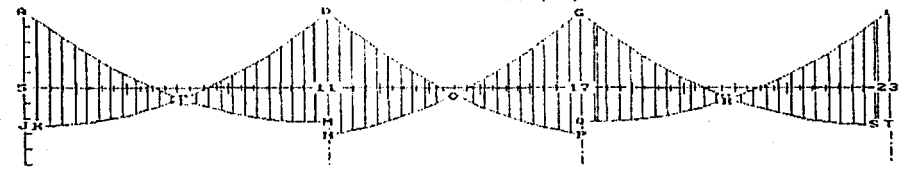
TRABE NIVEL 4, MARCO A, ELEMENTO 30

ENVOLVENTES

FUERZA CORTANTE (I)



MOMENTO FLEXIONANTE ($t^{\circ}m$)



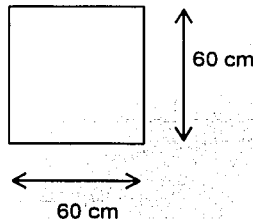
3.4 DISEÑO A FLEXOCOMPRESIÓN DE COLUMNAS DE CONCRETO

COLUMNAS G-4

PRIMER NIVEL CONCRETO

Existe sismo

$P_u =$	117.646 ton
$M_{ux} =$	36.27 ton-m
$M_{uy} =$	45.99 ton-m
$f'_c =$	200 kg/cm ²
$f_y =$	4200 kg/cm ²
$f''c =$	136 kg/cm ²
$r =$	5 cm
$h_x =$	60 cm
$h_y =$	60 cm
$b =$	55 cm
$d =$	55 cm



Combinaciones de diseño.

M _{ux}	M _{uy}
36.27 ton-m	45.99 ton-m
36.27 ton-m	13.80 ton-m
36.27 ton-m	-13.80 ton-m
10.88 ton-m	45.99 ton-m
-10.88 ton-m	45.99 ton-m
10.88 ton-m	45.99 ton-m

100% M_{ux} y 30% M_{uy}
100% M_{ux} y -30% M_{uy}
100% M_{uy} y 30% M_{ux}
100% M_{uy} y -30% M_{ux}
Momentos de diseño

1er. Tanteo Suponiendo $r =$ **0.015**

$$A_s = r b h = 54 \text{ cm}^2$$

$$q = r f_y / f''c = 0.46$$

$$P_{RO} = FR(f'_c A_g + A_s f_y) = 573,120.00$$

$$P_{RO} = 573,120.00 \text{ kgs}$$

Calculo de excentricidades

$$e_x = M_{uy} / P_u = 39.09 \text{ cm}$$

$$e_y = M_{ux} / P_u = 9.25 \text{ cm}$$

$$e_x / h_x = 0.652$$

$$e_y / h_y = 0.154$$

$$\text{Para } e_x / h_x = 0.652$$

$$d / h_x = 0.916666667$$

$$q = 0.46$$

q= 0.46

Interpolando para un valor de d/hx= 0.91666667

d/hx= 0.9 e/hx= 0.652 k= 0.39	d/hx= 0.95 e/hx= 0.652 k= 0.41
-------------------------------	--------------------------------

Interpolando k:

kx= 0.397

$P_{Rx} = kF_{Rb}h^f'c = 135,945.60 \text{ kgs}$

Para $e_y = -0.154$

d/hy= 0.917

q= 0.46

Interpolando para un valor de d/hy= 0.917

d/hy= 0.9 e/hy= -0.154 k= 1.04

d/hy= 0.95 e/hy= -0.154 k= 1.06

Interpolando k:

ky= 1.047

$P_{Ry} = kF_{Rb}h^f'c = 358,713.60 \text{ kgs}$

Aplicando la formula de Bresler:

$P_R = 1/(1/P_{Rx} + 1/P_{Ry} - 1/P_{Ro})$

$P_R = 119,064.80 \text{ kgs} > 117,646.00 \text{ kgs}$

Verificacion de la aplicabilidad de la formula de Bresler:

$P_R/P_{Ro} >= 0.10 \quad 0.21 > 0.1 \text{ ok}$

esta sobrado por un : **1.21%** ok

Armado propuesto:

8 Vars # 8 + 6 Vars # 6 = 57.66 cm²

DISEÑO A FLEXOCOMPRESIÓN

1 E. R. N I V E L

COLUMNA	PR (ton)	ρ	As (cm^2)	ex (cm)	ey (cm)	ex/hx	ey/hy	Kx	Prx (ton)	Ky	Pry (ton)	Pr (ton)	Armado
A-1	136.816	0.015	54	34.510	8.090	0.575	0.135	0.447	153.081	1.097	375.849	134.259	8 #8 + 6 #6
A-4	127.220	0.015	54	37.860	8.720	0.631	0.145	0.410	140.515	1.073	367.852	127.220	8 #8 + 6 #6
C-1	207.060	0.015	54	20.480	5.480	0.341	0.091	0.677	231.907	1.163	398.697	197.028	8 #8 + 6 #6
E-1	207.030	0.015	54	20.070	5.420	0.335	0.090	0.687	235.334	1.163	398.697	199.497	8 #8 + 6 #6
E-2	297.794	0.020	72	11.360	4.480	0.189	0.075	1.053	360.998	1.383	474.096	302.930	12 #8 + 4 #6
E-3	297.800	0.025	90	15.020	3.430	0.250	0.057	1.000	342.720	1.557	553.500	298.374	16 #8 + 3 #6
G-1	127.260	0.015	54	35.420	8.520	0.590	0.142	0.423	145.084	1.077	368.995	127.262	8 #8 + 6 #6
G-4	117.646	0.015	54	39.090	9.250	0.652	0.154	0.397	135.945	1.047	358.713	119.064	8 #8 + 6 #6

2 D. O. N I V E L

COLUMNA	PR (ton)	ρ	As (cm^2)	ex (cm)	ey (cm)	ex/hx	ey/hy	Kx	Prx (ton)	Ky	Pry (ton)	Pr (ton)	Armado
A-1	107.290	0.010	36	23.850	6.450	0.398	0.107	0.510	174.787	1.043	357.571	152.271	4 #8 + 6 #6
A-4	100.030	0.010	36	25.530	6.600	0.426	0.110	0.487	166.790	0.993	340.435	143.219	4 #8 + 6 #6
C-1	163.212	0.010	36	15.270	5.000	0.254	0.083	0.723	247.900	1.103	378.134	211.517	4 #8 + 6 #6
E-1	163.550	0.010	36	16.410	4.500	0.274	0.075	0.687	235.334	1.103	378.134	202.300	4 #8 + 6 #6
E-2	234.990	0.010	36	14.080	3.060	0.235	0.051	0.763	261.609	1.173	402.124	229.431	4 #8 + 6 #6
E-3	234.990	0.010	36	10.270	4.230	0.171	0.071	0.873	299.308	1.103	378.134	247.837	4 #8 + 6 #6
G-1	100.040	0.010	36	23.680	6.780	0.395	0.113	0.510	174.787	0.997	341.577	149.295	4 #8 + 6 #6
G-4	92.820	0.010	36	23.200	7.640	0.387	0.127	0.527	180.499	0.993	340.435	153.211	4 #8 + 6 #6

TESIS CON
FALLA DE ORIGEN

Se observa que para los niveles tercero, cuarto y quinto, el porcentaje de acero de refuerzo es el mínimo, por lo que dichos cálculos se obvian en la tabla.

3.5 DISEÑO POR FUERZA CORTANTE EN COLUMNAS DE CONCRETO

COLUMNAS G-4 3er. NIVEL

H libre columna =	320.00 cm		
diametro del estribo =	0.95 cm	Var #	3
Dimensiones de columna =	60.00 cm	X	60.00 cm

Separación de estribos:

Separación no mayor que $850/(f_y)^{0.5}$ veces el diametro de la barra mas delgada.

Para $f_y = 4200 \text{ kg/cm}^2$ y barra # 8 = 66.50 cm

48 diametros de la barra del estribo = 45.72 cm

La mitad de la menor dimension de la columna = 30.00 cm

La separación maxima se reducirá a la mitad en una longitud no menor que:

Dimension transversal máxima de la columna = 60.00 cm

Un sexto de su altura libre = 53.33 cm

Ni que = 60.00 cm

f_y estribo=	4200.00 kg/cm^2		
f'_c =	200.00 kg/cm^2	$f'_c =$	160.00 kg/cm^2
$A_g = 60 * 60 =$	3600.00 cm^2		
$A_s =$	15.21 cm^2	(3 vars #8)	
$V_{ux} =$	10410.00 kgs		
$V_{uy} =$	9740.00 kgs		
$V_u (V_{ux}^2 + V_{uy}^2)^{0.5} =$	14256.08 kgs		
$P_u =$	66011.00 kgs		

Cuando P_u no exceda de:

$0.7f'_c A_g + 2000A_s =$ 491220.00 kgs > 66011.00 kgs ok!

$V_{cr} = 0.5 F_R b d (f'_c)^{0.5} (1 + 0.007(P_u/A_g))$ cuando $\rho \geq 0.10$

$V_{cr} = 18839.94251 > 14256.08 \text{ kgs} = V_u$.

No se requieren estribos!

$S_{nec} = F_R A_v f_y d / (V_u - V_{cr})$

Se colocaran estribos del # 3 a cada 30.00 cm

Zona de confinamiento será >= 60.00 cm a cada 15.00 cm

DISEÑO POR FUERZA CORTANTE EN COLUMNAS

1 E R. N I V E L

COLUMNNA	Pu (Kgs)	Vux (Kgs)	Vuy (Kgs)	(Vux ² +Vuy ²) ^{0.5}	Vcr (Kgs)	S nec c/2 ramales Est # 3	Sep aplicada (Cm)	Zona de Confinamiento	Sep Z. Conf.
A-1	136816	14870	14010	20430.29613	21138.70123	-	30	60	15
A-4	127220	13620	15040	20290.53967	20827.15701	-	30	60	15
C-1	207060	15040	13800	20411.80051	23419.246	-	30	60	15
E-1	207030	13560	14870	20124.37577	23418.272	-	30	60	15
E-2	297794	16210	13590	21153.06597	26365.02113	-	30	60	15
E-3	297800	13700	16310	21300.37793	26365.2159	-	30	60	15
G-1	127260	13780	13750	19466.66124	20828.4556	-	30	60	15
G-4	117646	13420	14120	19480.01027	20516.32704	-	30	60	15

3 E R. N I V E L

COLUMNNA	Pu (Kgs)	Vux (Kgs)	Vuy (Kgs)	(Vux ² +Vuy ²) ^{0.5}	Vcr (Kgs)	S nec c/2 ramales Est # 3	Sep aplicada (Cm)	Zona de. Confinamiento	Sep Z. Conf.
A-1	75665	11250	10650	15491.44925	19153.36977	-	30	60	15
C-1	119431	13690	10770	17418.63944	20574.2789	-	30	60	15
E-1	119378	13540	10590	17189.52297	20572.558	-	30	60	15
G-1	70839	9700	11120	14756.16481	18996.68861	-	30	60	15
E-3	171116	12470	16010	20293.3733	22252.25867	-	30	60	15
A-4	70850	10540	10700	15019.37415	18997.04573	-	30	60	15
G-4	66011	10410	9740	14256.0759	18839.9425	-	30	60	15

**TESIS CON
FALLA DE ORIGEN**

3.6 DISEÑO POR FLEXION EN VIGAS DE CONCRETO

Datos:

$f'_c =$	200.00 kg / cm ²	Peralte efectivo =	55.00 cm
$f_y =$	4200.00 kg / cm ²	Ancho total =	30.00 cm
FR =	0.90	Momento Ultimo Mu =	12.35 Ton - m

¿Esta la sección en la zona sísmica? (S=1/N=2) = 1

Cálculo de algunas variables:

$f^*c =$	160
$f^*c =$	136

Calculo del refuerzo Máximo:

$\rho_{\text{máx}} =$ 0.011429

Cálculo del refuerzo Mínimo:

$\rho_{\text{mín}} =$ 0.002357

Cálculo del acero necesario para resistir el momento último:

$$\begin{array}{cccc} 4590000.00 q^2 & -9180000.00 q & 1235000.00 & = 0 \\ q_1 = & & 1.854948431 & \\ q_2 = & & 0.145051569 & \\ \rho_{\text{necesario}} = & & 0.004697 & \end{array}$$

Acero necesario = 7.05 cm²

DISEÑO POR FLEXIÓN DE VIGAS DE CONCRETO

1 E R. A 3 E R. N I V E L

MARCOS 1 Y 4

zona de mom. Pos.		zona de mom. Neg.	
ARMADO SUPERIOR	ARMADO INFERIOR	ARMADO SUPERIOR	ARMADO INFERIOR
2 #6	2 #6	2#6 + 2#8	2 #6

MARCOS 2 Y 3

zona de mom. Pos.		zona de mom. Neg.	
ARMADO SUPERIOR	ARMADO INFERIOR	ARMADO SUPERIOR	ARMADO INFERIOR
2 #6	3 #6	2#6 + 3#8	2 #6

MARCOS A, C, D, E G

zona de mom. Pos.		zona de mom. Neg.	
ARMADO SUPERIOR	ARMADO INFERIOR	ARMADO SUPERIOR	ARMADO INFERIOR
2 #6	3 #6	3#6 + 2#8	3 #6

MARCOS A, C, D, E, G; CRUJIA CENTRAL

zona de mom. Pos.		zona de mom. Neg.	
ARMADO SUPERIOR	ARMADO INFERIOR	ARMADO SUPERIOR	ARMADO INFERIOR
2 #6	4 #6	3#6 + 2#8	3 #6

4 T O. Y 5 T O. N I V E L

MARCOS 1 Y 4

zona de mom. Pos.		zona de mom. Neg.	
ARMADO SUPERIOR	ARMADO INFERIOR	ARMADO SUPERIOR	ARMADO INFERIOR
2 #6	2 #6	4#6	2 #6

MARCOS 2 Y 3

zona de mom. Pos.		zona de mom. Neg.	
ARMADO SUPERIOR	ARMADO INFERIOR	ARMADO SUPERIOR	ARMADO INFERIOR
2 #6	3 #6	3#6 + 2#8	2 #6

MARCOS A, C, D, E G

zona de mom. Pos.		zona de mom. Neg.	
ARMADO SUPERIOR	ARMADO INFERIOR	ARMADO SUPERIOR	ARMADO INFERIOR
2 #6	3 #6	3#6 + 2#8	2 #6

3.7 DISEÑO POR CORTANTE DE TRABES DE CONCRETO

1er. NIVEL MARCO 3 ELEMENTO 28 DE NUDO 14 A 20

1er. Segmento

DATOS:

Cortante último:	17912.00 kgs.	Interpolado a un peralte efectivo del apoyo.
Longitud del Claro:	725.00 cm.	
Peralte de la viga:	60.00 cm.	
Peralte efectivo:	55.00 cm.	
Ancho de sección:	30.00 cm.	
% de refzo. Por flexion:	0.00236 (mínimo)	
f'c concreto:	200.00 kg/cm ²	
f'c concreto:	160.00 kg/cm ²	
fy acero:	4200.00 kg/cm ²	

$$L/h = 12.08 > 5$$

$$\text{con } r = 0.00236 < 0.01$$

$$V_{cr} = F_r b d (0.20 + 30r) (f'c)^{0.5}$$

$$V_{cr} = 4520.01 \text{ kgs.}$$

$$V_u - V_{cr} = 13391.99$$

$$\text{Proponiendo estribos # 3} \quad a_0 = 0.7125 \text{ cm}^2$$

$$A_v = 1.43 \text{ cm}^2 \quad 2 \text{ ramales}$$

$$S_{nec} = F_r A_v f_y d / V_u - V_{cr} \leq F_r A_v f_y / (3.5b)$$

$$S_{nec} = 19.66 \text{ cm.} \leq 45.60 \text{ cm.}$$

$$\text{Sep maxima} = 0.5 d = 27.5 \text{ cm.}$$

$$\text{Separación final} = 19.66 \text{ cm.}$$

Separación práctica =	20.00 cm.
-----------------------	-----------

2º. Segmento A la mitad del claro

DATOS:

Cortante último:	4812.63 kgs.
Longitud del Claro:	725.00 cm.
Peralte de la viga:	60.00 cm.
Peralte efectivo:	55.00 cm.
Ancho de sección:	30.00 cm.
% de refzo. Por flexion:	0.00236
f'c concreto:	200.00 kg/cm ²
f'c concreto:	160.00 kg/cm ²
fy acero:	4200.00 kg/cm ²

$$L/h = 12.08 > 5$$

$$\text{con } r = 0.00236 < 0.01$$

$$V_{cr} = Fr bd(0.20+30r) (f'c)^{0.5}$$

$$V_{cr} = 4520.01 \text{ kgs.}$$

$$Vu - V_{cr} = 292.62$$

$$\text{Proponiendo estribos # 3} \quad a_0 = 0.7125 \text{ cm}^2$$

$$A_v = 1.43 \text{ cm}^2 \quad 2 \text{ ramales}$$

$$S_{nec} = Fr A_v f_y d / Vu - V_{cr} \leq Fr A_v f_y / (3.5b)$$

$$S_{nec} = 899.94 \text{ cm.} \leq 45.60 \text{ cm.}$$

$$\text{Sep maxima} = 0.5 d = 27.5 \text{ cm.}$$

$$\text{Separación final} = 27.50 \text{ cm.}$$

$$\boxed{\text{Separación final} = 25.00 \text{ cm.}}$$

Debido a que, como se muestra, con 2 ramales de varilla de 3/8" es suficiente para resistir el cortante en los niveles inferiores, que son los más solicitados por éste efecto, el refuerzo por fuerza cortante lo rigen los requisitos de armado y separaciones entre sujeción de barras, ver diagramas.

3.8 DISEÑO DE LOSA DE ENTREPISO, EDIFICIO DE CONCRETO

$$\begin{aligned} f_c &= 200.00 \text{ kg/cm}^2 \\ f'_c &= 160.00 \text{ kg/cm}^2 \\ f'_c &= 136.00 \text{ kg/cm}^2 \\ f_y &= 4200.00 \text{ kg/cm}^2 \end{aligned}$$

$$\begin{aligned} d &= 28.00 \text{ cm (acero positivo)} \\ &26.00 \text{ cm (acero negativo)} \end{aligned}$$

Peralte mínimo:

Concreto clase 2:

$$w = 1069.60 \text{ kg}$$

$$\begin{aligned} a_1 &= 575.00 \text{ cm} \\ a_2 &= 695.00 \text{ cm} \end{aligned}$$

$$m=a_1/a_2$$

$$m= \frac{575.00}{695.00} = 0.83$$

$$h=d_{\min}+rec= 21.78 \text{ cm}$$

$$\text{Vigas de: } 10.00 \text{ cm} \quad \text{tomaremos } h = 30.00 \text{ cm (Utilizando caseton de 25-40-40 cm)}$$

Distancia entre nervaduras= 50.00 cm (Para el cálculo del As)

Tablero	Momento	Claro	(n)	Mu(kg-m)	Mu ajustado	$=f'_c d / (1 - (1 - (2Mu/FRbcPy)c))^0.50$	Pmin=	As (cm ²)
T1	Negativo en bordes interiores	Corto	404.6	1006.795	1022.541	8.10479E-04	0.002357	3.06
		Largo	383.8	905.939	883.704	6.89219E-04	0.002357	3.06
	Negativo en bordes discontinuos	Corto	240.7	356.321	356.321	2.80101E-04	0.002357	3.06
		Largo	217.2	290.141	290.141	2.27893E-04	0.002357	3.06
	Positivo	Corto	204	255.947	255.947	1.73195E-04	0.002357	3.30
		Largo	139.4	119.513	119.513	8.07567E-05	0.002357	3.30
T2	Negativo en bordes interiores	Corto	381.7	896.053	919.475	7.27847E-04	0.002357	3.06
		Largo	369.4	839.234	861.469	6.81436E-04	0.002357	3.06
	Negativo en borde discontinuo	Corto	240.7	356.321	356.321	2.80101E-04	0.002357	3.06
	Positivo	Corto	190.6	223.427	223.427	1.51137E-04	0.002357	3.30
T3	Negativo en bordes interiores	Corto	134.7	111.590	111.590	7.53967E-05	0.002357	3.30
		Largo	456.5	1058.758	1039.862	8.24387E-04	0.002357	3.06
	Negativo en borde discontinuo	Corto	373.9	710.274	709.136	5.59876E-04	0.002357	3.06
		Largo	237.2	285.854	285.854	2.24514E-04	0.002357	3.06
T4	Negativo en bordes interiores	Corto	245.2	305.461	305.461	2.06808E-04	0.002357	3.30
		Largo	133.4	90.412	90.412	6.10743E-05	0.002357	3.30
	Negativo en bordes continuos	Corto	437.7	973.348	945.241	7.48484E-04	0.002357	3.06
		Largo	373	706.859	707.997	5.58969E-04	0.002357	3.06
T5	Positivo	Corto	232	273.458	273.458	1.85079E-04	0.002357	3.30
		Largo	130.4	86.391	86.391	5.83558E-05	0.002357	3.30

TESIS CON
FALLA DE ORIGEN

Entre 1 y 5:

Diferencia= 51.96 < 503.40

Cumplen!

Distribucion de momentos desequilibrados:

Tablero: d^3/a_1 F.D.= $k_i/\sum k$
1 38.582 0.455
5 46.298 0.545
suma= 84.880 1.000

ENTREPISO

Tablero 1= 15.7463003

Tablero 5= 18.8955604

Entre 2 y 6:

Diferencia= 77.30 < 448.03

Cumplen!

Distribucion de momentos desequilibrados:

Tablero: d^3/a_1 F.D.= $k_i/\sum k$
2 38.582 0.455
6 46.298 0.545
suma= 84.880 1.000

Tablero 2= 23.4227847

Tablero 6= 28.1073416

Entre 1 y 2:

Diferencia= 66.71 < 419.62

Cumplen!

Distribucion de momentos desequilibrados:

Tablero: d^3/a_1 F.D.= $k_i/\sum k$
1 38.582 0.500
2 38.582 0.500
suma= 77.164 1.000

Tablero 1= 22.2351871

Tablero 2= 22.2351871

Entre 5 y 6:

Diferencia= 3.42 < 353.43

Cumplen!

Distribucion de momentos desequilibrados:

Tablero: d^3/a_1 F.D.= $k_i/\sum k$
5 46.298 0.500
6 46.298 0.500
suma= 92.597 1.000

Tablero 5= 1.13841004

Tablero 6= 1.13841004

**TESIS CON
FALLA DE ORIGEN**

3.9 DISEÑO DE LOSA DE AZOTEA, EDIFICIO DE CONCRETO

$$\begin{aligned} f_c &= 200.00 \text{ kg/cm}^2 \\ f'_c &= 160.00 \text{ kg/cm}^2 \\ f''_c &= 136.00 \text{ kg/cm}^2 \\ f_y &= 4200.00 \text{ kg/cm}^2 \end{aligned}$$

$$\begin{aligned} d &= 28.00 \text{ cm (acero positivo)} \\ &26.00 \text{ cm (acero negativo)} \end{aligned}$$

Pesante minimo:

Concreto clase 2:

$w = 1049.72 \text{ kg}$

$\begin{aligned} a_1 &= 575.00 \text{ cm} \\ a_2 &= 695.00 \text{ cm} \end{aligned}$

$m=a_1/a_2$

$m = 0.83 \quad h=d_{\min}+rec = 21.69 \text{ cm}$

$Vigas de: 10,00 \text{ cm} \quad tomaremos } h = 30.00 \text{ cm (Utilizando caseton de 25-40-40 cm)}$

Distancia entre nervaduras= 50.00 cm (Para el cálculo del As)

Tablero	Momento	Claro	(α)	$M_u(\text{kg}\cdot\text{m})$	$M_u \text{ ajustado}$	$=f'_c/f_y(1-(1-(2M_u/F_Rd)^2)^{1/2})^{0.50}$	$P_{\min}=$	$As (\text{cm}^2)$
T1	Negativo en bordes interiores	Corto	404.6	988.082	1003.828	7.95460E-04	0.002357	3.06
		Largo	383.8	889.101	866.866	6.85751E-04	0.002357	3.06
	Negativo en bordes discontinuos	Corto	240.7	349.698	349.698	2.74873E-04	0.002357	3.06
		Largo	217.2	284.748	284.748	2.23643E-04	0.002357	3.06
	Positivo	Corto	204	251.190	251.190	1.69967E-04	0.002357	3.30
T2	Negativo en bordes interiores	Corto	139.4	117.292	117.292	7.92539E-05	0.002357	3.30
		Largo	381.7	879.398	902.821	7.14515E-04	0.002357	3.06
	Negativo en borde discontinuo	Corto	369.4	823.636	845.871	6.68967E-04	0.002357	3.06
		Corto	240.7	349.698	349.698	2.74873E-04	0.002357	3.06
	Positivo	Corto	190.6	219.274	219.274	1.48322E-04	0.002357	3.30
T5	Negativo en bordes interiores	Corto	134.7	109.516	109.516	7.39938E-05	0.002357	3.30
		Largo	456.5	1039.079	1020.184	8.08586E-04	0.002357	3.06
	Negativo en borde discontinuo	Largo	373.9	697.073	695.934	5.49363E-04	0.002357	3.06
		Largo	237.2	280.541	280.541	2.20327E-04	0.002357	3.06
	Positivo	Corto	245.2	299.784	299.784	2.02952E-04	0.002357	3.30
T6	Negativo en bordes interiores	Largo	133.4	88.732	88.732	5.99381E-05	0.002357	3.30
		Corto	437.7	955.257	927.150	7.33992E-04	0.002357	3.06
	Negativo en borde continuo	Largo	373	693.721	694.859	5.48507E-04	0.002357	3.06
		Corto	232	268.376	268.376	1.81629E-04	0.002357	3.30
	Positivo	Largo	130.4	84.786	84.786	5.72702E-05	0.002357	3.30

TESIS CON
FALLA DE ORIGEN

Entre 1 y 5:

Diferencia= 51.00 < 494.04

Cumplen!

Distribucion de momentos desequilibrados:

Tablero: d^3/a1 F.D.=kI/Σ k

1 38.582 0.455

5 46.298 0.545

suma= 84.880 1.000

AZOTEA

Tablero 1= 15.4536335

Tablero 5= 18.5443602

Entre 2 y 6:

Diferencia= 75.86 < 439.70

Cumplen!

Distribucion de momentos desequilibrados:

Tablero: d^3/a1 F.D.=kI/Σ k

2 38.582 0.455

6 46.298 0.545

suma= 84.880 1.000

Tablero 2= 22.9874397

Tablero 6= 27.5849277

Entre 1 y 2:

Diferencia= 65.47 < 411.82

Cumplen!

Distribucion de momentos desequilibrados:

Tablero: d^3/a1 F.D.=kI/Σ k

1 38.582 0.500

2 38.582 0.500

suma= 77.164 1.000

Tablero 1= 21.8219153

Tablero 2= 21.8219153

Entre 5 y 6:

Diferencia= 3.35 < 346.86

Cumplen!

Distribucion de momentos desequilibrados:

Tablero: d^3/a1 F.D.=kI/Σ k

5 46.298 0.500

6 46.298 0.500

suma= 92.597 1.000

Tablero 5= 1.11725111

Tablero 6= 1.11725111

**TESIS CON
FALLA DE ORIGEN**

3.10 REVISIÓN DE COLUMNAS DE ACERO

COLUMNAS A-1

1er. NIVEL ACERO

Existe sismo

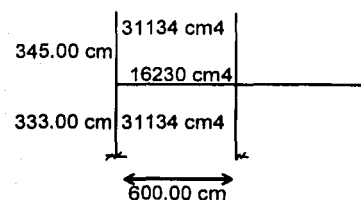
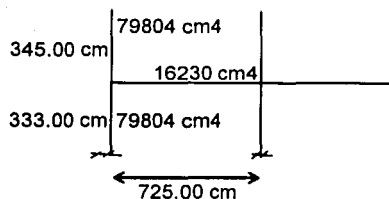
Sección propuesta:

IPR 356 X 236.5

$A= 301.30 \text{ cm}^2$
 $I_x = 79804.00 \text{ cm}^4$
 $S_x = 4162.00 \text{ cm}^3$
 $r_x = 16.20 \text{ cm}$

$I_y = 31134.00 \text{ cm}^4$
 $S_y = 1576.00 \text{ cm}^3$
 $r_y = 10.20 \text{ cm}$

$b = 395.00 \text{ mm}$
 $d = 380.00 \text{ mm}$
 $t_w = 18.90 \text{ mm}$
 $t_f = 30.20 \text{ mm}$



Del análisis estructural:

Cargas permanentes

$P= 61.42 \text{ ton}$	$M_{xs}= 4.99 \text{ ton-m}$	$M_{xi}= 2.65 \text{ ton-m}$	$M_{ys}= -1.42 \text{ ton-m}$	$M_{yi}= 0.72 \text{ ton-m}$
------------------------	------------------------------	------------------------------	-------------------------------	------------------------------

Envolvente de diseño:

$P= 90.823 \text{ ton}$	$M_{xs}= 10.06 \text{ ton-m}$	$M_{xi}= 36.97 \text{ ton-m}$	$M_{ys}= -6.32 \text{ ton-m}$	$M_{yi}= 30.12 \text{ ton-m}$
-------------------------	-------------------------------	-------------------------------	-------------------------------	-------------------------------

Combinaciones de diseño:

M_x	M_y
36.97 ton-m	30.12 ton-m
36.97 ton-m	9.04 ton-m
36.97 ton-m	-9.04 ton-m
11.09 ton-m	30.12 ton-m
-11.09 ton-m	30.12 ton-m
36.97 ton-m	9.04 ton-m

100% M_x y 30% M_y
 100% M_x y -30% M_y
 100% M_y y 30% M_x
 100% M_y y -30% M_x
Momentos de diseño

**TESIS CON
FALLA DE ORIGEN**

Relaciones de esbeltez:

Kx=?

$$\varphi_{sup} = \frac{(79804 / 333 + 79804 / 345) / (16230 / 725)}{=} 21.04$$

$$\varphi_{inf} = \frac{(79804 / 335) / \infty}{=} 0$$

$$Kx l / r_x = \frac{(1.85 * 333) / 16.20}{=} 38.03$$

Ky=?

$$\varphi_{sup} = \frac{(31134 / 333 + 31134 / 345) / (16230 / 600)}{=} 6.79$$

$$\varphi_{inf} = \frac{(31134 / 333) / \infty}{=} 0$$

$$Ky l / r_y = \frac{(1.58 * 333) / 10.20}{=} 51.582 \quad | Riget$$

$$51.582 < KL/r_c = 126$$

Pandeo local:

Patines:

$$b/t = \frac{(395 / 2) / 30.20}{=} 6.54 < 800 / (f_y)^{0.5} = 15.90$$

No existe pandeo local.

Alma:

$$d/t = \frac{380 / 18.90}{=} 20.10 < 2100 / (f_y)^{0.5} = 41.80$$

$$F_a = 12 / 23 [1 - (KL/r)^2 / 2(KL/r)^2 c] f_y \quad | Sustituyendo:$$

$$F_a = 12 / 23 [1 - (51.58)^2 / 2(126)^2] 2530 = 1209.39 \text{ Kg/cm}^2$$

$$P_{adm} = F_a * A$$

$$P_{adm} = 1209.39 * 301.30 = 364385.38 \text{ Kgs}$$

$$P_{adm} = 364.38 \text{ ton} > P = 61.42 \text{ ton} \quad | \underline{\text{ok!}}$$

REVISION POR FLEXOCOMPRESION:

Condición CM+CV

$$f_a = P / A = 61420 / 301.30 = 203.85 \text{ Kg/cm}^2$$

$$f_a / F_a = 203.85 / 1209.39 = 0.1685 > 0.15 \quad | \text{Se usará:}$$

$$(P/A) / F_a + [C_{mx} * (M_x/S_x)] / [1 - P/A / F'_{ex}] F_{bx} + [C_{my} * (M_y/S_y)] / [1 - P/A / F'_{ey}] F_{by} \leq 1.00$$

$$M_x/S_x = 4.989E5 / 4162 = 119.87 \text{ Kg/cm}^2$$

$$M_y/S_y = 0.426E5 / 1576 = 27.088 \text{ Kg/cm}^2$$

$$C_{mx} = C_{my} = 0.85$$

Marcos desplazables.

$$F'_{ex} = 12 / 23 \pi^2 E / (KLx/rx)^2$$

$$F'_{ey} = 12 / 23 \pi^2 E / (KLy/ry)^2$$

Sustituyendo:

$$F'_{ex} = 12 / 23 \pi^2(2.039E6) / (38.03)^2 = 7259.68 \text{ Kg/cm}^2$$

$$F'_{ey} = 12 / 23 \pi^2(2.039E6) / (51.58)^2 = 3946.46 \text{ Kg/cm}^2$$

$$1 - [(P / A) / F'_{ex}] = 1 - 203.85 / 7259.68 = 0.9719$$

$$1 - [(P / A) / F'_{ey}] = 1 - 203.85 / 3946.46 = 0.9483$$

$$F_{bx}=F_{by}=0.66f_y=1670 \text{ Kg/cm}^2$$

Sustituyendo:

$$0.1685 + [0.85(119.87) / 0.9719(1670)] + [0.85(27.088) / 0.9483(1670)] \leq 1.00$$

$$0.246 < 1.00 \quad | \text{Se acepta}$$

Condición CM+CV + CACC.

$$P=90.823 \text{ ton}$$

$$M_x=36.97 \text{ t-m}$$

$$M_y=9.036 \text{ t-m}$$

$$f_a=P/A=90823 / 301.30 = 301.44 \text{ Kg/cm}^2$$

$$f_a/f_a=301.44 / 1209.39 = 0.2492 > 0.15$$

Se usará:

$$(P/A) / f_a + [C_{mx} * (M_x/S_x)] / [1 - P/A / F'_{ex}]F_{bx} + [C_{my} * (M_y/S_y)] / [1 - P/A / F'_{ey}]F_{by} \leq 1.33$$

$$M_x/S_x=36.97E5 / 4162 = 888.27 \text{ Kg/cm}^2$$

$$M_y/S_y=9.036E5 / 1576 = 573.35 \text{ Kg/cm}^2$$

$$C_{mx}=C_{my}=0.85$$

Marcos desplazables.

$$F'_{ex} = (1.33) * 12 / 23 \pi^2 E / (KLx/rx)^2$$

$$F'_{ey} = (1.33) * 12 / 23 \pi^2 E / (KLy/ry)^2$$

Sustituyendo:

$$F'_{ex} = 1.33 * 12 / 23 \pi^2(2.039E6) / (38.03)^2 = 9655.38 \text{ Kg/cm}^2$$

$$F'_{ey} = 1.33 * 12 / 23 \pi^2(2.039E6) / (51.58)^2 = 5248.41 \text{ Kg/cm}^2$$

$$1 - [(P / A) / F'_{ex}] = 1 - 301.44 / 9655.38 = 0.9687$$

$$1 - [(P / A) / F'_{ey}] = 1 - 301.44 / 5248.41 = 0.9426$$

$$F_{bx}=F_{by}=0.66f_y=1670 \text{ Kg/cm}^2$$

Sustituyendo:

$$0.2492 + [0.85(888.27) / 0.9687(1670)] + [0.85(573.35) / 0.9426(1670)] \leq 1.33$$

$$1.03 < 1.33$$

Se acepta la sección propuesta IPR 356X236.5 Kg/m

En resumen, para las columnas más solicitadas del 1er. nivel, que resultan críticas, tenemos los siguientes resultados:

COLUMNAS	CARGAS PERM + ACCIDENTALES			KxL/rx	KyL/ry	Fa	Padm (ton)	Fórmula	Parámetro
	Pu (ton)	Mx (ton-m)	My (ton-m)						
A-1	90.82	36.97	9.04	38.03	51.58	1209.39	364.39	1.03	1.33
E-3	172.25	34.83	8.94	33.90	43.97	1239.63	373.50	1.22	1.33
C-1	133.61	41.83	8.09	33.10	50.11	1215.60	366.26	1.18	1.33

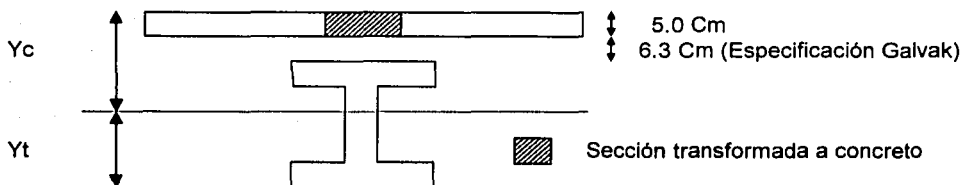
Se utilizará esta sección en todos los niveles, debido a que es la sección con la que se revisaron desplazamientos laterales, por lo que, si se disminuyeran dichas secciones, los desplazamientos serían mayores y quedarían fuera de lo permisible.

TESIS CON
FALLA DE ORIGEN

3.11 REVISIÓN COMO VIGA "T", ELEMENTO EN COLABORACIÓN

Sentido longitudinal Para Ejes 2 y3

Area IPR=	165.20 cm ²	Ix IPR=	30801 cm ⁴
L=	725.00 cm		
d=	31.80 cm	Ancho efectivo	
b'=	30.80 cm	1.-L/4=	181.25
t=	5.00 cm	2.-L'/2=	90.63
L'=	181.25 m	3.-8t=	40.00 ¡Rigel!



$$be = be + b' = 110.80 \text{ cm}$$

$$n = Es/Ec = 14.42$$

$$b = be/n = 7.68 \text{ cm}$$

$$A_{transf} = 7.68 \times 5 = 38.42 \text{ cm}^2$$

$$Yt = (165.20(31.80/2) + 38.42(31.80 + 6.3 + 2.5)) / (165.20 + 38.42)$$

$$Yt = 20.56 \text{ cm}$$

$$Yc = 5 + 6.3 + (31.80 - 20.56)$$

$$Yc = 22.54 \text{ cm}$$

$$Ix = 49899.79 \text{ cm}^4 \quad (\text{Por el teorema de los ejes paralelos})$$

$$\text{Módulo de sección de diseño tensión:} \quad 2426.92007 \text{ cm}^3$$

$$\text{Módulo de sección de diseño compresión:} \quad 2213.83269 \text{ cm}^3$$

**TESIS CON
FALLA DE ORIGEN**

3.12 DISEÑO POR FLEXION DE TRABES DE ACERO

1er. Nivel Marco 3, Elemento 28 de nudo 14 a 20

Revisión de sección:

IPR 305X129.7 Kg/m

A=	165.2 cm ²	rx=	13.7 cm
Ix=	30801 cm ⁴	Sx=	2246.92 cm ³
b=	308 mm	tf=	20.6 mm
d=	318 mm	tw=	13.1 mm

Para Momento Negativo= 32.49 T-m

Sujeción a cada: 181.25 cm

Sección compacta:

PATINES

1.- Cumple por ser IPR

2.- b/t <= 440/(fy)^{0.5}

$$b/t = 7.48 \quad < \quad 440/(f_y)^{0.5} = 8.75 \quad \text{Cumple!}$$

ALMA

$$d/t <= 3450/(f_y)^{0.50}$$

$$d/t = 24.27 \quad < \quad 3450/(f_y)^{0.5} = 68.59 \quad \text{Cumple!}$$

Es sección compacta.

Sujeción lateral:

$$\text{long} \leq \begin{cases} 640 \text{ bp}/(f_y)^{0.50} = 391.90 \text{ cm} \\ 1490000 A_p / d f_y = 1175.05 \text{ cm} \end{cases}$$

$$\text{long} = 181.25 \quad < \quad 391.90$$

Existe sujeción lateral!

$$F_b = 0.66 f_y \quad F_b = 1669.8 \text{ kg/cm}^2$$

$$f_b \leq F_b \quad F_b = M/S \quad M_r = F_b * S$$

$$M_r = 3751907.02 \text{ ton-cm}$$

$$M_r = 37.52 \text{ ton-m} \quad > \quad M = 32.49 \text{ ton-m}$$

Verificando tolerancia: 13% Sobrado

ok, se acepta!!

1er. Nivel Marco 3, Elemento 28 de nudo 14 a 20

Revisión de sección:

IPR 305X129.7 Kg/m

A=	165.2 cm ²	rx=	13.7 cm
Ix=	30801 cm ⁴	Sx=	2213.83 cm ³
b=	308 mm	tf=	20.6 mm
d=	318 mm	tw=	13.1 mm

Para Momento Positivo= 17.22 T-m

Sujecion a cada: 181.25 cm

Sección compacta:

PATINES

1.- Cumple por ser IPR

2.- b/t <= 440/(f_y)^{0.5}

b/t=	7.48	<	440/(f _y) ^{0.5} =	8.75	Cumple!
------	------	---	--	------	---------

ALMA

$$d/t \leq 3450/(f_y)^{0.5}$$

d/t=	24.27	<	3450/(f _y) ^{0.5} =	68.59	Cumple!
------	-------	---	---	-------	---------

Es sección compacta.

Sujeción lateral:

long <=	$\begin{cases} 640 bp/(f_y)^{0.5}= \\ 1490000 Ap / d f_y = \end{cases}$	391.90 cm
		1175.05 cm

long=	181.25	<	391.90
-------	--------	---	--------

Existe sujeción lateral!

F _b =0.66 f _y	F _b =	1669.8 kg/cm ²
-------------------------------------	------------------	---------------------------

f _b <= F _b	F _b =M/S	M _r =F _b *S
----------------------------------	---------------------	-----------------------------------

M _r =	3696653.33 ton-cm
------------------	-------------------

M _r =	36.97 ton-m	>	M=	17.22 ton-m
------------------	-------------	---	----	-------------

ok, se acepta!!

DISEÑO POR FLEXION DE TRABES DE ACERO

1 e r . N i v e l

Marco	Elemento	De Nudo	A Nudo	Ms Pos. T-m	Ms Neg. T-m	Mr T-m	Sección
3	28	14	20	17.22	32.49	36.97	305X129.7Kg/m
4	28	14	20	7.97	22.39	36.97	305X129.7Kg/m
A	21	2	8	15.85	25.04	29.41	305X96.7Kg/m
A	22	8	14	17.96	25.04	29.41	305X96.7Kg/m

4 ° N i v e l

Marco	Elemento	De Nudo	A Nudo	Ms Pos. T-m	Ms Neg. T-m	Mr T-m	Sección
3	40	17	23	17.31	32.32	36.97	305X129.7Kg/m
4	40	17	23	7.84	21.34	36.97	305X129.7Kg/m
A	31	11	17	11.44	18.43	29.41	305X96.7Kg/m

**TESIS CON
FALLA DE ORIGEN**

3.13 DISEÑO DE UN ENTREPISO METALICO

Cálculo de Galvadeck 25 para soportar una sobrecarga de **558 kg/m²**

DATOS:

Sobrecarga=	558 kg/m²
Calibre:	24.00
Espesor t=	5.00 cm
Claro L=	1.81 m
f _c concreto=	200.00 kg/cm²
E _c =	141421.36 kg/cm²
E _s =	2.00E+06 kg/cm²

SIMBOLOGIA:

E _s :	Módulo de Elasticidad del acero
E _c :	Módulo de Elasticidad del concreto
F _y :	Esfuerzo de fluencia del acero
f _c :	Resistencia a la compresión del concreto a compresión
n:	Relación de módulos E _s /E _c

1.- Revisión de Apuntalamiento:

1.1 Deflexión del Galvadeck ejercida por su propio peso y el del concreto deberá ser menor o igual a L/180 ó 1.90 cm.

De la Tabla Props. De Sección de Acero: I= 54.3 cm⁴

De la Tabla Props. De Sección Compuesta: Wdl= 195 kg/m²

$$\text{Deflexión } D = \frac{5 Wdl L^4}{384 Es I} (100)^3$$

$$D = 0.25 \text{ Cm.}$$

$$Dp=L/180= 1.01 \text{ Cm.}$$

D < Dp NO REQUIERE APUNTALAMIENTO

1.2 El esfuerzo ejercido por el peso propio (Galvadeck+concreto) y una carga viva por instalación de 100 kg/cm²

Deberá ser menor o igual a 0.60 F_y (F_y=2600 kg/cm² para acero grado B)

S. Superior=	16.86 cm⁴
S. Inferior=	17.35 cm⁴

Carga total	Wt=	Wdl + 100 kg/cm²
	Wt=	295.00 kg/cm²

Momento M= Wt L²/8

$$M = 121.140137 \text{ Kg-m}$$

$$M = 12114.0137 \text{ Kg-cm}$$

Esfuerzo en la fibra superior: φ Sup= M/S. Sup.= 718.51 kg/cm²

Esfuerzo en la fibra inferior: φ Inf.= M/S. Inf.= 698.21 kg/cm²

Esfuerzo Permitido: F_b= 0.6F_y= F_b= 1560
F_b= 1560 kg/cm²

Por tanto:

φ Sup < F_b NO REQUIERE APUNTALAMIENTO

$\varphi \text{ Inf.} < F_b$ NO REQUIERE APUNTALAMIENTO

1.3 El esfuerzo creado por el peso propio (galvadeck + concreto) y el de una carga concentrada igual a 90kg sobre una franja de 30 cm. De ancho, deberá ser menor de 1.33(0.60 Fy).

$$\begin{aligned}\text{Momento} \quad M &= Wdl L^2/8 + (P/0.30m)L/4 \\ M &= 216.013184 \text{ Kg-m} \\ M &= 21601.3184 \text{ Kg-cm}\end{aligned}$$

Esfuerzo en la fibra superior: $\varphi \text{ Sup} =$ M/S. Sup.= 1281.22 kg/cm²

Esfuerzo en la fibra inferior: $\varphi \text{ Inf.} =$ M/S. Inf.= 1245.03 kg/cm²

Esfuerzo Permitido: $F_b = 1.33(0.6F_y) =$ $F_b =$ 2074.8
2074.8 kg/cm²

Por tanto:

$\varphi \text{ Sup} < F_b$ NO REQUIERE APUNTALAMIENTO

$\varphi \text{ Inf.} < F_b$ NO REQUIERE APUNTALAMIENTO

II. REVISAR SECCION COMPUESTA

II.1 Deflexión por la sobrecarga de Diseño, considerando un valor menor o igual a L/360

De la tabla de Props. De Sección compuesta: $I_c = 315 \text{ cm}^4$
Sobrecarga de Diseño: $W_d = 558 \text{ kg/m}^2$

Deflexión $D = 5 W_d L^4 / (100)^3$
 $384 E_s I$

$D = 0.124 \text{ cm}$

$D_p = L/360 = 0.50 \text{ cm}$

$D < D_p$ NO REQUIERE AUMENTAR CAPA DE CONCRETO

II.2 Esfuerzo en la fibra superior del Concreto, siendo menor o igual a f_c .

De la tabla de Props. sección compuesta: $S_{sc} = 92 \text{ cm}^3$

$f_c = 0.45 f'_c = 90 \text{ kg/cm}^2$

$n = E_s/E_c = 14.14$

Esfuerzo Actuante: $\varphi = W_d L^2 / (100)$
 $8n S_{sc}$

$\varphi = 17.61 \text{ kg/cm}^2$

$\varphi < f_c$ NO REQUIERE AUMENTAR CAPA DE CONCRETO

II.3 Revisión a Cortante.

De la tabla de Props. Sección compuesta: $V_r = 1445 \text{ kg}$

De la tabla de Props. Sección compuesta:	Vr=	1445 kg
Cortante	V=	Wd L/2
	V=	505.6875 kg
	V<Vr	NO REQUIERE AUMENTAR CAPA DE CONCRETO

II.4 Tensión en Lámina menor a 0.6 Fy

De la tabla de Props. Sección compuesta:	Sic=	40 cm ³
Carga Total	Wt=	Wdl + W DISEÑO
	Wt=	755 kg/m ²
Momento	M=	Wt L ² / 8
	M=	310.036621 kg-m
	M=	31004 kg-cm
Esfuerzo	$\varphi \text{ Inf} = M / \text{Sic} =$	775.09 kg/cm ²
Esfuerzo Permitido:	Fb= 0.6 Fy =	1560
	Fb=	1560 kg/cm ²
Por tanto:	$\varphi \text{ Inf} < Fb$	NO REQUIERE AUMENTAR CAPA DE CONCRETO

La sobrecarga de 558 kg/m² es soportada por el Galvadeck 25 Cal. 24, ademas de no requerir apuntalamiento temporal al centro del claro.

CAPÍTULO IV. PRESUPUESTOS

4.1 COSTOS DE INSUMOS

CONCEPTO	UNIDAD	P.U.
Concreto $f_c = 200 \text{ kg/cm}^2$	m^3	\$1,056.55
Cimbra, renta y colocación	m^2	\$27.00
Varilla $f_y = 4200 \text{ kg/cm}^2$	Kg	\$4.20
Alambrón, $f_y = 2800 \text{ kg/cm}^2$	Kg	\$5.87
Malla Electrosoldada 6-6-6-6	m^2	\$9.46
Casetón poliestireno 40X40X25	Pza	\$10.42
Material de relleno (tepetate)	m^3	\$55.00
Acer A-36, columnas y trábes, incluyendo insumo e instalación	Kg	\$15.00
Galvadeck 25, cal 24 (6.10x0.914 M)	Pza	\$504.35
Galvadeck 25, cal 24	m^2	\$90.46

GRUPOS DE TRABAJO, jornada

Maestro Albañil	Jornal	\$233.33
Peón	Jornal	\$116.67
Grupo 1	Jornal	\$350.00

4.2 CONCEPTOS DE OBRA

Columna 60 X 60 cm, con 16 varillas de 1" + 3 de 3/4" y anillos de 3/8" a 30 cm c.a.c. (6.16 m^2 de cimbra, 70.27 Kg de varilla, 8.94 Kg de anillos)

Concepto	Unidad	Cantidad	c.u. base	p.u.
Cimbra (0.60 X 4)	m^2	2.40	27.00	64.80
Varilla 1" (16 X 3.973)	Kg	63.57	4.20	266.99
Varilla 3/4" (3 X 2.235)	Kg	6.71	4.20	28.16
Anillos 3/8" (3.33 X 4.8 m X 0.559)	Kg	8.94	4.20	37.53
Concreto simple (1.00 X 0.60 X 0.60)	m^3	0.36	1056.55	380.36
Grupo de trabajo 1, rendimiento jornada 1.15 m.	jor	0.87	350.00	304.35

Costo por m. \$1,082.18

TESIS CON
FALLA DE ORIGEN

Columna 60 X 60 cm, con 12 varillas de 1" + 4 de 3/4" y anillos de 3/8" a 30 cm c.a.c. (6.16 m² de cimbra, 56.62 kg de varilla, 8.94 kg de anillos)

Concepto	Unidad	Cantidad	c.u. base	p.u.
Cimbra (0.60 X 4)	m ²	2.40	27.00	64.80
Varilla 1" (12 X 3.973)	kg	47.68	4.20	200.24
Varilla 3/4" (4 X 2.235)	kg	8.94	4.20	37.55
Anillos 3/8" (3.33 X 4.8 m X 0.559)	kg	8.94	4.20	37.53
Concreto simple (1.00 X 0.60 X 0.60)	m ³	0.36	1056.55	380.36
Grupo de trabajo 1, rendimiento jornada 1.15 m.	jor	0.87	350.00	304.35

Costo por m. \$1,024.82

Columna 60 X 60 cm, con 8 varillas de 1" + 6 de 3/4" y anillos de 3/8" a 30 cm c.a.c. (6.16 m² de cimbra, 45.19 kg de varilla, 8.64 kg de anillos)

Concepto	Unidad	Cantidad	c.u. base	p.u.
Cimbra (0.60 X 4)	m ²	2.40	27.00	64.80
Varilla 1" (8 X 3.973)	kg	31.78	4.20	133.49
Varilla 3/4" (6 X 2.235)	kg	13.41	4.20	56.32
Anillos 3/8" (3.33 X 4.8 m X 0.559)	kg	8.94	4.20	37.53
Concreto simple (1.00 X 0.60 X 0.60)	m ³	0.36	1056.55	380.36
Grupo de trabajo 1, rendimiento jornada 1.24 m.	jor	0.81	350.00	282.26

Costo por m. \$954.76

Columna 60 X 60 cm, con 4 varillas de 1" + 6 de 3/4" y anillos de 3/8" a 30 cm c.a.c. (6.16 m² de cimbra, 29.30 kg de varilla, 8.94 kg de anillos)

Concepto	Unidad	Cantidad	c.u. base	p.u.
Cimbra (0.60 X 4)	m ²	2.40	27.00	64.80
Varilla 1" (4 X 3.973)	kg	15.89	4.20	66.75
Varilla 3/4" (6 X 2.235)	kg	13.41	4.20	56.32
Anillos 3/8" (3.33 X 4.8 m X 0.559)	kg	8.94	4.20	37.53
Concreto simple (1.00 X 0.60 X 0.60)	m ³	0.36	1056.55	380.36
Grupo de trabajo 1, rendimiento jornada 1.15 m.	jor	0.87	350.00	304.35

Costo por m. \$910.10

Trabe de concreto armado de 30 X 60 cm (1.80 m² de cimbra, 20.86 kg de varilla, anillos de 3/8", fy = 4200 kg/cm², fc = 200 kg/cm²)

Concepto	Unidad	Cantidad	c.u. base	p.u.
Cimbra (0.60 + 0.30 X 2)	m ²	1.80	27.00	48.60
Varilla 1" (3 X 3.973)	kg	11.92	4.20	50.06
Varilla 3/4" (4 X 2.235)	kg	8.94	4.20	37.55
Anillos 3/8" (3.33 X 4.8 m X 0.559)	kg	8.94	4.20	37.53
Concreto simple (1.00 X 0.60 X 0.60)	m ³	0.18	1056.55	190.18
Grupo de trabajo 1, rendimiento jornada 1.24 m.	jor	0.60	350.00	210.00

Costo por m. \$573.91

Trabe de concreto armado de 25 X 50 cm (1.50 m² de cimbra, 21.36 kg de varilla, anillos de 3/8", fy = 4200 kg/cm², fc = 200 kg/cm²)

Concepto	Unidad	Cantidad	c.u. base	p.u.
Cimbra (0.50 + 0.25 X 2)	m ²	1.50	27.00	40.50
Varilla 1" (2 X 3.973)	kg	7.95	4.20	33.37
Varilla 3/4" (6 X 2.235)	kg	13.41	4.20	56.32
Anillos 3/8" (3.33 X 4.8 m X 0.559)	kg	8.94	4.20	37.55
Concreto simple (1.00 X 0.60 X 0.60)	m ³	0.13	1056.55	132.07
Grupo de trabajo 1, rendimiento jornada 1.27 m.	jor	0.57	350.00	199.50

Costo por m. \$499.31

TESIS CON
FALLA DE ORIGEN

Losa nervada de concreto armado, casetón 40X40X25 cm (1.00 m² de cimbra, 6.20 kg de varilla, 4.58 kg de anillos de 1/4", fyvar= 4200 kg/cm², fc= 200 kg/cm²)

Concepto	Unidad	Cantidad	c.u. base	p.u.
Cimbra (1.00 X 1.00)	m ²	1.00	27.00	27.00
Varilla 5/8" (4 X 1.551)	kg	6.20	4.20	26.06
Anillos 1/4" ((0.08+0.25)2 X 7 pzas/m X 4 sentidosX0.248kg/m)	kg	4.58	4.20	19.25
Concreto simple [(1.00X1.00) - (4X0.40X0.40X0.25)]	m ³	0.84	1056.55	889.95
Caseton 40X40X25 cm	pza	4.00	10.42	41.66
Malla Electrosoldada 6X6X6/6	m ²	1.00	9.46	9.46
Grupo de trabajo 1, rendimiento jornada 3.2 m ² /jor.	jor	0.31	350.00	109.38

Costo por m² \$1,122.75

TESIS CON
FALLA DE ORIGEN

Losa nervada de concreto armado, casetón 40X40X25 cm (1.00 m² de cimbra, 6.20 kg de varilla, 4.58 kg de anillos de 1/4", fyvar= 4200 kg/cm², fc= 200 kg/cm²)

Concepto	Unidad	Cantidad	c.u. base	p.u.
Cimbra (1.00 X 1.00)	m ²	1.00	27.00	27.00
Varilla 5/8" (4 X 1.551)	kg	6.20	4.20	26.06
Anillos 1/4" ((0.08+0.25)2 X 7 pzas/m X 4 sentidosX0.248kg/m)	kg	4.58	4.20	19.25
Concreto simple [(1.00X1.00) - (4X0.40X0.40X0.25)]	m ³	0.84	1056.55	889.94
Caseton 40X40X25 cm	pza	4.00	10.42	41.66
Malla Electrosoldada 6X6X6/6	m ²	1.00	9.46	9.46
Relleno de tepetate 10 Cm. Promedio	m ³ /m ²	0.10	55.00	5.50
Grupo de trabajo 1, rendimiento jornada 2.5 m ² /jor.	jor	0.40	350.00	140.00

Costo por m² \$1,158.87

Losa Galvadeck 25 Calibre 24, Entrepisos

Con malla electrosoldada y 5 cm. De recubrimiento de concreto simple, $f_c = 200 \text{ Kg/cm}^2$

Concepto	Unidad	Cantidad	c.u. base	p.u.
Concreto simple 5 Cm., de acuerdo a especificación.	m^3	0.08	1056.55	88.75
Malla Electrosoldada 6X6X6/6	m^2	1.00	9.46	9.46
Vigas secundarias, IPR 10X5/3/4X37.3 Kg/M	Kg	16.63	15.00	249.52
Lámina Galvadeck 25 Cal 24	m^2	1.00	90.46	90.46
Grupo de trabajo 1, rendimiento jornada 9 m^2/jor .	jor	0.11	350.00	39.27

Costo por m^2

\$477.46

TESIS CON
FALLA DE ORIGEN

Losa Galvadeck 25 Calibre 24, Azotea

Con malla electrosoldada y 5 cm. De recubrimiento de concreto simple, $f_c = 200 \text{ Kg/cm}^2$

Concepto	Unidad	Cantidad	c.u. base	p.u.
Concreto simple 5 Cm., de acuerdo a especificación.	m^3	0.08	1056.55	86.64
Malla Electrosoldada 6X6X6/6	m^2	1.00	9.46	9.46
Vigas secundarias, IPR 10X5/3/4X37.3 Kg/M	Kg	16.63	15.00	249.52
Lámina Galvadeck 25 Cal 24	m^2	1.00	90.46	90.46
Relleno de tepetate 10 Cm. Promedio	m^3/m^2	0.10	55.00	5.50
Grupo de trabajo 1, rendimiento jornada 6 m^2/jor .	jor	0.12	350.00	43.48

Costo por m^2

\$485.06

**4.3 PRESUPUESTOS
EDIFICIO DE CONCRETO, 5 NIVELES, DESTINO: OFICINAS**

CONCEPTO	CANTIDAD	UNIDAD	P. U.	COSTO
Trabes Eje Longitudinal (30X60 Cm)	580.00	M	\$573.91	\$332,870.14
Trabes Eje Transversal (25X50 Cm)	537.40	M	\$499.31	\$268,330.24
Columnas con 16#8 + 3#6 (60X60 Cm)	10.50	M	\$1,082.18	\$11,362.89
Columnas con 12#8 + 4#6 (60X60 Cm)	10.50	M	\$1,024.82	\$10,760.61
Columnas con 8#8 + 6#6 (60X60 Cm)	49.00	M	\$954.76	\$46,783.15
Columnas con 4#8 + 6#6 (60X60 Cm)	304.00	M	\$910.10	\$276,670.84
Losas Nervadas de Entrepiso	1972.00	M ²	\$1,122.75	\$2,214,063.00
Losa Nervada de Azotea	493.00	M ²	\$1,158.87	\$571,322.91

COSTO DIRECTO TOTAL= \$3,732,163.78

**TESIS CON
FALLA DE ORIGEN**

EDIFICIO DE ACERO, 5 NIVELES, DESTINO: OFICINAS

CONCEPTO	CANTIDAD	UNIDAD	P. U.	COSTO
Trabes Eje Longitudinal IPR 305X129.7Kg/m	75226.00	Kg	\$15.00	\$1,128,390.00
Trabes Eje Transversal IPR 305X96.7 Kg/m	51966.58	Kg	\$15.00	\$779,498.70
Columnas IPR 356 X 236.5 Kg/M	88451.00	Kg	\$15.00	\$1,326,765.00
Losas Galvadeck de Entrepiso	1972.00	M ²	\$477.46	\$941,555.22
Losa Galvadeck de Azotea	493.00	M ²	\$485.06	\$239,134.58

COSTO DIRECTO TOTAL= \$4,415,343.50

V. CONCLUSIONES

El costo directo del edificio con estructura metálica resultó ser mayor en un 18% que el estructurado con concreto reforzado; lo que podría, hasta este punto, resultar engañoso. Esta suposición está basada en los siguientes hechos:

Usando los pesos para el análisis sísmico de ambos edificios se obtuvo para el edificio de concreto una descarga a la cimentación, incluyendo cargas permanentes y accidentales instantáneas, de 2598.43 toneladas, mientras que para el edificio de acero resultó de 2011.70 toneladas, en porcentajes esto representa un 29.17% mas peso por parte del edificio de concreto, es necesario aclarar que las cargas accidentales son las mismas para ambos y solo difieren en las cargas muertas. Lo anterior lleva a que la cimentación para el edificio de concreto *será más cara*, punto que podría ser estudiado en otra investigación y que resulta a favor de la elección de un edificio con estructura metálica.

Se presume también la rapidez y limpieza de trabajar la estructura metálica, siempre y cuando las piezas salgan de taller, ya que implica procesos de construcción diferentes: el ensamblado de vigas y columnas es más rápido que el cimbrado, habilitado, colado y curado de miembros de concreto; las losas hechas con lámina para techo, son también más rápidas, ya que no ocupan cimbrado y resultaron ser del orden de un 43% del costo de las losas nervadas.

El control de calidad de los materiales es también mejor en la estructura metálica que en la de concreto. El RCDF-97 pone de manifiesto, en sus Normas Técnicas Complementarias, el castigo del f'_c del concreto en un 20%, previendo el mal control de calidad que se tiene en los concretos promedio que se producen en nuestro país. En cambio, los perfiles estructurales de fabricación nacional, son de similar calidad que los producidos en Estados Unidos y Europa,

para los cuales se aplican los mismos factores que en otros reglamentos del extranjero, tales como el del AISC, por ejemplo.

Hablando de las propiedades intrínsecas de los materiales, los perfiles metálicos se acercan más a las suposiciones de partida de la teoría de la elasticidad: ser isótropo, homogéneo y elástico. Esto puede apreciarse claramente en su curva esfuerzo - deformación, y además en ella se puede ver que es un material de comportamiento más predecible y elástico, está bien definido el tramo de proporcionalidad, por lo que también la ductilidad es más fácilmente apreciable. Por otro lado, el concreto es diferente de obra en obra. Para construir una curva a partir de varios cilindros de *una misma obra* es necesario recurrir a artificios matemáticos para ajustarla, hacer uso de la estadística para predecir un comportamiento generalizado del material, lo que deja en el aire incertidumbre que nos conduce a aplicar factores de reducción de resistencia que nos llevan a estar seguramente sobrados, y a encarecer nuestras obras.

Considerando los puntos citados anteriormente, se recomienda el uso de estructura metálica para edificios de mediana altura, es decir, cinco niveles, atendiendo a que el incremento en costo de superestructura, respecto a la de concreto, puede ser compensado con el ahorro en el costo de la cimentación, y anotando como ventajas la limpieza en obra, rapidez y control de calidad de los materiales y del conjunto en general.

BIBLIOGRAFÍA

Enrique Bazán Zurita, Roberto Meli Piralla
DISEÑO SÍSMICO DE EDIFICIOS
1998, México D. F.
Editorial Limusa, primera edición

Fernando Tavera Montiel, Jorge A. Moreno González
MANUAL DE DISEÑO Vol. II
1998, Morelia Mich.
Editorial Universitaria, U. M. S. N. H.

Instituto Mexicano de la Construcción en Acero, A. C.
MANUAL DE CONSTRUCCIÓN EN ACERO - DEP, Vol. I
1997, México D. F.
Editorial Limusa, tercera edición

Jack McCormack, Rudolph E. Elling
ANÁLISIS DE ESTRUCTURAS, Métodos clásico y matricial
1996, México D. F.
Editorial Alfaomega, primera edición

Plazola
ARQUITECTURA HABITACIONAL II
Editorial Limusa, quinta edición

González Cuevas, Robles
ASPECTOS FUNDAMENTALES DEL CONCRETO REFORZADO
1995, México D. F.
Editorial Trillas, tercera edición

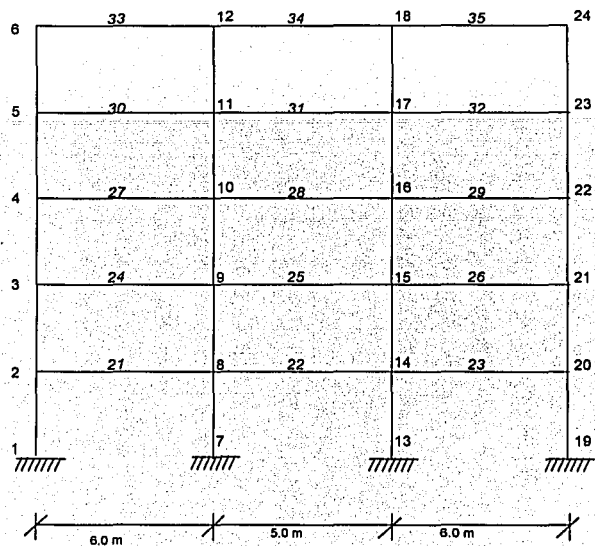
Gaceta Oficial del Departamento del Distrito Federal
NORMAS TÉCNICAS COMPLEMENTARIAS PARA DISEÑO Y CONSTRUCCIÓN DE
ESTRUCTURAS DE CONCRETO
1996, México D. F.
DDF

Martínez Ruiz Guillermo
APUNTES DE DISEÑO ESTRUCTURAL
Uruapan Mich., U. D. V.

ANEXOS

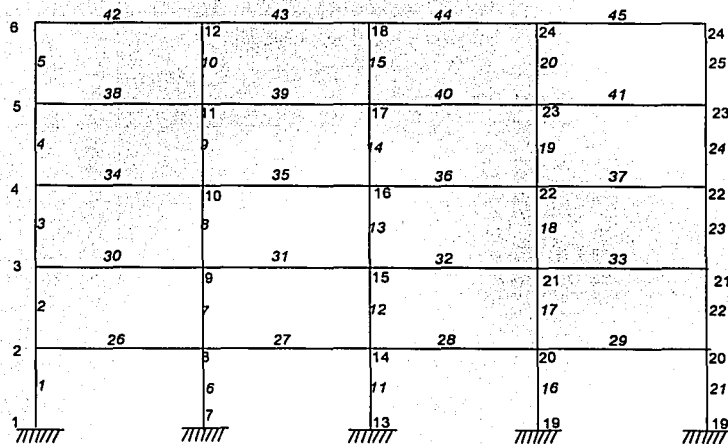
NUMERACIÓN DE LOS MARCOS PARA ANÁLISIS

MARCOS TRANSVERSALES

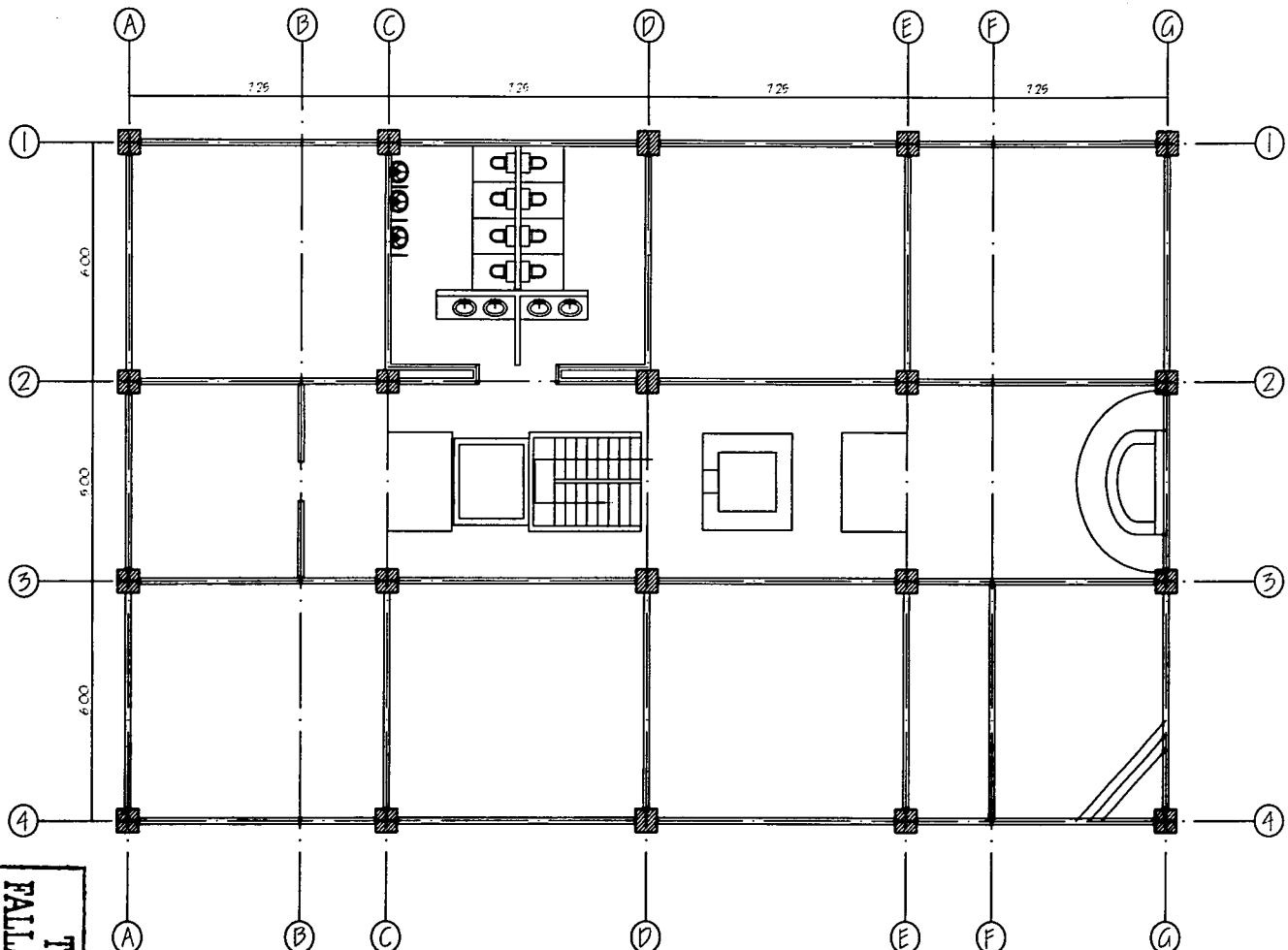


MARCOS LONGITUDINALES

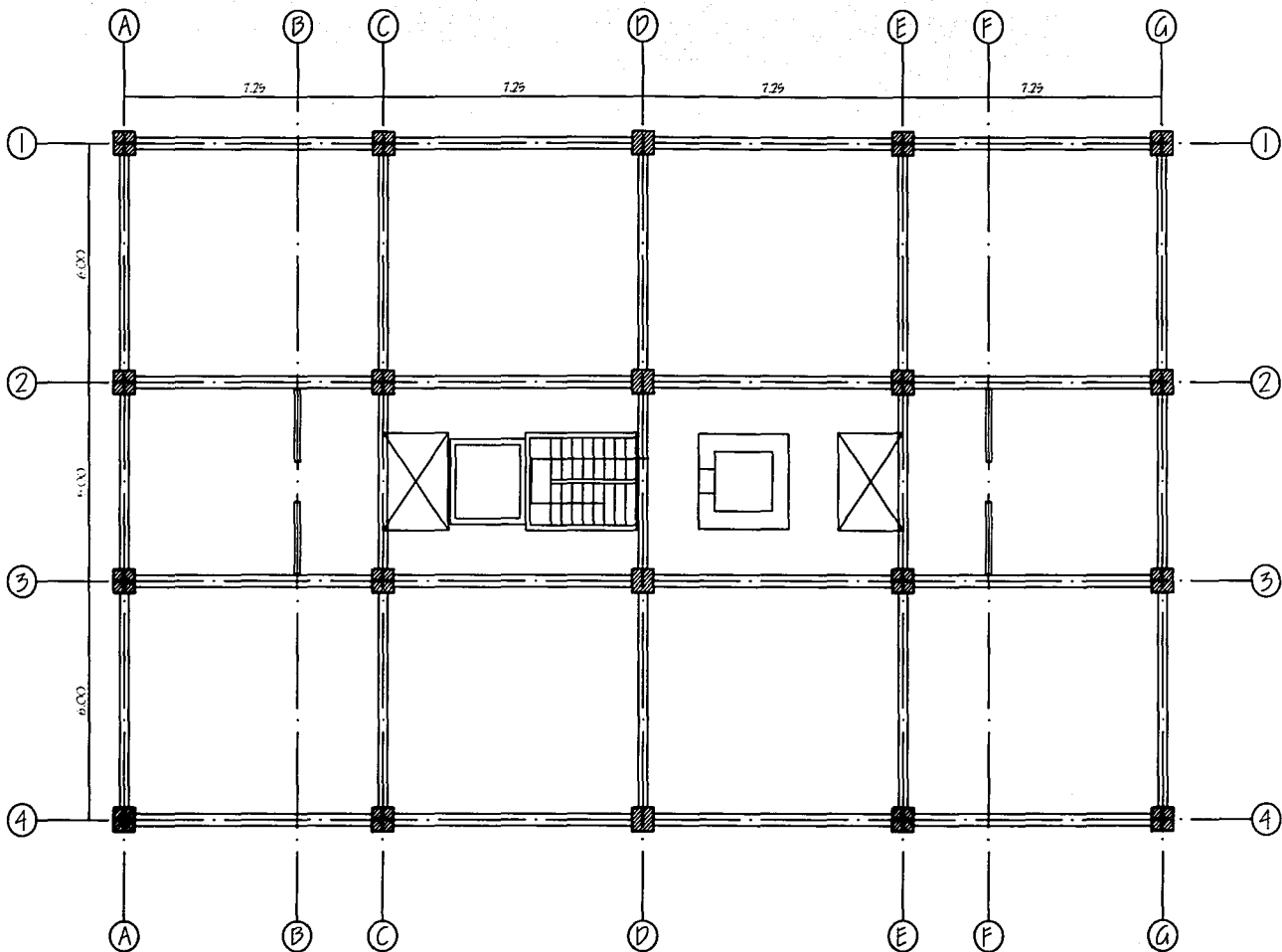
**TESIS CON
FALLA DE ORIGEN**



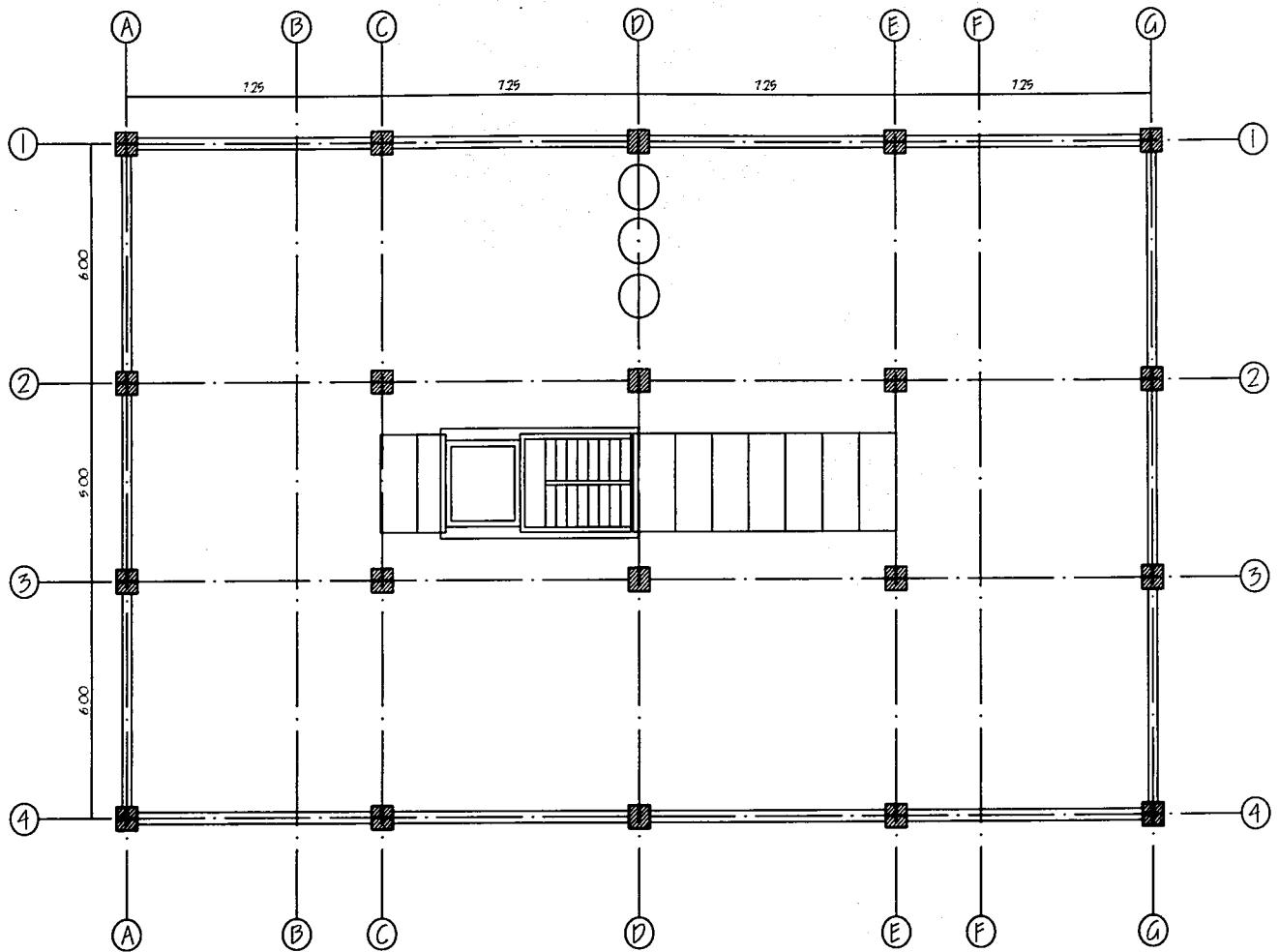
"Estudio comparativo del costo directo en acero y concreto reforzado, para un edificio de cinco niveles"



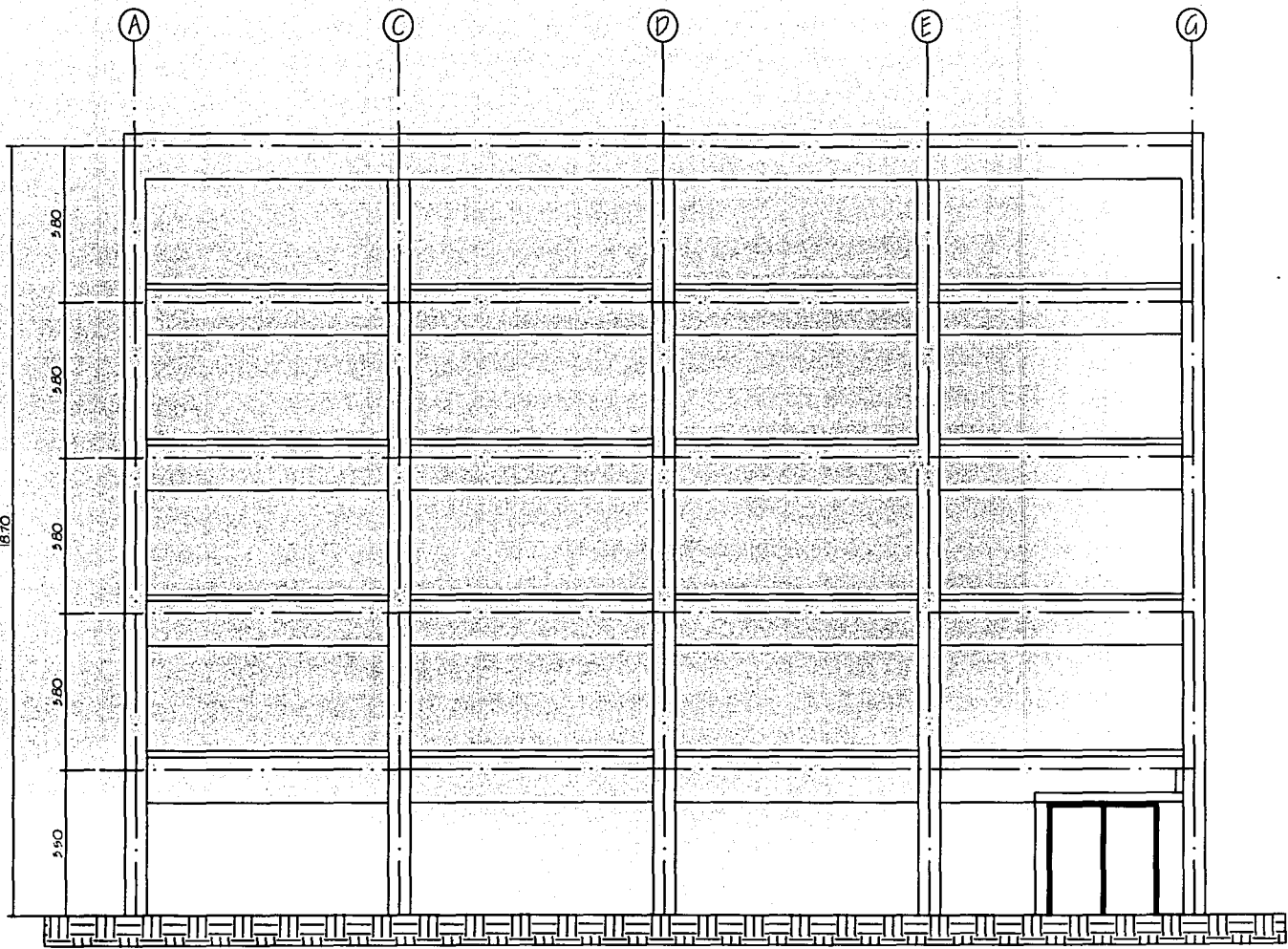
PLANTA BAJA



PLANTA ENTREPISO NIVEL 1 AL 4

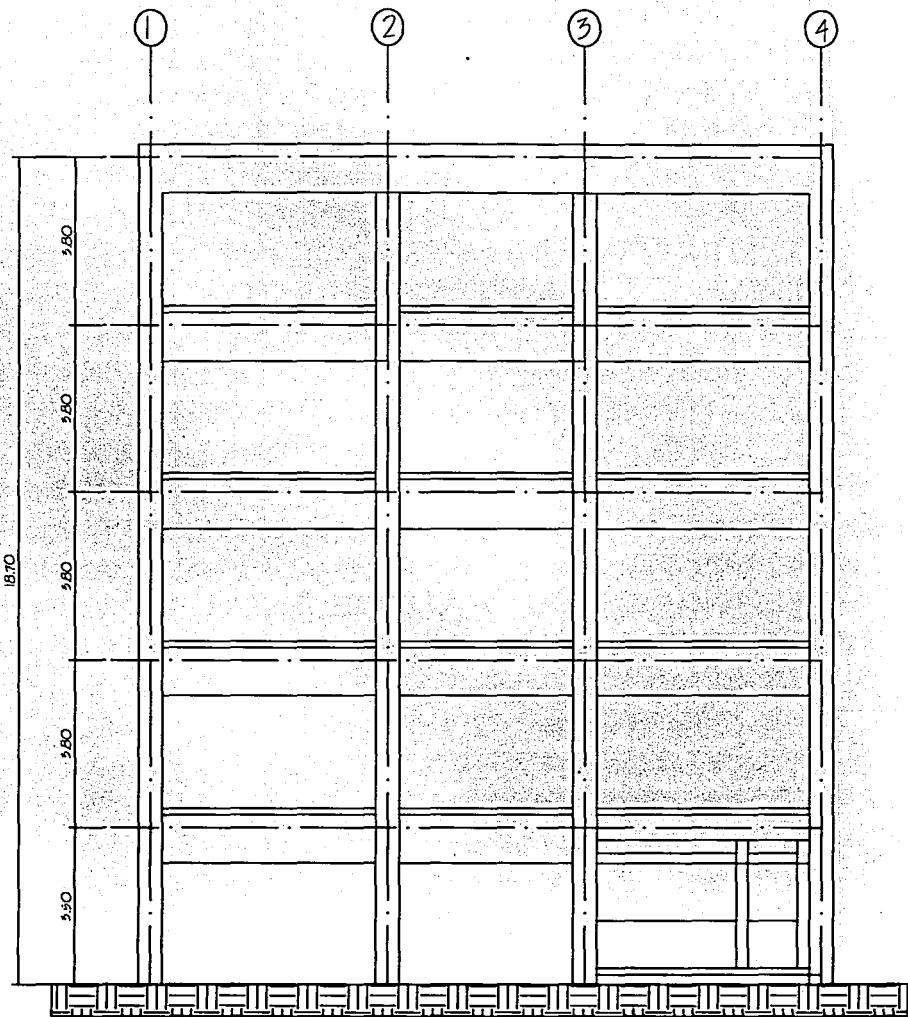


PLANTA ENTREPISO NIVEL 5 (AZOTEA)



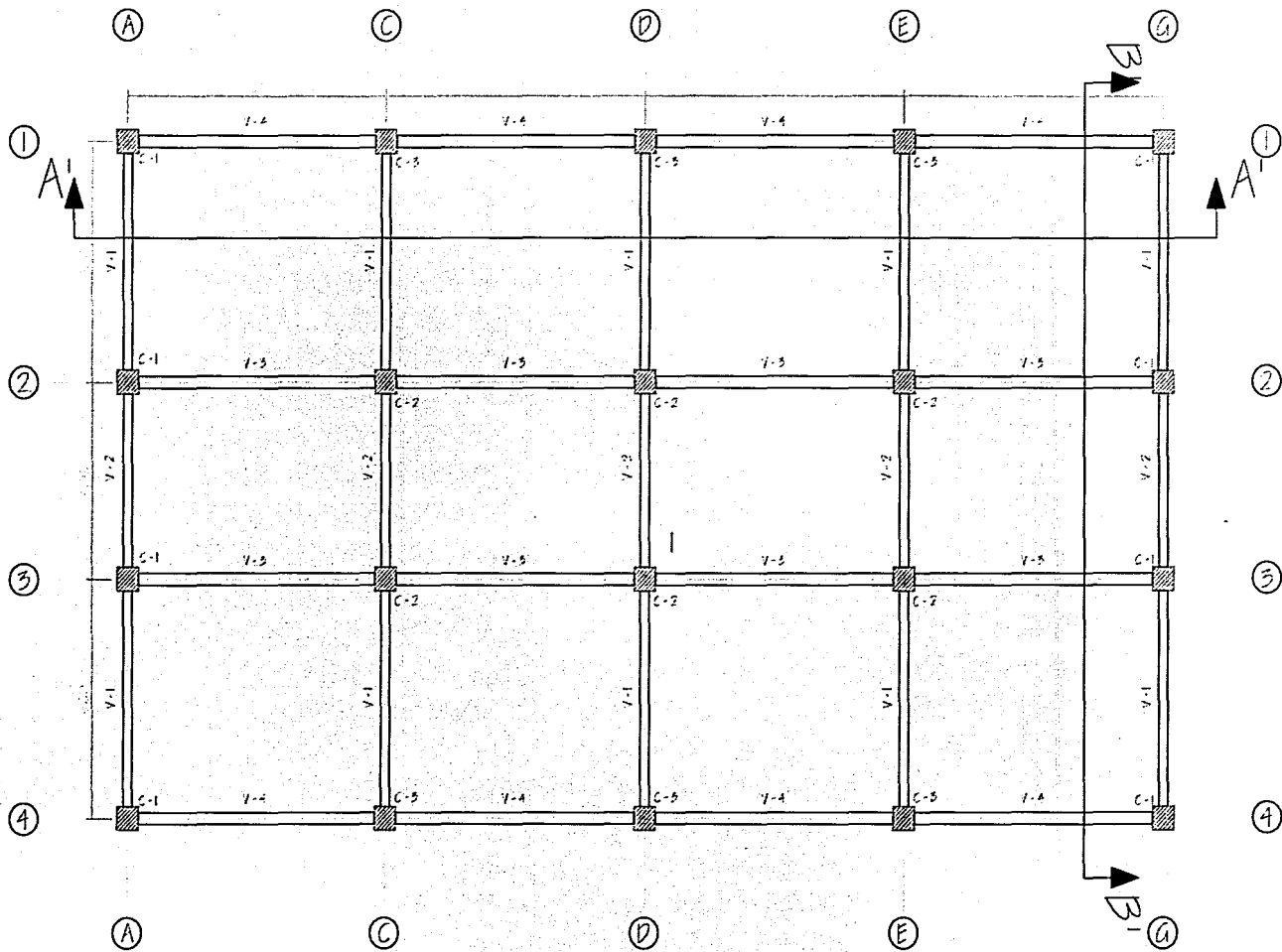
TESIS CON
FALLA DE ORIGEN

FACHADA LONGITUDINAL



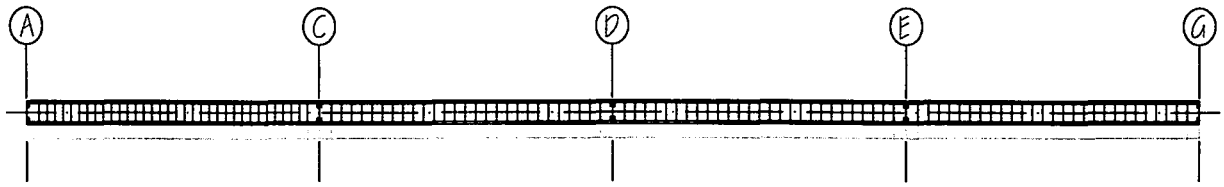
FACHADA TRANSVERSAL

TESIS CON
FALLA DE ORIGEN

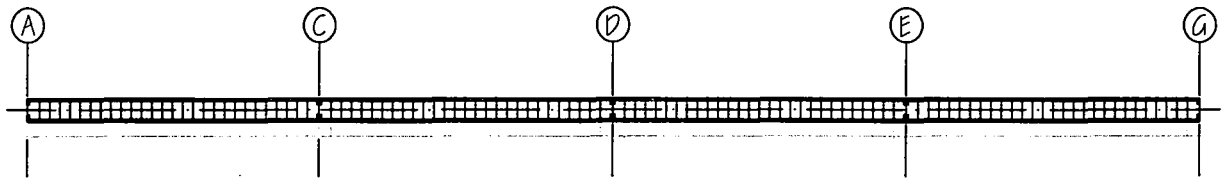


**TESIS CON
FALLA DE ORIGEN**

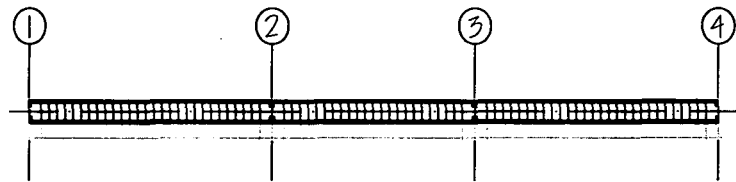
PLANTA ENTREPISO NIVEL I



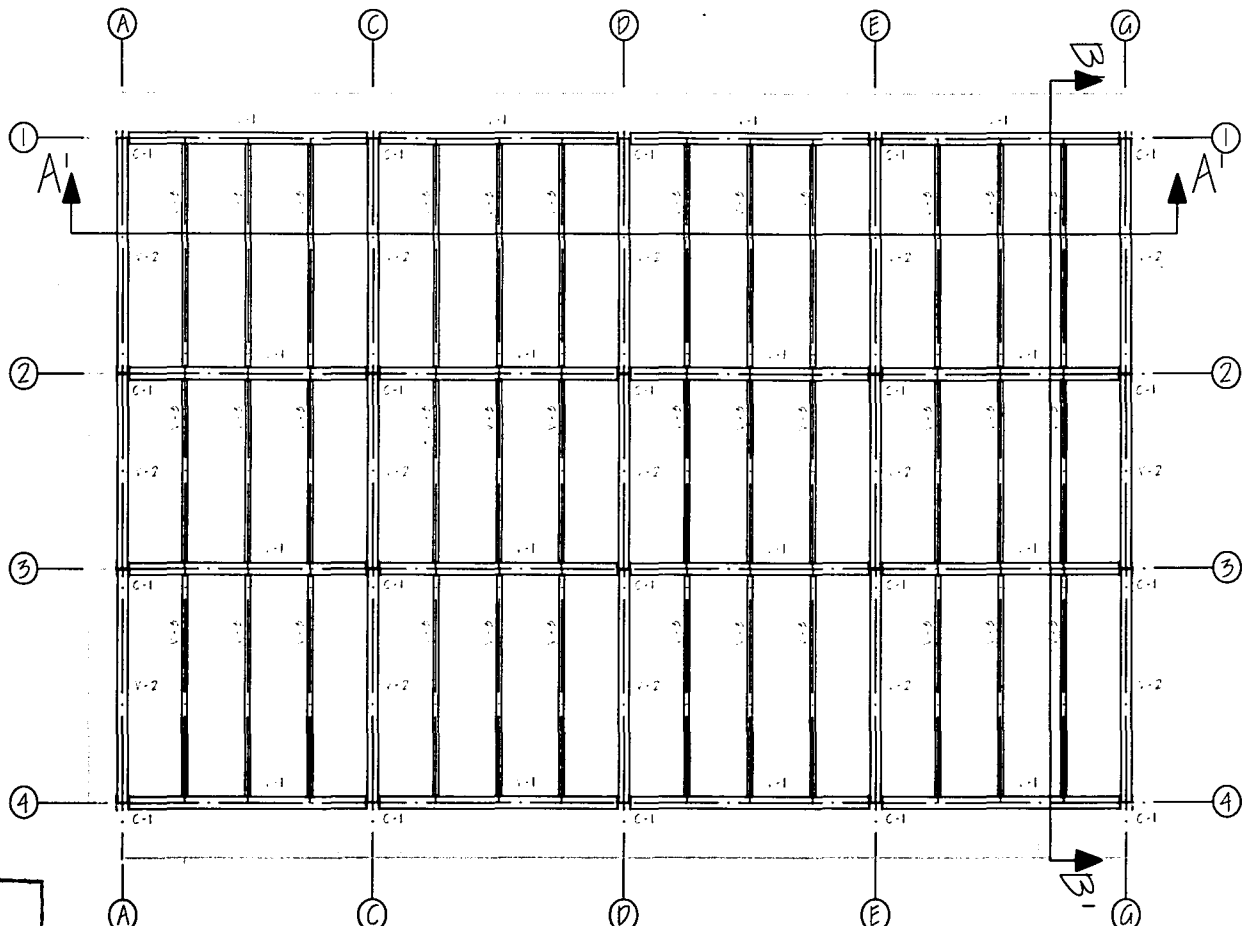
ACERO POR CORTANTE PARA VIGAS MARCOS EJE 2 Y 3



ACERO POR CORTANTE PARA VIGAS MARCOS EJE 1 Y 4



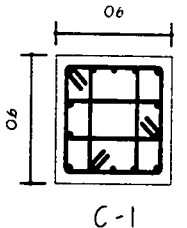
ACERO POR CORTANTE PARA VIGAS MARCOS EJE A, B, C Y D



PLANTA ENTREPISO NIVEL I

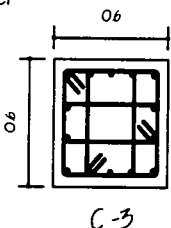
H H H H

Columnas Primer Nivel

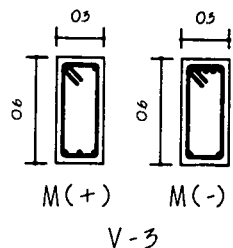


- Varilla #6
- Varilla #8

C-1



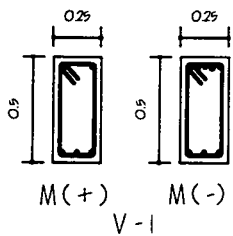
C-3



M(+)

V-3

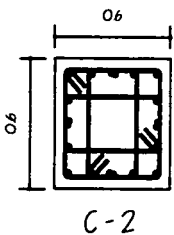
M(-)



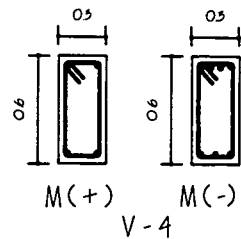
M(+)

V-1

M(-)



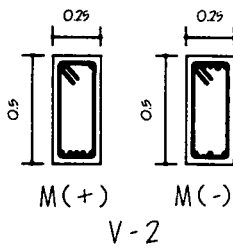
C-2



M(+)

V-4

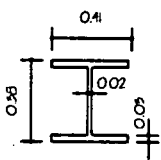
M(-)



M(+)

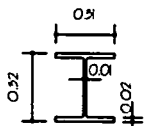
V-2

M(-)



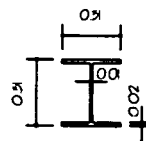
C-1

IPR 356 x 236.5 KG / M



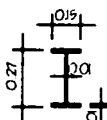
V-1

IPR 305 x 129.7 KG / M



V-2

IPR 305 x 96.7 KG / M

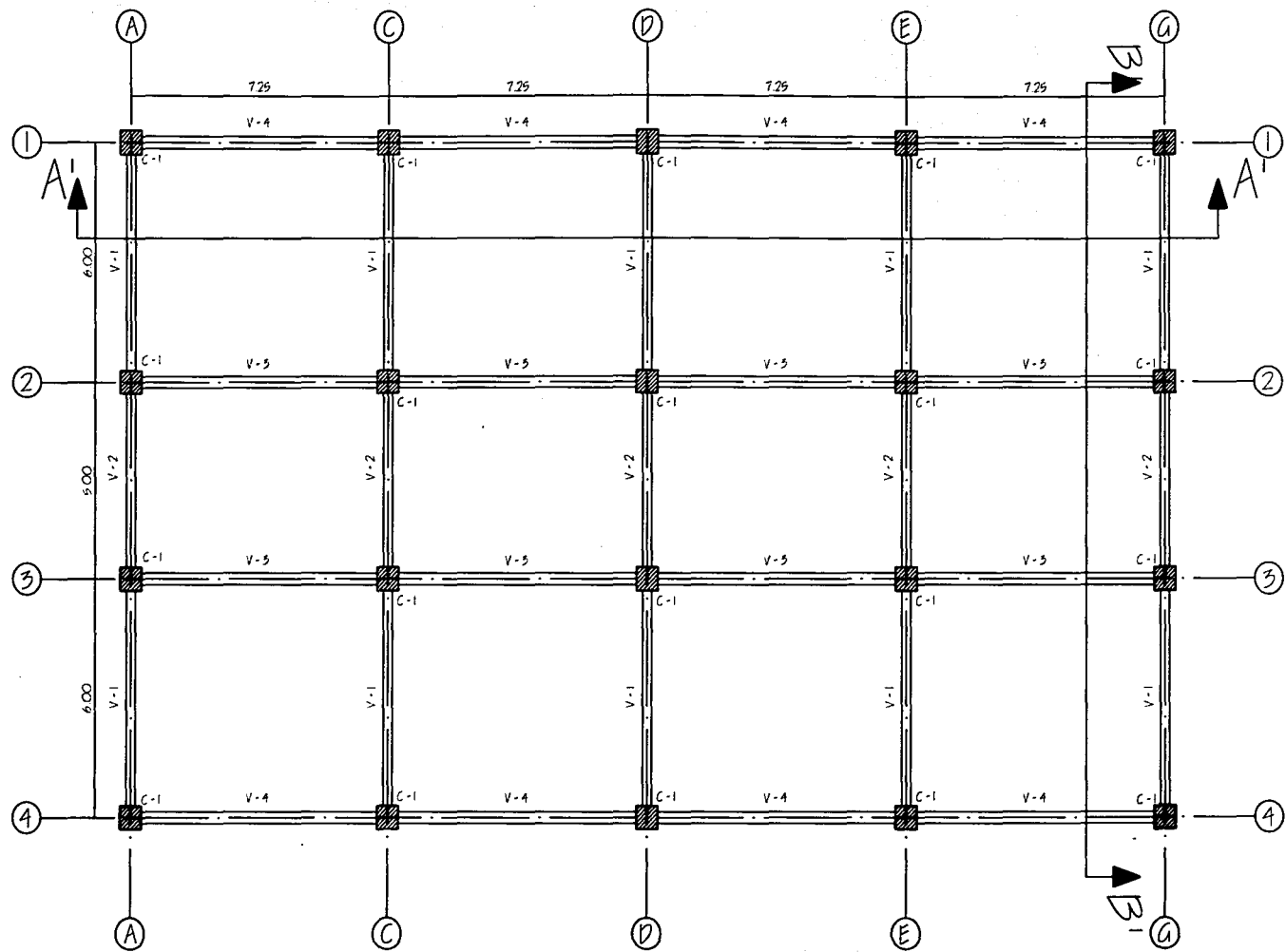


V-3

IPR 10X5/3/4X37.3 KG / M

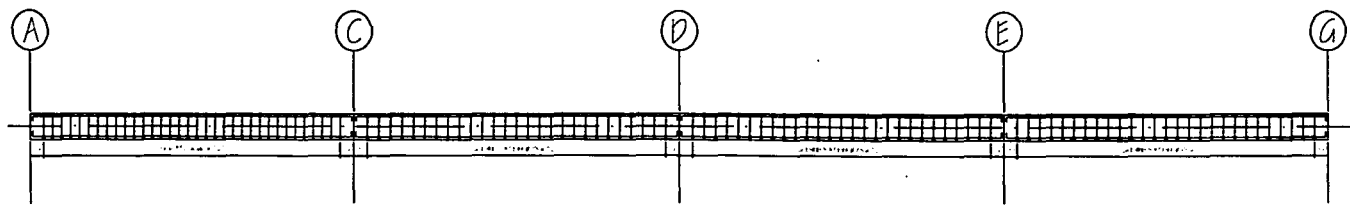
**TESIS CON
FALLA DE ORIGEN**

SECCIONES ENTREPISO NIVEL 1

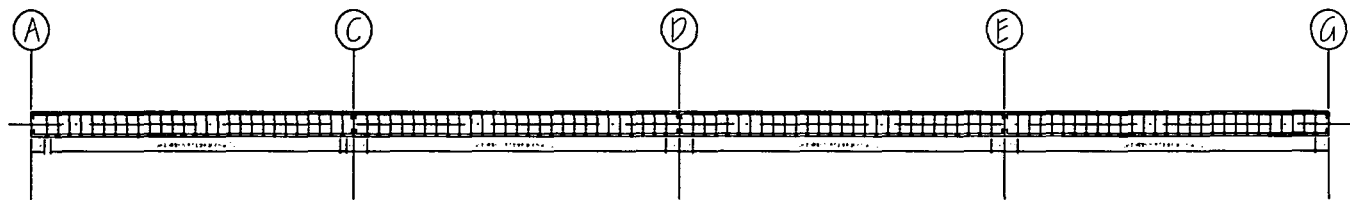


**TESIS CON
FALLA DE ORIGEN**

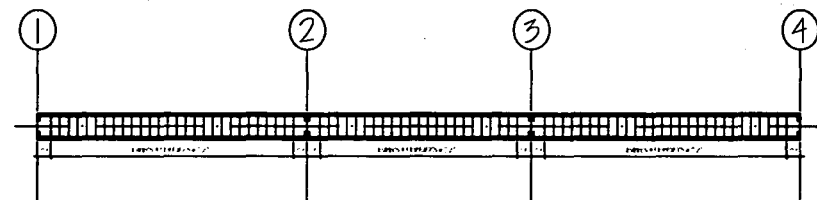
PLANTA ENTREPISO NIVELES 2 A 3



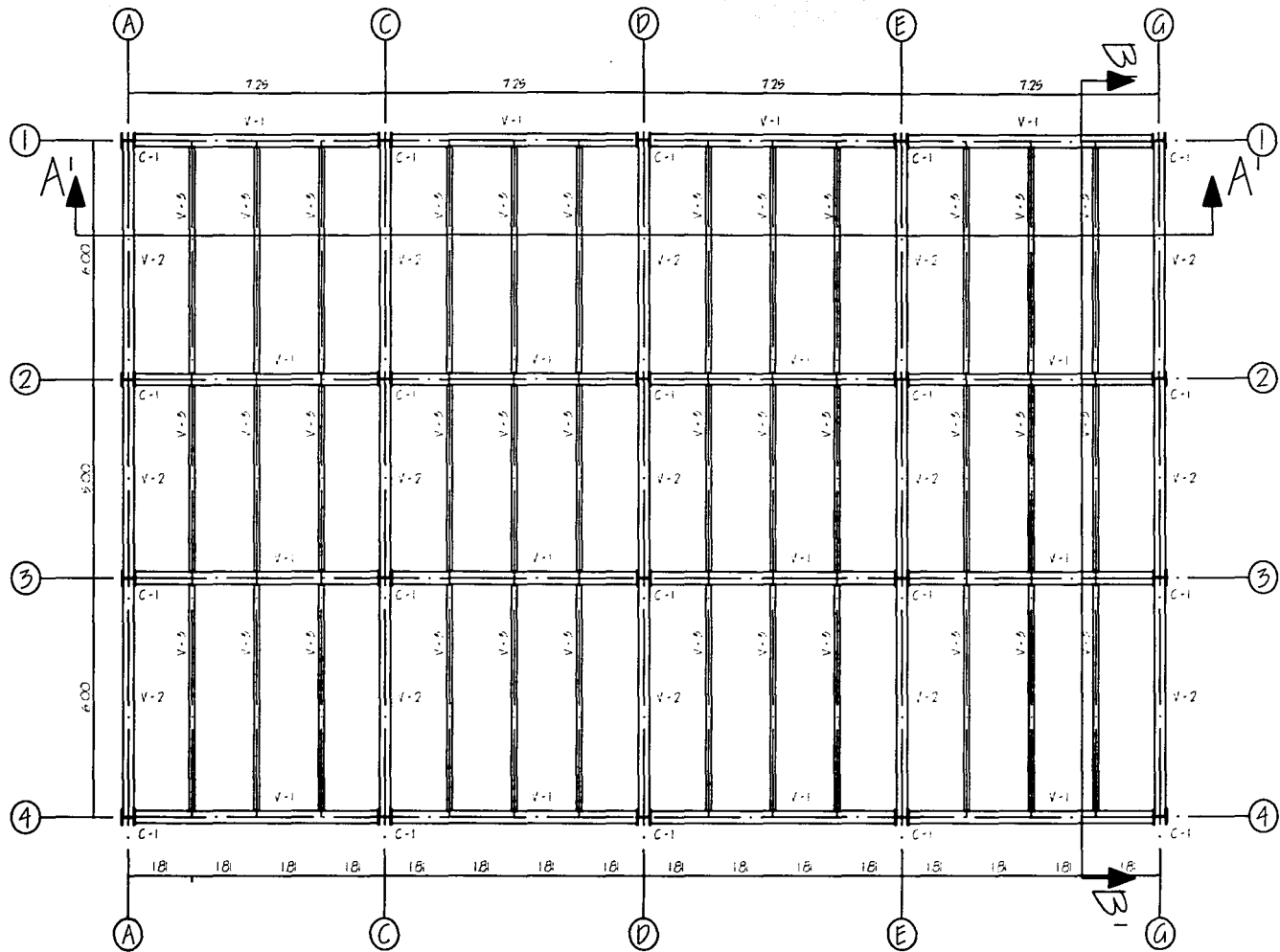
ACERO POR CORTANTE PARA VIGAS MARCOS EJE 2 Y 3

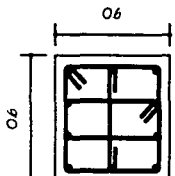


ACERO POR CORTANTE PARA VIGAS MARCOS EJE 1 Y 4



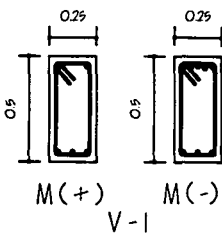
ACERO POR CORTANTE PARA VIGAS MARCOS EJE A, B, C Y D



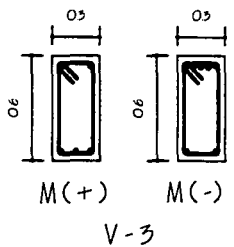


C-1

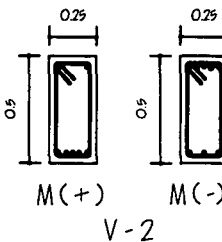
- Varilla #6
- Varilla #8



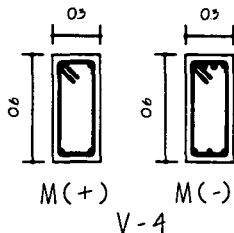
V-1



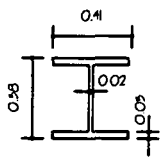
V-3



V-2

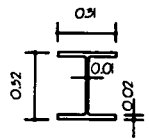


V-4

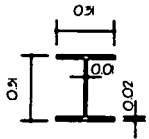


C-1

IPR 356 x 236.5 KG / M

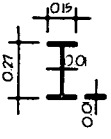


IPR 305 x 129.7 KG / M



V-2

IPR 305 x 96.7 KG / M

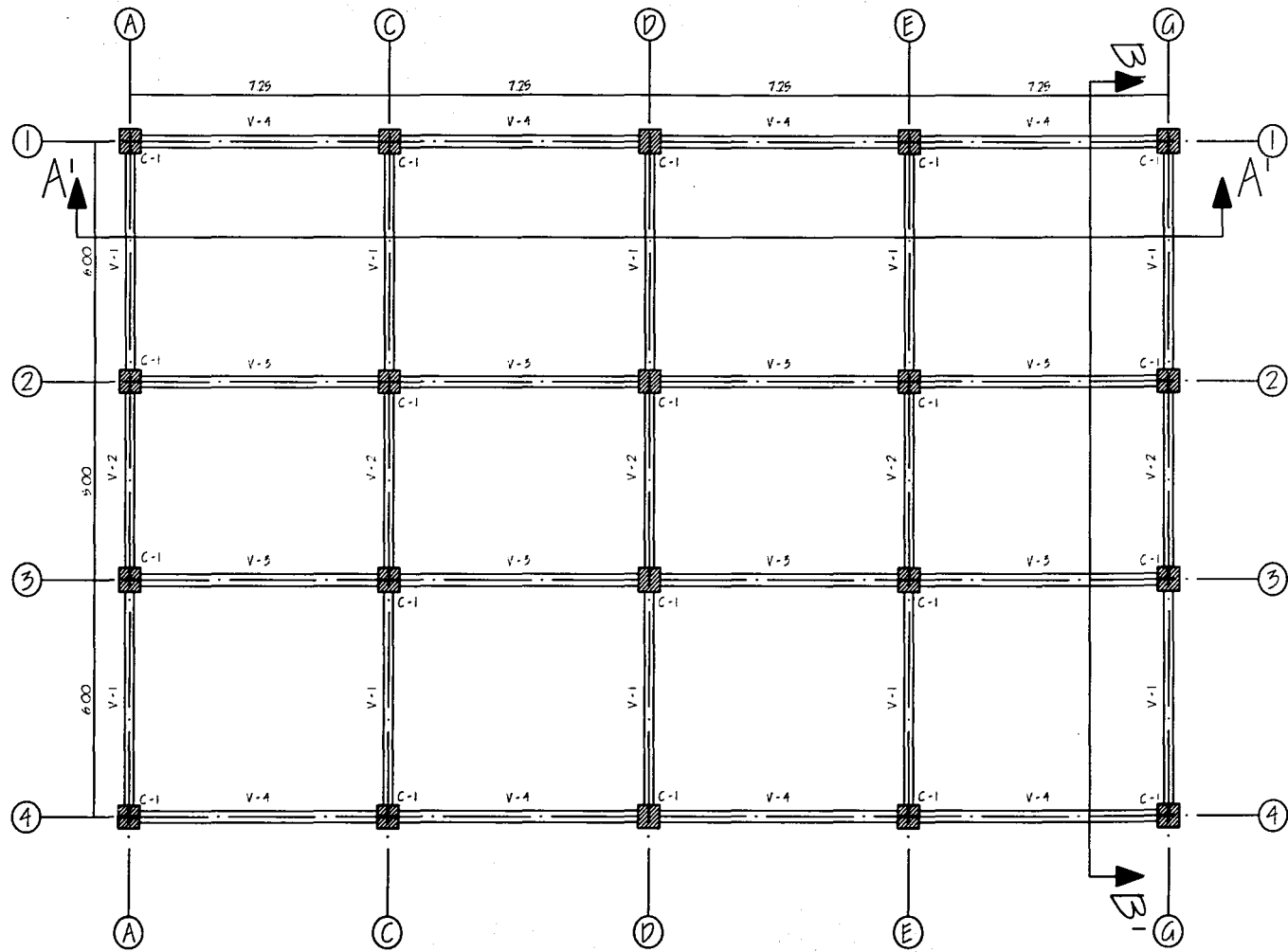


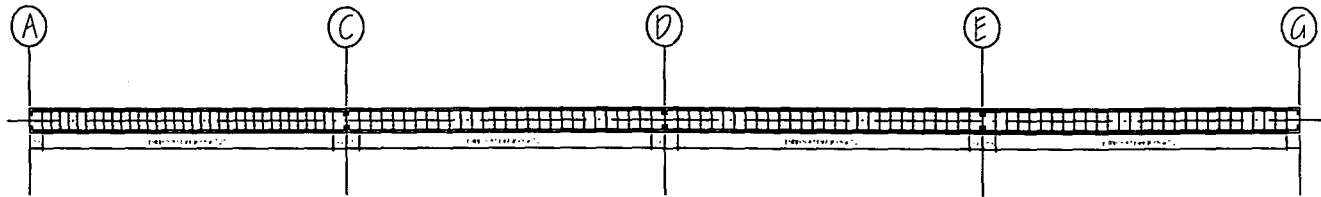
V-3

IPR 10X5/3/4X37.3 KG / M

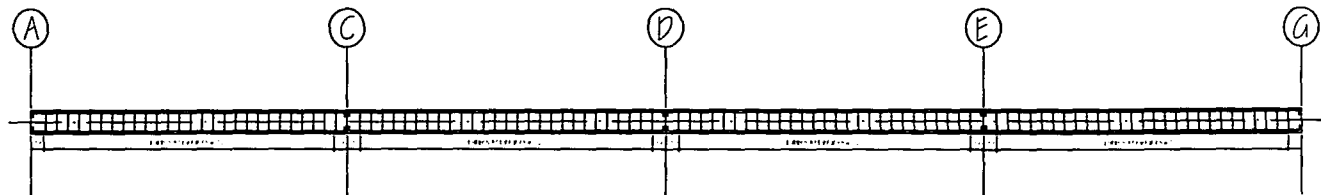
SECCIONES ENTREPISO NIVELES 2 A 3

TESIS CON
FALLA DE ORIGEN

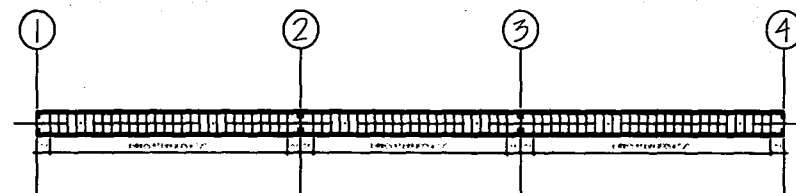




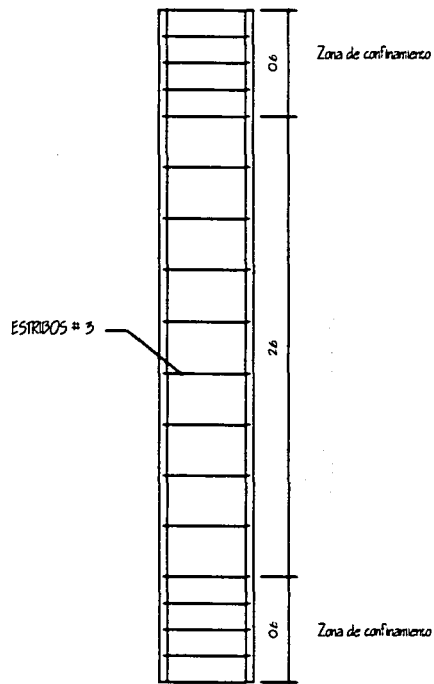
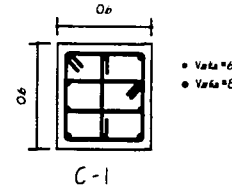
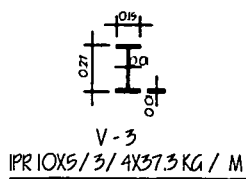
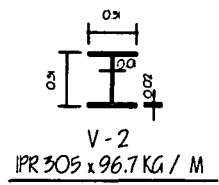
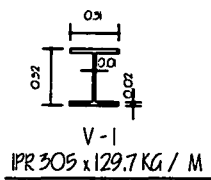
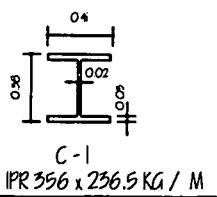
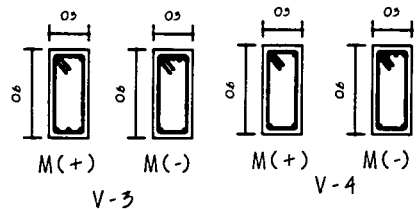
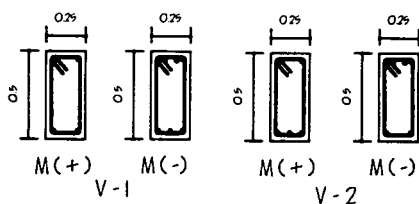
ACERO POR CORTANTE PARA VIGAS MARCOS EJE 2 Y 3



ACERO POR CORTANTE PARA VIGAS MARCOS EJE 1 Y 4

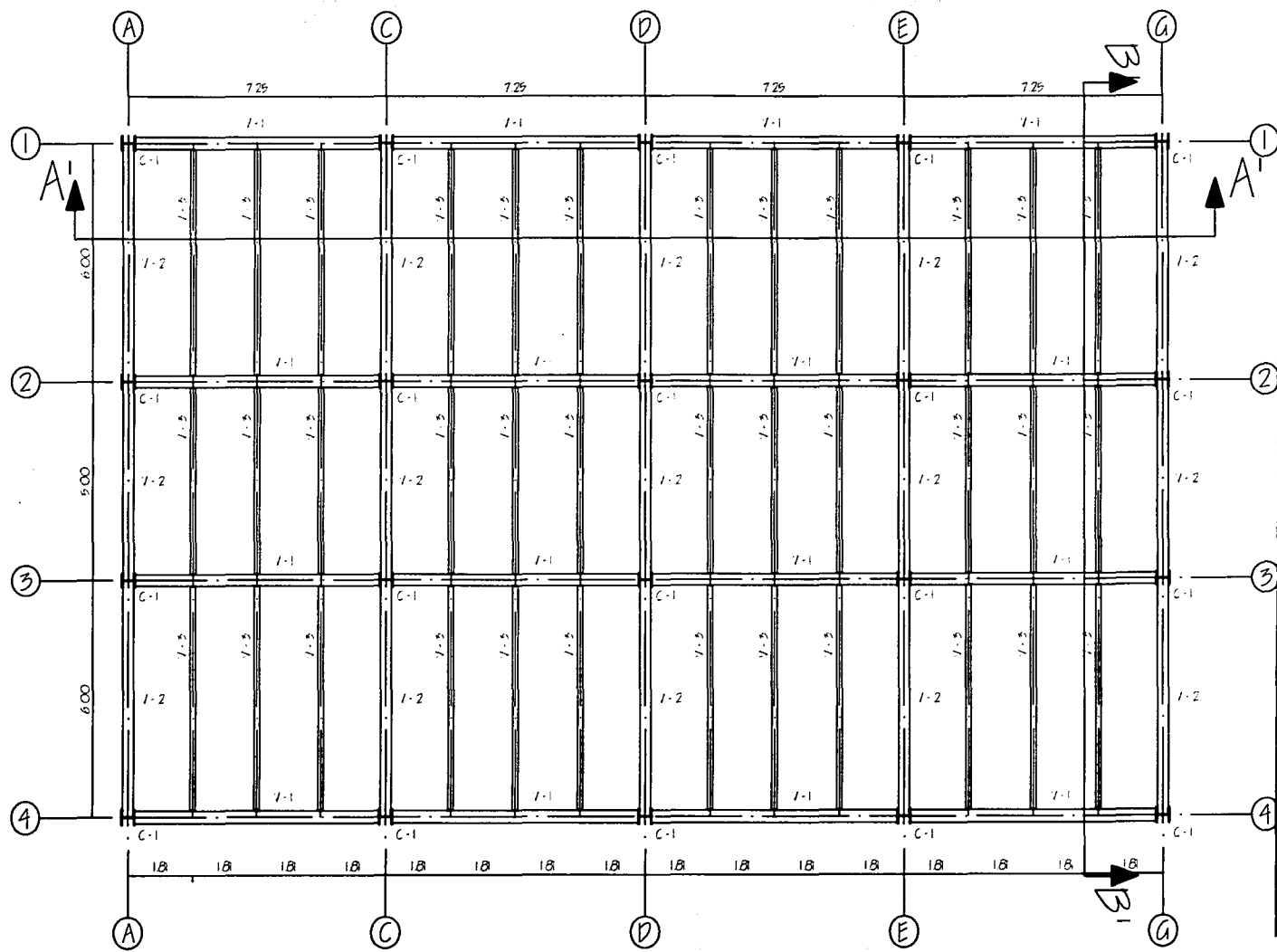


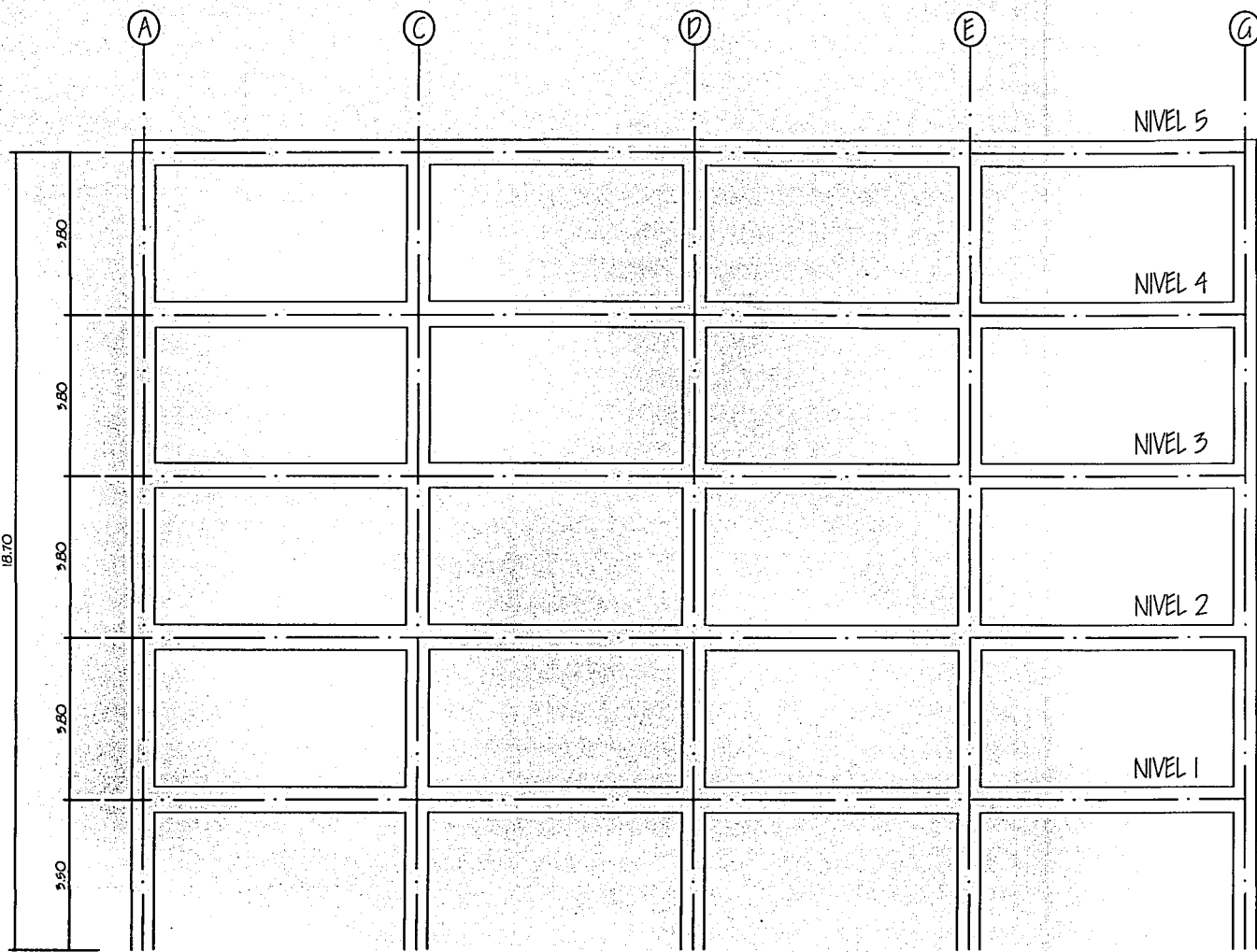
ACERO POR CORTANTE PARA VIGAS MARCOS EJE A, B, C Y D



COLUMNAS POR CORTANTE

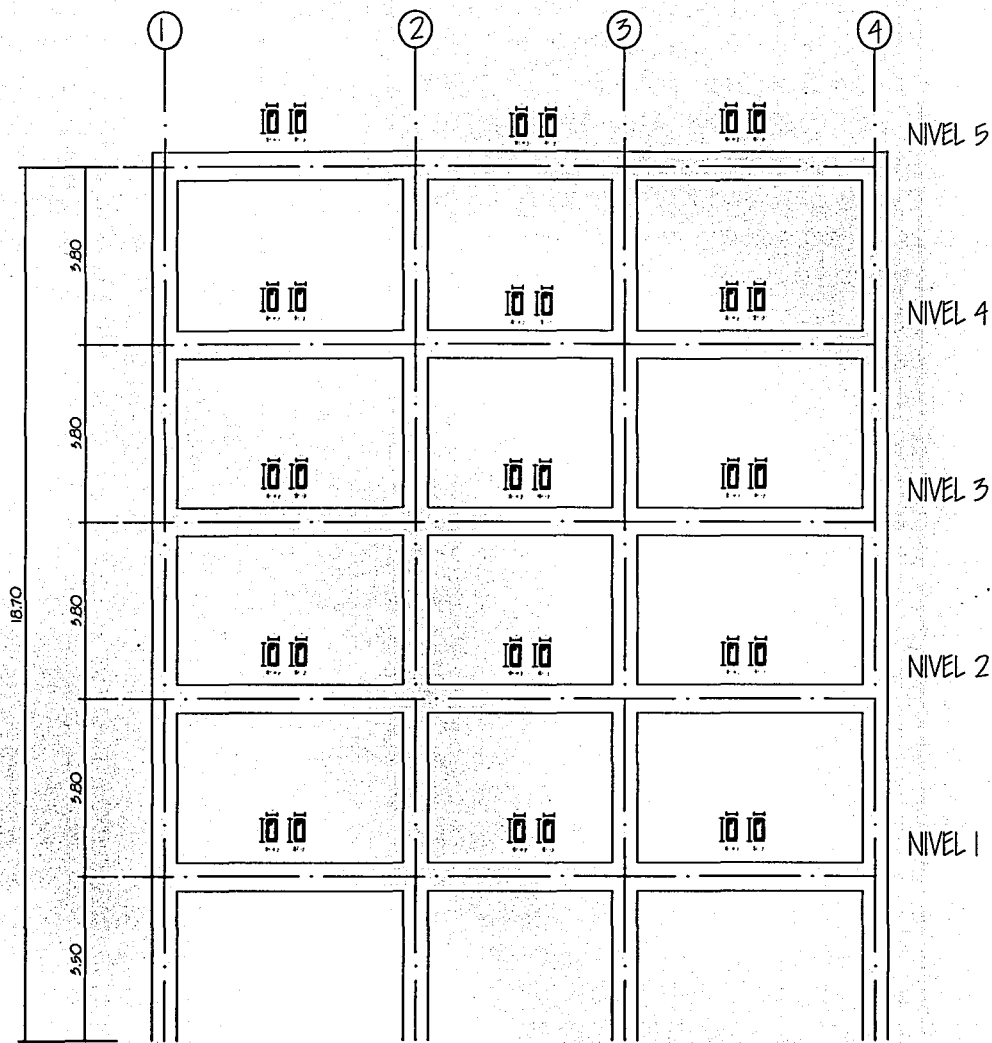
SECCIONES ENTREPISO NIVELES 4 A 5





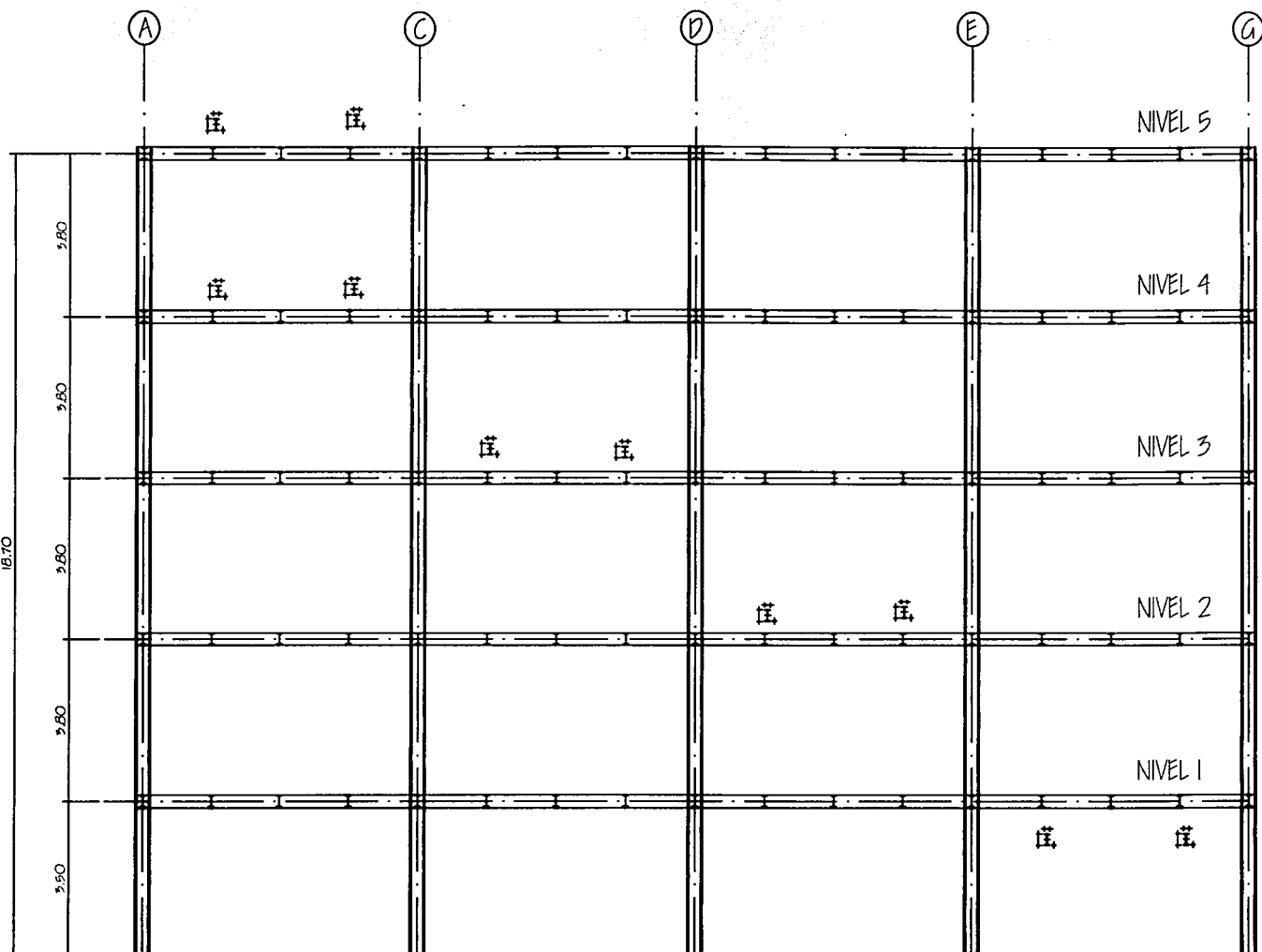
TESIS CON
FALLA DE ORIGEN

CORTE A' - A'



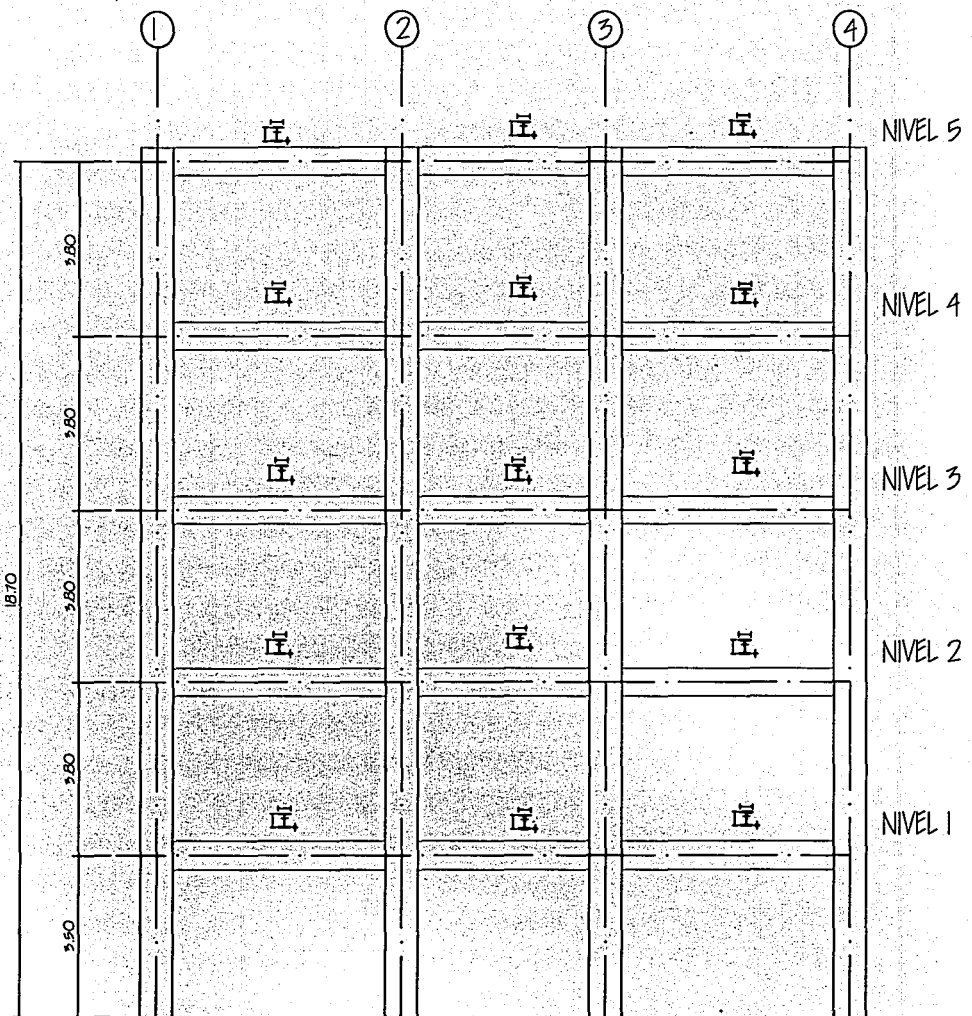
CORTE B¹ - B¹

TESIS CON
FALLA DE ORIGEN



TESIS CON
FALLA DE ORIGEN

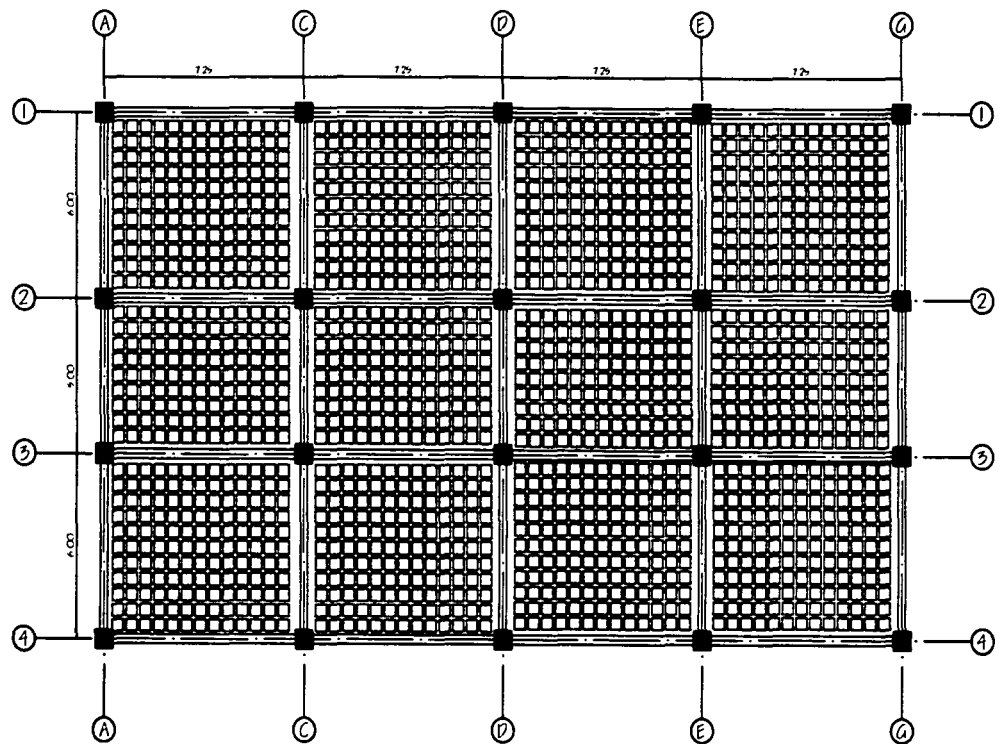
CORTE A'-A'



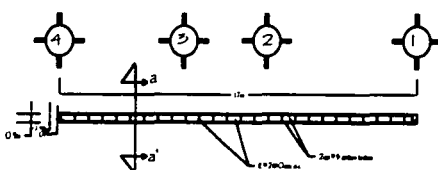
CORTE B' - B'

TESTIS CON
FALLA DE ORIGEN

[67]



NERVADURA TIPO (sin esc.)



CORTE a-a'

